



CONTROLE DE ESTOQUE DE ITENS
DE ALTO CUSTO E BAIXA DEMANDA

Alvaro de Lima Veiga Filho

TESE SUBMETIDA AO CORPO DOCENTE DA COORDENAÇÃO DOS PROGRAMAS DE
PÓS-GRADUAÇÃO DE ENGENHARIA DA UNIVERSIDADE FEDERAL DO RIO DE
JANEIRO COMO PARTE DOS REQUISITOS NECESSÁRIOS PARA A OBTENÇÃO DO
GRAU DE MESTRE EM CIÊNCIAS (M.Sc.)

Aprovada por:


LUIS VALADARES TAVARES
(Presidente)


REINALDO CASTRO DE SOUZA
(Orientador)


CLOVIS CAESAR GONZAGA

VEIGA FILHO, ALVARO DE LIMA

Controle de Estoques para Itens de Alto
Custo e Baixa Demanda (Rio de Janeiro) 1982.

ix 211p. 29,7 cm (COPPE-UFRJ) M.Sc.

Engenharia de Sistemas, 1982

Tese - Univ. Fed. Rio de Janeiro, Fac.
de Engenharia

1. Controle de Estoques I. COPPE/UFRJ

II. Título (série)

AGRADECIMENTOS

A REINALDO CASTRO DE SOUZA pela orientação segura e amizade dedicada durante a realização deste trabalho.

SUMÁRIO

A política ótima de estoques para itens de alto custo e baixa demanda consiste em emitir os pedidos de forma que o nível do estoque permaneça constante. Neste caso, só resta uma variável de decisão: o nível de referência s do estoque.

Este trabalho se propõe a uma análise do problema da determinação de s quando a demanda é gerada por um processo GEOMÉTRICO-POISSON em três níveis: Estabelece a expressão do custo associado a cada decisão (o nível de referência), um estudo estatístico da demanda identificando suas características e comparando os métodos de estimação existentes com o método proposto que se constitui na aplicação do BEF (Bayesian Entropy Forecasting) ao problema e, finalmente, a avaliação do desempenho do estoque dada uma decisão através de uma série de índices calculados independentemente dos custos.

SUMMARY

In inventory systems, the optimal policy for high cost and/or low demand items is such that the orders are placed so as to keep constant the stock level. In this case there exist only one decision variable, that is, the spare stock "s".

In this work it is studied the problem of finding the spare stock "s" when the demand is modelled by a Geometric Poisson process. It is first established an expression of the cost associated with each decision followed by statistical study of the demand, i.e., a comparison of the existing estimation procedures for the problem with the Bayesian Entropy Forecasting method (BEF for short) used here. Finally, the performance of the stock for a given decision is obtained by using various indices calculated independently of the costs.

ÍNDICE

I.	-	INTRODUÇÃO	01
II.	-	CONTROLE DE ESTOQUES	05
II.1	-	Introdução	06
II.2	-	Políticas de Estoques	06
II.3	-	Função de Custo	07
II.3.1	-	Custos de Abastecimento	07
II.3.2	-	Custos de Posse	08
II.3.3	-	Custos por Falta de Estoque	09
II.3.3.1	-	Com Formação de Fila	09
II.3.3.2	-	Sem Formação de Fila	12
II.4	-	Modelos Determinísticos de Controle de Estoques	12
II.4.1	-	Lote Econômico	13
II.4.1.1	-	Cálculo do Custo de Abastecimento ..	14
II.4.1.2	-	Cálculo do Custo de Posse	14
II.4.1.3	-	Minimização da Função de Custo	15
II.4.2	-	Com Formação de Fila	17
II.4.2.1	-	Custos de Abastecimento	18
II.4.2.2	-	Custos de Posse	19
II.4.2.3	-	Custos por Falta de Estoques	20
II.4.2.4	-	Minimização da Função de Custo	21
II.4.3	-	Sem Formação de Fila	24
II.4.3.1	-	Custos de Abastecimento	26
II.4.3.2	-	Custos de Posse	26

II.4.3.3.	-	Custos por Falta de Estoques	27
II.4.3.4.	-	Minimização de Função de Custo	27
III.	-	MODELOS ESTOCASTICOS	33
III.1	-	Cálculo da Função de Custo	36
III.2	-	Medidas do Nível do Estoque	36
III.3	-	Modelos de Revisão Contínua $\langle r, Q \rangle$	37
III.3.1.	-	Custo de Abastecimento	38
III.3.2.	-	Custo por Falta de Estoques	39
III.3.3.	-	Custo de Posse	43
III.3.4.	-	Função de Custo	46
III.4.	-	Modelos de Revisão Periódica $\langle R, T \rangle$	46
III.4.1.	-	Custo de Revisão	47
III.4.2.	-	Custo de Abastecimento	48
III.4.3.	-	Custo por Falta de Estoque	49
III.4.4.	-	Custo de Posse	50
III.4.5.	-	Função de Custo	52
III.5.	-	Tempos de Entrega Estocásticos	52
III.5.1.	-	Revisão Contínua	53
III.5.2.	-	Revisão Periódica	55
IV.	-	CONTROLE DE ESTOQUES DE ITENS DE ALTO CUSTO E BAIXA DEMANDA	58
IV.1.	-	Modelo Probabilístico da Demanda	60
IV.1.1.	-	Definição de um Processo POISSON-COMPOSTO.	61
IV.1.2.	-	Propriedades de um Processo POISSON-COM POSTO	63
IV.1.3.	-	Três Propriedades Importantes	64
IV.1.4.	-	Processo GEOMÉTRICO-POISSON	69

IV.2	-	Modelos para Determinação de s	72
IV.2.1.	-	Modelos de Revisão Contínua	73
IV.2.1.1.	-	Fórmula Exata	73
IV.2.1.2.	-	Modelo com Pedido Especial	79
IV.2.1.3.	-	Modelo Binário para Itens com Deman- da Extremamente Baixa	80
IV.2.2.	-	Modelos Revisão Periódica	81
IV.2.2.1.	-	Fórmula Exata	81
IV.2.2.2.	-	Modelo com Pedido Especial	84
IV.2.2.3.	-	Modelo Binário para Itens com Deman- da Extremamente Baixa	84
V.	-	O MODELO BEF DE PREVISÃO APLICADO À ESTIMAÇÃO DE PARÂMETROS	86
V.1.	-	Noção de Inferência Bayesiana	87
V.1.1.	-	Introdução	87
V.1.2.	-	Teorema de Bayes	89
V.2.	-	Descrição do Problema	92
V.2.2.	-	Características Particulares	95
V.3.	-	Soluções Existentes	96
V.3.1.	-	Método Clássico	97
V.3.2.	-	Objective Bayes Approach	98
V.3.2.1.	-	A Distribuição à Priori	98
V.3.2.2.	-	Estimação de σ^2 e μ	98
V.3.2.3.	-	Discretização da Distribuição LOG- NORMAL	99
V.3.2.4.	-	Distribuição Posterior	100
V.3.2.5.	-	Comentários	101

V.4.	-	Bayesian Entropy Forecasting (BEF)	101
V.4.1.	-	Introdução	101
V.4.2.	-	Conceitos Básicos da Teoria da Informa- ção	102
V.4.2.1.	-	Entropia de Shannon	102
V.4.2.1.1.-		Definição	102
V.4.2.1.2.-		Propriedades de $H(P)$	103
V.4.2.1.3.-		Medida de Entropia para Variáveis ..	104
V.4.2.2.	-	Medida de Divergência	105
V.4.3.	-	BEF - Formulação Geral	105
V.4.3.1.	-	Normal Steady State Model	106
V.4.3.2.	-	Modelo Steady State Geral	109
V.4.3.2.1.-		Definição	109
V.4.3.2.2.-		Escolha de $g(\cdot)$	110
V.4.3.2.3.-		Conceitos de Modelo Steady State.	111
V.4.3.3.	-	Formulação do Modelo Geral	112
V.4.3.3.1.-		Informação	112
V.4.3.3.2.-		Atualização do Parâmetro	112
V.4.4.	-	Modelo BEF - GEOMÉTRICO - POISSON - GAMMA	114
V.4.4.3.	-	Simplificação da Posterior	115
V.4.4.4.	-	Cálculo da Função $g(S_t, t)$	117
V.4.4.5.	-	Formulação Matemática do Modelo GEO- MÉTRICO-POISSON GAMMA	119
V.4.4.5.1.-		Notação	119
V.4.4.5.2.-		Modelo	120
V.4.4.5.3.-		Atualização dos Parâmetros	120
V.4.4.5.4.-		Distribuição de Predição da Deman- da um período à frente	121

VI.	-	MEDIDAS DE PERFORMANCE DE FORNECIMENTO	123
VI.1.	-	Modelo de Revisão Contínua	125
VI.1.1.	-	Teorema de Palm	126
VI.1.2.	-	Teorema de Palm Generalizado	130
VI.1.3.	-	Medidas de Performance de Fornecimento.	131
VI.1.3.1.	-	R(s) - Taxa de Garantia	132
VI.1.3.2.	-	F(s) - Atendimentos imediatos	133
VI.1.3.3.	-	S(s) - Unidades em Serviço	135
VI.2.	-	Revisão Periódica	135
VI.2.1.	-	R(s) - Taxa de Garantia	136
VI.2.2.	-	F(s) - Atendimentos Imediatos	137
VII.	-	TESTES E CONCLUSÕES	138
VII.1.	-	O Método BEF Aplicado a Estimacão de θ ...	139
VII.1.1.	-	Comportamento Assintótico	140
VII.1.2.	-	Comportamento com Poucas Observacões ..	143
VII.1.3.	-	Comparacão do BEF com o Objective Bayes. Approach.....	143
VII.2.	-	Índices de Performance e Cálculo do Nível Ótimo de Estoque	148
VII.3.	-	Conclusões e Sugestões	149
APÊNDICE A	-	DESCRIÇÃO DO PROGRAMA 1	151
APÊNDICE B	-	PROGRAMA 2	174
APÊNDICE C	-	PROGRAMA 3	190
APÊNDICE D	-	PROGRAMA 4	197
REFERÊNCIAS	-	BIBLIOGRÁFICAS	208

I. INTRODUÇÃO

I. INTRODUÇÃO

Frequentemente, sistemas que visam o atendimento da procura por um determinado bem, se deparam com o problema causado pelo descompasso normalmente observado entre esta procura e a capacidade do sistema de se reabastecer deste mesmo bem.

De forma a minimizar os efeitos advindos desta diferença, é conveniente acumular uma certa quantidade deste bem, criando-se um estoque e fazendo com que a procura possa ser total ou parcialmente atendida assim que observada e o processo de reabastecimento passe a ter a função de manter os níveis de estoques adequados e não de atender diretamente a procura.

Sendo assim, um estoque é uma maneira de adaptar a procura ao longo do tempo à capacidade de reabastecimento do sistema.

O acúmulo de bens em estoque visa melhorar a capacidade de atendimento da procura e este será tanto melhor quanto maiores forem os níveis de estoque. No entanto, imobilizar bens em estoque significa também imobilizar capital e arcar com os custos relativos à operação do estoque (administração, informação, espaço físico etc.).

Uma política de estoques visa estabelecer um equilíbrio entre estes dois fatores concorrentes: atender a procura sem, porém, gastar mais em estoques do que o lucro pro-

porcionado pela melhor qualidade de atendimento (é importante observar que neste caso, "gasto" e "lucro" não tem uma interpretação exclusivamente financeira podendo incluir fatores como satisfação do cliente, garantia de atendimento etc.).

Uma classe especial de estoque, que se constitui o alvo deste trabalho, se refere àqueles itens cuja procura é pequena mas cujo custo é bastante elevado, consumindo boa parte dos investimentos totais em estoque. Para estes itens, verifica-se que a política ótima é manter um nível de estoque constante, isto é, uma vez observada uma procura, um pedido de reabastecimento suficiente para restaurar o nível do estoque é emitido (em alguns casos, isto só é possível à intervalos regulares de tempo). Nesta classe de itens se encontram, geralmente, peças de reposição para navios e aviões. A única decisão a ser tomada para estes itens é a escolha de qual o nível de estoque compatível com as necessidades do sistema.

Um elemento básico para a escolha do nível apropriado do estoque é, sem dúvida, o conhecimento do valor da procura. Naturalmente, raros são os casos em que o seu nível pode ser determinado precisamente. Assim, a procura deve, necessariamente, ser estudada a luz de métodos estatísticos cujos resultados serão considerados no processo de tomada de decisão.

Os métodos estatísticos clássicos se mostram frágeis quando aplicados ao problema de estimação dos parâmetros da distribuição da procura quando esta se mostra pequena e/ou esparsa no tempo. A estatística Bayesiana, por sua maleabilidade e capacidade de considerar fatores subjetivos se mostra mais

adequada para este caso.

Este trabalho, se propõe a uma análise do problema de estocar itens de baixa procura e alto custo em vários níveis:

- (i) Estabelecer a expressão do custo associado a cada decisão (o nível de armazenamento) baseados no conhecimento dos vários parâmetros da distribuição da procura e dos custos associados. A partir desta expressão, é possível estabelecer qual o nível ótimo de armazenamento.
- (ii) Estudo estatístico da procura, identificando suas características e comparando os métodos existentes com o método proposto que se constitui na aplicação do método BEF (Bayesian Entropy Forecasting) ao problema.
- (iii) Avaliação da performance do estoque dado o nível de armazenamento. Para isso, nos valem de índices calculados a partir da distribuição da procura e independente dos custos, em geral de difícil avaliação.

O trabalho está organizado da seguinte forma: nos capítulos II e III apresentamos os modelos de estoque determinísticos e estocásticos já existentes e no capítulo IV uma

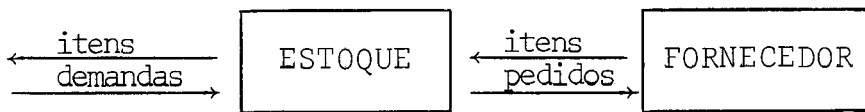
extensão destes modelos ao nosso problema onde se inclui uma análise mais cuidadosa do processo de chegada das procuras e o estudo de algumas simplificações da função de custo aplicáveis em casos particulares. O capítulo V é integralmente dedicado aos métodos de estimação dos parâmetros da procura e, em especial, ao modelo BEF. No capítulo VI são apresentados os índices de performance da política de estoque ao qual nos referimos no item (iii) acima e no capítulo VII apresentamos todos os testes comparativos com dados simulados. Os programas utilizados neste capítulo são apresentados nos apêndices A, B, C e D.

II. CONTROLE DE ESTOQUES

II. CONTROLE DE ESTOQUES

1. INTRODUÇÃO

Um sistema de estoques, na sua estrutura básica pode ser descrito pela figura abaixo:



onde são representados os seus principais elementos:

O ESTOQUE: onde está armazenada uma quantidade, chamada "estoque em mãos", de um item e ao qual comparecem clientes estabelecendo cada um uma demanda por este item. A não ser quando dito o contrário, cada demanda corresponde a uma unidade do item.

O FORNECEDOR: Abastece o ESTOQUE mediante a emissão de um "pedido" por parte da administração do estoque.

Ao tempo decorrido entre a emissão do pedido e a chegada das unidades encomendadas chamaremos de "tempo de entrega".

2. POLÍTICAS DE CONTROLE

Qualquer política de controle de estoque está, em última análise, fundamentada em duas questões: Quando emitir um pedido e Quanto pedir.

Estas, em geral, são as únicas variáveis sobre as quais se tem controle já que tanto a demanda como o tempo de entrega não dependem de nenhuma ação por parte da administração do estoque.

Como critério de otimização será utilizado a minimização dos custos variáveis com a política adotada o que, conforme será visto adiante, é equivalente a maximizar o lucro bastando para isto que sejam apropriadamente definidos cada um dos termos que compõe a função de custo.

A minimização da função de custos pode, eventualmente, estar sujeita a restrições tais como: limitação de espaço, peressibilidade do material estocado, investimento máximo, ... etc. Além disso, pode-se desejar que o estoque atinja níveis mínimos de performance, níveis estes medidos através de índices como: fração da demanda atendida, fração do tempo em que o estoque está vazio, etc.

3. FUNÇÃO DO CUSTO

Somente os custos que variam com a política adotada serão considerados. Neste estudo a unidade de tempo utilizada será o ano e os sistemas serão considerados estáticos, ou seja, os seus parâmetros são constantes no tempo. Estes custos são, basicamente, três:

3.1 - Custos de Abastecimento

À cada pedido emitido está associado um cus

to fixo "A" devido a operações de ordem administrativa tais como: preenchimento de formulários, gastos em comunicações (telex, telefone, etc.) e, em certos casos, transporte e/ou inspeção do material recebido.

Além disso, há o custo dos itens encomendados que varia com a quantidade "Q" de unidades. Para efeito destes, "C", o custo da unidade, será considerado independente de Q. Logo, "CP", o custo associado a um pedido, é dado por:

$$CP = A + CQ \quad (II.1)$$

O custo anual "Cl" é dado por:

$$Cl = n(A + CQ) \quad (II.2)$$

onde n é o número de pedidos emitidos no ano.

Logo, o custo médio anual de fornecimento, \overline{Cl} é:

$$\boxed{\overline{Cl} = \bar{n} (A + CQ)} \quad (II.3)$$

onde \bar{n} é o número médio de pedidos por ano.

3.2 - Custos de Posse

Neste item serão incluídos gastos referentes a seguros, impostos, aluguel do espaço, custos do capital imobilizado e qualquer outro custo associado à manutenção e operação do estoque. Estes custos variam enormemente em tipo e importância.

cia de um sistema para outro. No entanto é considerada, de uma maneira geral, como uma boa aproximação a suposição que estes custos são proporcionais ao investimento total no estoque propriamente dito. Logo, se "I" é a constante de proporcionalidade e $C_2(t')$ é o custo associado a um período t' tem-se:

$$C_2(t') = IC \int_0^{t'} x(t) dt \quad (\text{II.4})$$

onde $x(t) \geq 0$ é o estoque em mãos no instante t

Quando $t' = 1$,

$$C_2(1) = IC \int_0^1 x(t) dt \quad (\text{II.5})$$

Logo, " \bar{C}_2 ", o custo operacional médio anual é dado por

$$\boxed{\bar{C}_2 = IC \bar{x}} \quad (\text{II.6})$$

onde \bar{x} é o estoque médio anual em mãos.

3.3 - Custos por Falta de Estoques

Neste item serão analisados dois casos distintos:

3.3.1 - Com Formação de Fila:

Quando um usuário estabelece uma demanda por um item e o estoque em mãos é zero, a sua demanda é colocada numa "lista de espera" ou "fila". As demandas na fila serão atendidas preferencialmente assim que o estoque seja reabastecido.

Estes custos, normalmente, são de difícil avaliação especialmente no que tange a uma eventual perda de preferência de um cliente que poderá, num caso extremo, até transferir todos os seus negócios para outro estabelecimento.

Em certos casos, no entanto, é possível avaliar estes custos. Um exemplo é o caso em que uma linha de produção tenha que parar por falta de alguma peça ou de matéria-prima. Em ambos os casos, os custos seriam aqueles correspondentes ao custo de manter estas máquinas paradas.

Neste trabalho, para efeito de estudo, consideramos o custo com duas componentes: uma, fixa associada a gastos administrativos e outra, proporcional ao tempo em que uma unidade em falta permanece na fila.

Sejam:

Π_0 o custo de colocar uma demanda na fila e

$\hat{\Pi}$ o custo por demanda e por unidade de tempo que esta unidade permanece na fila.

Assim, para cada demanda na fila está associado um custo " Π ":

$$\Pi = \Pi_0 + \hat{\Pi} \Delta t \quad (\text{II.7})$$

onde Δt é o tempo, em anos, que a demanda permaneceu na fila.

Seja b' o número de demandas que entraram na fila em um ano. Então, $C_3(t')$, o custo devido à falta de estoques no período de tempo t' , é dado por:

$$C_3(t') = b' \Pi_0 + \hat{\Pi} \int_0^{t'} b(t) dt \quad (\text{II.8})$$

onde $b(t)$ é o tamanho da fila no instante t .

Seja \bar{b} o tamanho médio da fila ao longo de um ano. Outra vez, ele é numericamente igual ao número de unidades.ano na fila. Logo,

$$\bar{b} = \int_0^1 b(t) dt \quad (\text{II.9})$$

Logo, o custo médio anual por falta de estoque \bar{C}_3 é:

$$\bar{C}_3 = \Pi_0 \bar{b}' + \hat{\Pi} \bar{b} \quad (\text{II.10})$$

onde \bar{b}' é o número médio de unidades que entraram na fila por ano¹.

Para maior clareza, cabe observar que \bar{b} se refere ao tamanho médio da fila enquanto \bar{b}' se refere ao número total de unidades que entraram na fila, não importando quanto tempo nela permaneceram.

1 Repare que $\bar{b}' = \lim_{n \rightarrow \infty} \frac{\sum_{i=1}^n b'_i}{n}$ onde b'_i é o número de unidades

que entraram na fila durante ano i .

3.3.2 - Sem Formação de Filas - Vendas Perdidas

Ocorre quando um usuário estabelece uma demanda por item em falta no estoque, não se dispõe a entrar numa fila de espera, vai a outro estabelecimento e a venda é perdida.

Outra vez, é difícil medir a insatisfação do cliente em termos monetários. Seja Π o custo de uma venda perdida, então

$$\Pi = \text{custo da insatisfação do cliente} + \text{lucro perdido} \quad (\text{II.11})$$

4. MODELOS DETERMINÍSTICOS DE CONTROLE DE ESTOQUES

Como já foi dito, os modelos aqui apresentados são estáticos e o critério de otimização é a minimização da média anual dos custos variáveis. Logo "K" o custo médio anual é dado por:

$$K = \lim_{\Delta t \rightarrow \infty} \frac{\bar{K}(\Delta t)}{\Delta t} \quad (\text{II.12})$$

onde $\bar{K}(\Delta t)$ é o custo variável associado a um período Δt , dado em anos.

São poucos os casos reais que, a rigor, a demanda e o tempo de entrega possam ser considerados determinísticos. Estes modelos, no entanto, são largamente utilizados dado a sua simplicidade e fornecem, ainda, uma boa base de trabalho para o estudo de modelos estocásticos que serão vistos mais adiante.

4.1 - Lote Econômico

É o modelo mais simples. Considera todas as variáveis como sendo contínuas sendo a demanda e o tempo de entrega perfeitamente conhecidos e constantes no tempo. Além disso, o modelo não considera a hipótese de haver falta de estoque ou seja, toda a demanda é atendida.

Sejam:

λ a demanda em unidades/ano

τ o tempo de entrega

Q o tamanho do pedido - cada vez que um pedido é emitido, são encomendadas Q unidades ao fornecedor. Como o modelo é estático, todos os pedidos serão iguais.

Como não há falta de estoque, somente os custos de abastecimento (C_1) e os custos operacionais (C_2) serão considerados:

Logo:

$$K = \overline{C1} + \overline{C2} \quad (\text{II.13})$$

4.1.1 - Cálculo do Custo de Abastecimento

Como a demanda é considerada contínua, constante e igual a λ e cada pedido é de Q unidades, o número médio de pedidos por ano é dado por^(*):

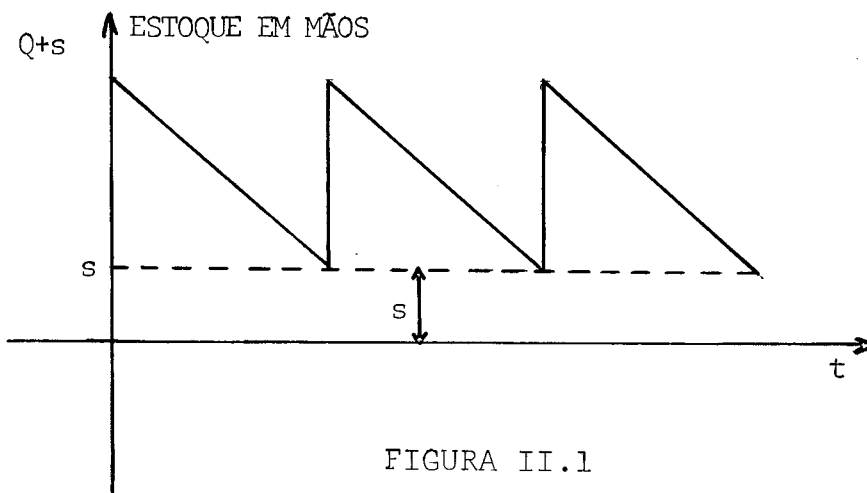
$$\bar{n} = \frac{\lambda}{Q} \quad (\text{II.14})$$

Logo, por (II.3)

$$\boxed{\overline{C1} = \frac{\lambda}{Q} A + C\lambda} \quad (\text{II.15})$$

4.1.2 - Cálculo dos Custos de Posse

Seja $S \geq 0$ o estoque em mãos no instante que precede a chegada do pedido (vide fig.II.1)



(*) Uma prova rigorosa deste fato é fornecida em Hadley & Whitin¹.

Logo, como o estoque em mãos varia linearmente de $Q+S$ a S , \bar{x} , o estoque médio anual é dado Por:

$$\bar{x} = \frac{Q+S+S}{2} = \frac{Q}{2} + S \quad (\text{II.16})$$

Logo, por (II.6)

$$\overline{C2} = IC \left(\frac{Q}{2} + S \right) \quad (\text{II.17})$$

4.1.3 - Minimização da Função de Custo

Por (II.15) e (II.17), temos

$$K = \frac{\lambda A}{Q} + C\lambda + IC \left(\frac{Q}{2} + S \right) \quad (\text{II.18})$$

A minimização de K em relação a S e Q nos fornecerá os valores ótimos do estoque em mãos no instante que precede a chegada do pedido (S^*) e do tamanho do pedido (Q^*).

Para calcular S^* , basta verificar que o único termo que depende de S na equação (II.18) é ICS . Logo,

$$\boxed{S^* = 0} \quad (\text{II.19})$$

Para calcular Q^* , calculemos

$$\frac{\partial K}{\partial Q} = 0 \longrightarrow \boxed{Q^* = \sqrt{\frac{2\lambda A}{IC}}} \quad (\text{II.20})$$

O estoque em mãos à cada instante está representado na figura abaixo:

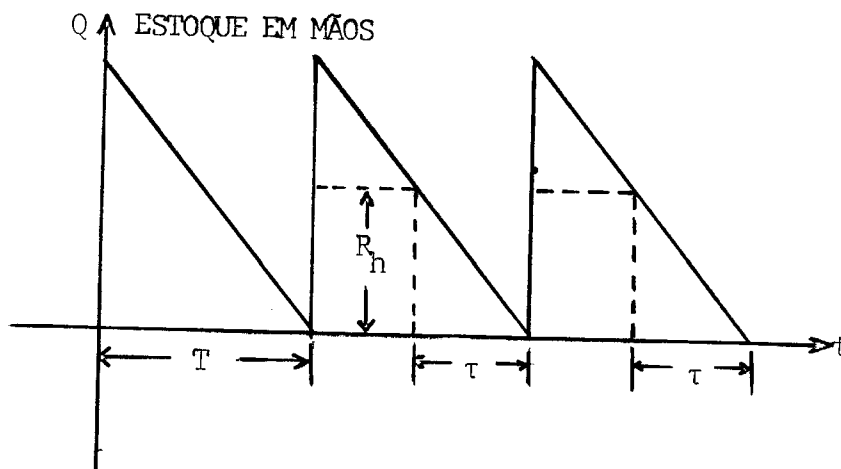


FIGURA II.2

onde estão representados também:

τ ... o tempo de entrega

T ... o período do sistema (tempo após o qual o sistema se repete)
sendo $T = Q/\lambda$

R_h .. o ponto de renovação; nível do estoque que quando atingido determina a emissão de um pedido.

4.1.4 - Cálculo de R_h , o ponto de renovação

Primeiramente seja u a "demanda de espera"

dada por:

$$u = \lambda \tau \quad (\text{II.21})$$

A demanda de espera é a quantidade demandada durante o tempo de entrega. Logo R_h tem que ser tal que, ao final do tempo de entrega, o estoque em mãos seja $S^*=0$.

Seja m , o nº de ciclos completos no período τ , dado por:

$$m = \left[\frac{\tau}{T} \right] \quad (\text{II.22})$$

Logo em τ unidades de tempo o sistema recebe Qm unidades e entrega u unidades.

Então,

$$\boxed{R_h = u - mQ} \quad (\text{II.23})$$

ou seja, o que se tem em mãos hoje (R_h) mais o que se vai receber durante o período $\tau(mQ)$ tem que ser igual a procura total durante o tempo de entrega τ (isto é, u)

4.2 - Com Formação de Fila

Neste caso, todas as demandas serão eventualmente atendidas porém, aquelas ocorridas quando o estoque em mãos for zero serão colocadas em uma fila ou lista de espera e atendidas preferencialmente assim que o estoque seja reabastecido. O gráfico abaixo representa o estoque em mãos ao longo do tempo.

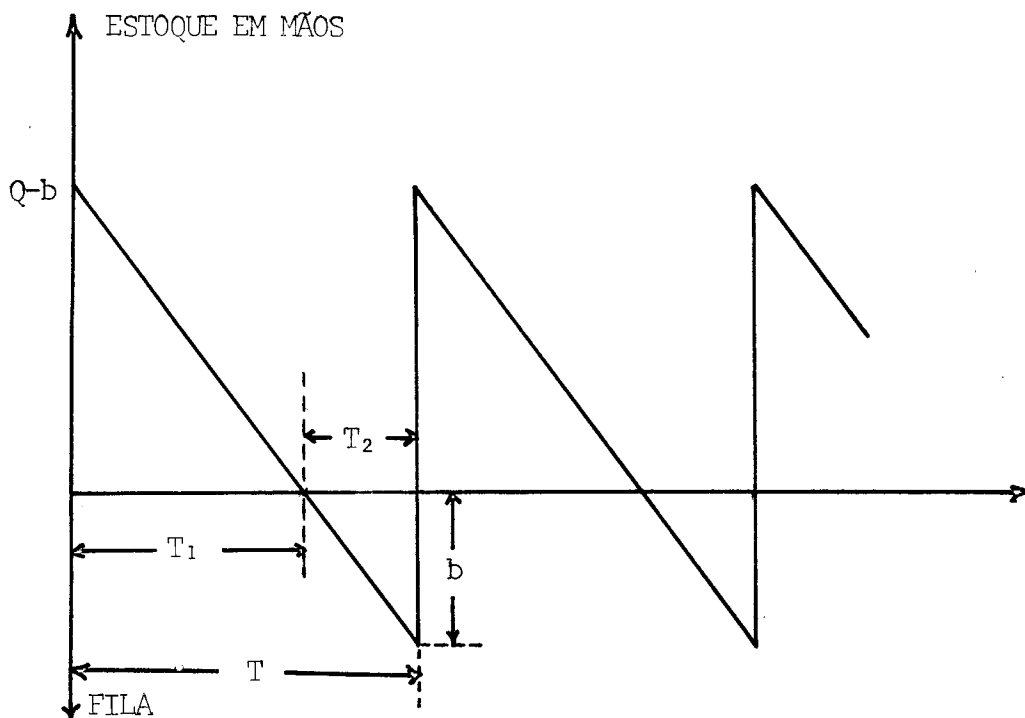


FIGURA II.3

onde:

T_1 tempo durante o qual há estoque

T_2 tempo durante o qual há fila (estoque em mãos igual a zero)

$T = T_1 + T_2$.. duração de um ciclo

$b \geq 0$ tamanho da fila no momento que antecede a chegada de um pedido.

4.2.1 - Custo de Abastecimento

Como no item anterior

$$\overline{CI} = \frac{A\lambda}{Q} + c\lambda \tag{II.24}$$

4.2.2 - Custos de Posse

A cada ciclo, $x(t)$, o estoque em mãos, é dado por:

$$\begin{aligned} x(t) &= Q-b-\lambda t, & 0 \leq t \leq T_1 \\ &= 0, & T_1 < t < T \end{aligned} \quad (\text{II.25})$$

Seja \bar{x} , o estoque médio em um ano

$$\bar{x} = \lim_{\Delta t \rightarrow \infty} \frac{\int_0^{\Delta t} x(t) dt}{\Delta t} \quad (\text{II.26})$$

Se n é o número de ciclos completos em Δt anos e $\zeta < T$ é uma fração de ciclo temos:

$$\begin{aligned} \bar{x} &= \lim_{\Delta t \rightarrow \infty} \left[\frac{n \int_0^{T_1} x(t) dt}{\Delta t} + \frac{\int_0^{\zeta} x(t) dt}{\Delta t} \right] = \\ &= \lim_{\Delta t \rightarrow \infty} \frac{n \int_0^{T_1} x(t) dt}{\Delta t} = \int_0^{T_1} x(t) dt \cdot \lim_{\Delta t \rightarrow \infty} \frac{n}{\Delta t} \end{aligned} \quad (\text{II.27})$$

Por (II.14) podemos concluir que:

$$\lim_{\Delta t \rightarrow \infty} \frac{n}{\Delta t} = \frac{\lambda}{Q} \quad (\text{II.28})$$

já que $\lim_{\Delta t \rightarrow \infty} n/\Delta t$ é, por definição, o nº médio de ciclos (e por tanto de pedidos por ano).

De (II.27) e (II.28),

$$\begin{aligned} \bar{x} &= \frac{\lambda}{Q} \int_0^{T_1} x(t) dt = \frac{\lambda}{Q} \int_0^{T_1} (Q-b-\lambda t) dt = \\ &= \frac{(Q-b)^2}{2Q} \end{aligned} \quad (\text{II.29})$$

Logo:

$$\boxed{\bar{C}_2 = \frac{IC}{2Q} (Q-b)^2} \quad (\text{II.30})$$

4.2.3 - Custos por Falta de Estoques

A cada ciclo, b unidades entram na fila de espera. Logo, como λ/Q é o número médio de ciclos por ano, " \bar{b}' " o número médio de unidades que entram na fila por ano é:

$$\bar{b}' = b \cdot \frac{\lambda}{Q} \quad (\text{II.31})$$

e, como $b(t)$, o número de unidades na fila no instante t e dado por:

$$b(t) = \lambda t, \quad 0 \leq t \leq T_2 \quad (\text{II.32})$$

temos por (II.9).

$$\bar{B} = \frac{\lambda}{Q} \int_0^{T_2} \lambda t dt = \frac{2 T_2^2}{2} \quad (\text{II.33})$$

como

$$T_2 = \frac{b}{\lambda} \quad (\text{II.34})$$

Substituindo (II.31), (II.33) e (II.34) em (II.10) temos:

$$\bar{C3} = \frac{1}{Q} \left[\Pi_0 \lambda b + \frac{1}{2} \hat{\Pi} b^2 \right] \quad (\text{II.35})$$

4.2.4 - Minimização da Função de Custo

Por (II.24), (II.30) e (II.35)

$$K = \frac{\lambda}{Q} A + C\lambda + \frac{IC}{2Q} (Q-b)^2 + \frac{1}{Q} \left[\Pi_0 \lambda b + \frac{1}{2} \hat{\Pi} b^2 \right] \quad (\text{II.36})$$

Como no item 4.1.3, a minimização de K com relação a Q e b nos fornecerá o pedido ótimo (Q^*) e o tamanho ótimo da fila no instante que antecede a chegada de um pedido (b^*).

$$\frac{\partial K}{\partial b} = 0 \longrightarrow Q^* = \frac{\Pi_0 \lambda}{IC} + \left(1 + \frac{\hat{\Pi}}{IC} \right) b^* \quad (\text{II.37})$$

$$\frac{\partial K}{\partial Q} = 0 \longrightarrow \frac{Q^*}{2} = \frac{1}{IC} \left[\lambda A + \Pi_0 \lambda b^* + \frac{1}{2} \hat{\Pi} b^{*2} \right] + \frac{b^{*2}}{2} \quad (\text{II.38})$$

Resolvendo (II.37) e (II.38) temos:

$$(\hat{\Pi}^2 + \hat{\Pi} IC) b^{*2} + 2 \Pi_0 \lambda \hat{\Pi} b^* + (\Pi_0 \lambda)^2 - 2 \lambda A IC = 0 \quad (\text{II.39})$$

Antes de calcular b^* , analisemos (II.39); supondo que

$$\hat{\Pi} = 0 : \text{Então por (II.39)}$$

$$(\Pi_0 \lambda)^2 = 2 \lambda A IC \quad (\text{II.40})$$

A equação (II.39) tornou-se independente de b^* . Assim, se os parâmetros Π_0 , λ , A , I e C não são tais que (II.40) seja verdade então não existe $0 < b^* < \infty$ que satisfaça (II.37) e (II.38) e b^* deve se encontrar nas extremidades.

Concluimos então que um estoque para o qual o tempo em que uma unidade permanece na fila não é penalizado nos leva a três opções.

- a) A eq.(II.40) não é satisfeita e não vale a pena colocar uma unidade sequer na fila. ($b^*=0$). Neste caso, o modelo se reduz ao LOTE ECONÔMICO.

b) A eq.(II.40) não é satisfeita e é vantajosa a criação de fila. No entanto, como a penalidade está apenas no número de unidades que entram na fila e não no número de unidades que estão na fila nada impede que esta cresça indefinidamente. Se é vantajoso colocar uma unidade na fila, quanto mais unidades não atendidas mais lucro! Neste caso $b^* = \infty$ e não há estoque.

c) A eq.(II.40) é satisfeita. Logo quaisquer valores de Q^* e b^* tais que;

$$Q^* = b^* + \frac{\Pi_0 \lambda}{IC}, \text{ obtido de II.37 com } \Pi = 0$$

implicam num custo médio anual obtido da expressão II.36 e dado por:

$$K = \lambda (C + \Pi_0)$$

Se $\hat{\Pi} \neq 0$ então:

$$b^* = \left[\frac{\hat{\Pi} + IC}{\hat{\Pi}} \right]^{-1} \left\{ -\Pi_0 \lambda + \left[(+2\lambda A IC) \left(1 + \frac{IC}{\hat{\Pi}} \right) - \frac{IC}{\hat{\Pi}} (\Pi_0 \lambda)^2 \right]^{1/2} \right\} \quad (\text{II.41})$$

$$Q^* = \left[\frac{\hat{\Pi} + IC}{\hat{\Pi}} \right]^{1/2} \left[\frac{2\lambda A}{IC} - \frac{(\Pi_0 \lambda)^2}{IC(\hat{\Pi} + IC)} \right]^{1/2}, \quad \hat{\Pi} \neq 0 \quad (\text{II.42})$$

4.2.5 - Cálculo do Ponto de Renovação

Analogamente ao item 4.1.4, " R_h ", o ponto de renovação, tem que ser tal que no instante que precede a chegada de um pedido, o tamanho da fila seja b^* : Logo,

$$R_h - u + mQ^* = b^* \quad (\text{II.43})$$

$R_h = u - mQ^* + b^*$	(II.44)
------------------------	---------

onde u e m são dados por (II.21) e (II.22) respectivamente.

4.3 - Sem Formação de Fila

Neste caso, qualquer demanda durante o período T_2 (vide figura II.4) no qual o estoque em mãos, é zero será perdida. Desta forma, não é mais verdade que a minimização dos custos seja equivalente à maximização dos lucros já que a quantidade vendida não é mais fixa (igual à demanda) e depende da fração do tempo no qual o estoque está vazio.

Este problema pode ser resolvido se incorporarmos ao custo da venda perdida o lucro perdido. Senão, vejamos:

Sejam:

- s o preço de venda de uma unidade
 p o lucro anual
 c o custo de uma unidade
 fo parcela do tempo que o estoque está vazio ($fo = T_2/T$)
 Π_0 custo de uma venda perdida exclusive o lucro.

Então:

$$p = \lambda(s-c)(1-fo) - \Pi_0 \lambda fo - (\text{custos de abastecimento e custos de posse}) \quad (\text{II.45})$$

$$\rightarrow p = \lambda(s-c) - (\Pi_0 + s - c) \lambda fo - (\text{custos de abast. e posse}) \quad (\text{II.46})$$

Logo, verifica-se por (II.46) que o lucro é igual ao custo a menos uma constante ($\lambda(s-c)$) e o sinal. Portanto se equivalem a minimização dos custos e a maximização dos lucros.

A figura abaixo representa o estoque em relação ao tempo.

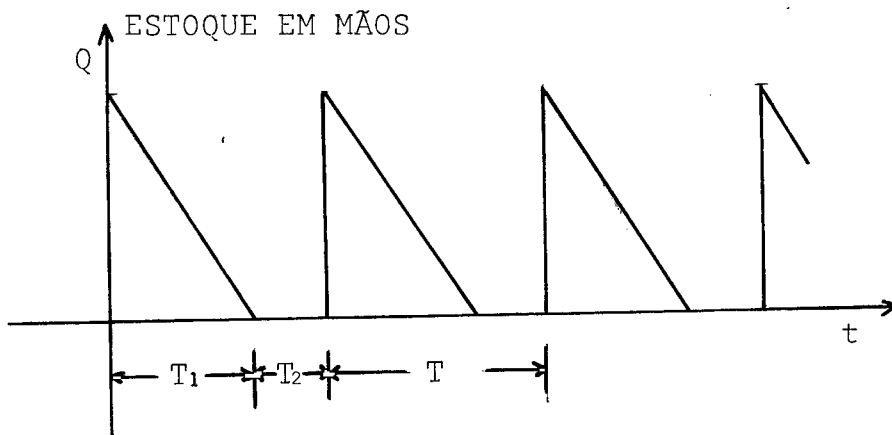


FIGURA II.4

O período T é dado por:

$$T = T_1 + T_2 = \frac{Q}{\lambda} + T_2 \quad (\text{II.47})$$

e

$$\Pi = \Pi_0 + s - c$$

4.3.1 - Custos de Abastecimento

O número médio de pedidos (ou ciclos) por ano " \bar{n} ":

$$\bar{n} = \frac{1}{T} = \frac{\lambda}{Q + \lambda T_2} \quad (\text{II.48})$$

para $Q \neq 0$ (não há pedidos por zero itens)

Logo por (II.3)

$$\boxed{\bar{CI} = \frac{A\lambda}{Q + \lambda T_2} + \frac{CQ\lambda}{Q + \lambda T_2}} \quad (\text{II.49})$$

4.3.2 - Custos de Posse

Analogamente ao item 4.2:

$$\bar{x} = \bar{n} \int_0^{T_1} (Q - \lambda t) dt = \frac{\lambda}{Q + \lambda T_2} \cdot \frac{Q^2}{2\lambda} = \frac{Q^2}{2(Q + \lambda T_2)} \quad (\text{II.50})$$

Por (II.6)

$$\overline{C_2} = \frac{ICQ^2}{2(Q+\lambda T_2)} \quad (\text{II.51})$$

4.3.3 - Custos por Falta de Estoque

A cada ciclo o custo é dado por ' C_T ' onde:

$$C_T = \Pi \lambda T_2 \quad (\text{II.52})$$

Logo o custo médio anual devido à falta de estoques é dado por:

$$\overline{C_3} = \bar{n} \Pi \lambda T_2 = \frac{\Pi \lambda^2 T_2}{Q + \lambda T_2} \quad (\text{II.53})$$

4.3.4 - Minimização da Função de Custo

Por (II.49), (II.51) e (II.42),

$$K = \frac{\lambda}{Q + \lambda T_2} A + \frac{CQ\lambda}{Q + \lambda T_2} + \frac{ICQ^2}{2(Q + \lambda T_2)} + \frac{\Pi \lambda T_2}{Q + \lambda T_2}$$

ou

$$K = \frac{2\lambda A + 2CQ\lambda + ICQ^2 + 2\Pi\lambda^2 T_2}{2(Q + \lambda T_2)} \quad (\text{II.54})$$

Para encontrar-mos Q^* e T_2^* , os valores de Q e T_2 que minimizam (II.54), temos:

$$\frac{\partial K}{\partial T_2} = 0 \longrightarrow ICQ^{*2} + (2C\lambda - 2\Pi\lambda) Q^* + 2\lambda A = 0 \quad (\text{II.55})$$

$$\frac{\partial K}{\partial Q^2} = 0 \longrightarrow T_2^* = \frac{2\lambda A - ICQ^{*2}}{2ICQ^*\lambda + 2C\lambda^2 - 2\Pi\lambda^2} \quad (\text{II.56})$$

para Q e $T > 0$

De II.55 temos

$$Q^* = \frac{\lambda(\Pi - C) \pm \sqrt{\lambda^2(\Pi - C)^2 - 2IC\lambda A}}{IC} \quad (\text{II.57})$$

$$\text{Seja } \Delta = \lambda^2(\Pi - C)^2 - 2IC\lambda A \quad (\text{II.58})$$

Por (II.57) temos que:

a) Se $\Delta < 0$, as equações (II.55, II.56) não tem solução real tal que $0 < T_2^* < T$ e $0 < Q^* < \infty$ e a solução se encontra em uma das extremidades.

(i) se $Q^* = 0$ então $T_2^* \rightarrow T$ pois nenhum pedido será efetuado e o custo será dado por

$$K^* = \Pi \lambda \quad (\text{II.59})$$

(ii) Se $T_2^* \square 0$ então, por (II.56),

$$Q^* = \sqrt{\frac{2\lambda A}{IC}} \quad e \quad K^* = \sqrt{2\lambda IC} \quad (\text{II.60})$$

que é a fórmula do lote econômico.

(item 4.1)

(iii) Se $Q^* \rightarrow \infty$, $K \rightarrow \infty$

Logo, se $\Delta < 0$, a solução ótima será dada por (i) ou (ii) dependendo do valor de K^* em (II.59) e (II.60) respectivamente.

b) Se $\Delta \geq 0$, por (II.58)

$$(\Pi - C)^2 \geq \frac{2ICA}{\lambda} \quad (\text{II.61})$$

Logo, temos duas opções:

$$\Pi \geq \sqrt{\frac{2ICA}{\lambda}} + C \quad (\text{II.62})$$

ou

$$C \geq \sqrt{\frac{2ICA}{\lambda}} + \Pi \quad (\text{II.63})$$

Considere o seguinte argumento:

Sejam:

$$f = \lambda(\Pi - C) \longrightarrow f^2 = \lambda^2(\Pi - C)^2 \quad (\text{II.64})$$

$$g = \sqrt{\lambda^2(\Pi - C)^2 - 2IC\lambda A} \longrightarrow g^2 = \lambda^2(\Pi - C)^2 - 2IC\lambda A \quad (\text{II.65})$$

Como $2IC\lambda A > 0$, conseqüentemente.

$$f^2 > g^2 \longrightarrow |f| > |g| \quad (\text{II.66})$$

ou

$$|\lambda(\Pi - C)| > \sqrt{\lambda^2(\Pi - C)^2 - 2IC\lambda A} \quad (\text{II.67})$$

A hipótese (II.63) pode ser reescrita na forma abaixo:

$$\Pi < C \quad (\text{II.68})$$

pois $I, C, A > 0$.

Logo, considerando (II.67) na expressão (II.57) com a hipótese de que $\Pi < C$ (ou seja $\Pi - C < 0$), verificamos que o denominador é necessariamente negativo, isto é, $Q^* < 0$.

Conseqüentemente, as equações (II.55) e (II.56) não tem solução tal que $0 < Q^* < \infty$ e $0 < T_2^* < T$ e recaímos na análise do item (a).

Para a hipótese (II.62), podemos escrever:

$$\Pi > C \quad (II.69)$$

e, repetindo as considerações sobre a hipótese (II.67) e utilizando a expressão (II.57), concluimos que $Q^* > 0$.

Substituindo (II.57) em (II.56) e efetuando algumas manipulações,

$$T_2^* = \frac{-\lambda(\Pi - C) \mp \sqrt{\lambda^2(\Pi - C) - 2 AIC}}{IC\lambda} \quad (II.70)$$

O denominador da expressão acima tem a mesma forma de expressão de Q^* . (II.57) a menos do sinal. Logo, T_2^* tem sinal contrário a Q^* e podemos afirmar que, para a hipótese (II.62), $T_2^* < 0$.

Em resumo, o que concluimos das expressões (II.61 - II.70) é que quando $\Delta \geq 0$, ou $Q^* < 0$ ou $T_2^* < 0$ e, como no caso (a), a solução está numa das extremidades.

As conclusões sobre estoques onde não há formação de filas são análogas às aquelas sobre estoques com formação de fila onde não há penalidade sobre o tempo em que uma demanda nela permanece.

De fato, só existem duas opções:

$$i) \quad Q^* = 0 \quad \text{e} \quad T_2^* \longrightarrow T$$

Neste caso o melhor é não haver estoques e perder todas as vendas com custo

$$K^* = \Pi \lambda \quad (\text{II.71})$$

$$ii) \quad T_2^* = 0 \quad \text{e} \quad Q^* = \sqrt{\frac{2\lambda A}{IC}}$$

Como nenhuma venda é perdida, recaímos no modelo do lote econômico onde não há deficit e o custo é dado por:

$$K^* = \sqrt{2A\lambda IC} \quad (\text{II.72})$$

Os resultados acima coincidem qualitativamente com aqueles encontrados por Hadley e Whithin¹ na seção 2.6. Nos parece, no entanto, que ao formularem a expressão do custo médio anual os autores consideram que o custo anual de abastecimento (no que se refere ao gasto diretamente ligado ao número de unidades encomendadas) é independente de Q e T_2 o que, para estoques sem formação de fila, não é verdade.

De fato, enquanto que em estoques com formação de fila toda a demanda é eventualmente atendida independentemente da política adotada, em estoques sem formação de fila só serão atendidas demandas com o estoque em mãos. O custo de encomenda neste último caso é, evidentemente, menor pois só serão encomendadas $(1-T_2) \lambda$ unidades.

III. MODELOS ESTOCÁSTICOS

III. MODELOS ESTOCÁSTICOS

Nos modelos estudados na seção anterior, admitiu-se que a demanda era conhecida deterministicamente. Esta hipótese, no entanto, não é verificada para a maioria dos sistemas de estoque. Nesta seção, serão desenvolvidos modelos para os quais a demanda é descrita probabilisticamente.

Nos modelos determinísticos o nível do estoque é conhecido em qualquer instante e, por isso, ao fixarmos o tempo entre pedidos estamos fixando também o tamanho do pedido.

Ao introduzirmos flutuações aleatórias na demanda, no entanto, este vínculo (tempo entre pedidos - quantidade a encomendar) se desfaz já que o nível do estoque passa também a ser uma variável aleatória.

A partir deste fato, apresentam-se duas possibilidades que determinam as duas principais classes de modelos estocásticos de estoque:

- (a) fixar o tamanho do pedido e emití-lo sempre que o estoque atingir um nível r pré-estabelecido.
- (b) fixar o tempo entre os pedidos dimensionando-os de forma a restabelecer um nível R pré-estabelecido.

A primeira hipótese pressupõe o conhecimento permanente do nível do estoque. Para isto, o sistema deve estar completamente informado de qualquer modificação no nível do

estoque (emissão de pedidos, ocorrência de demandas e recebimento de pedidos). Os modelos que descrevem estoques com estas características são chamados de MODELOS DE REVISÃO CONTÍNUA.

Um estoque de revisão contínua requer toda uma estrutura que seja capaz de gerar as informações necessárias do monitoramento do nível do estoque. Isto nem sempre é desejável ou economicamente viável. Um outro procedimento largamente utilizado é verificar o nível do estoque apenas periodicamente tornando mais simples o sistema de informações. Esta segunda classe de modelos que corresponde à hipótese (b) acima, será chamada de MODELOS DE REVISÃO PERIÓDICA.

Uma série de modelos foram desenvolvidos para diversas situações particulares (Naddor², Hadley¹, Brown³ entre outros). Neste texto serão apresentados dois modelos de caráter geral na medida em que serão desenvolvidas somente as expressões das funções de custo omitindo o processo utilizado na determinação dos valores ótimos que a minimizam. Na verdade, nos casos reais quase sempre é possível utilizar aproximações destes modelos simplificando significativamente suas expressões de custo.

Em ambos os modelos as demandas serão geradas segundo um processo de POISSON cujas características (Feller⁴) vem de encontro a este propósito. O tempo de entrega será considerado constante e conhecido. Flutuações, aleatórias no tempo de entrega serão posteriormente discutidas.

A notação utilizada é a mesma do capítulo anterior a não ser quando dito o contrário.

1. CÁLCULO DA FUNÇÃO DE CUSTO

Nos modelos determinísticos, o critério de otimização era a minimização do custo médio anual, dado por:

$$K = \lim_{\Delta t \rightarrow \infty} \frac{\bar{K}(\Delta t)}{\Delta t} \quad (\text{III.1})$$

onde $\bar{K}(\Delta t)$ era o custo associado a um período de tempo Δt .

Com a introdução da aleatoriedade na demanda, $\bar{K}(\Delta t)$ passa também a ser uma variável aleatória. Logo, o critério de otimização será dado pela minimização do valor esperado do custo anual.

$$K = E(\bar{K}(\Delta t)) \quad \text{onde } \Delta t = 1 \text{ ano.} \quad (\text{III.2})$$

Por simplicidade de notação sempre que Δt for igual a 1 ano, será omitido. Assim, escrevemos:

$$K = E(\bar{K}) \quad (\text{III.3})$$

2. MEDIDAS DO NÍVEL DO ESTOQUE

Neste ponto, convém olharmos com mais atenção para as diversas medidas de nível de estoque que serão utilizadas neste texto.

ESTOQUE EM MÃOS: O número de unidades efetivamente disponíveis para consumo imediato. O estoque em mãos é, naturalmente, maior ou igual a zero.

SALDO DO ESTOQUE: Dado pelo estoque em mãos menos o número de unidades na fila. O SALDO DO ESTOQUE pode ser maior, igual ou menor que zero.

NÍVEL DO ESTOQUE

ou

POSIÇÃO DO ESTOQUE: Igual ao SALDO DO ESTOQUE mais as unidades em comandas e ainda não entregues.

3. MODELO DE REVISÃO CONTÍNUA $\langle r, Q \rangle$

Seja um estoque com as seguintes características:

- . Sempre que o nível do estoque for igual a r é emitido um pedido por Q unidades.
- . Se ocorrer uma demanda quando o estoque em mãos for nulo, esta é colocada numa "fila de espera" sendo atendida preferencialmente quando houver estoque em mãos suficiente.
- . A demanda é Poisson com média λ e o tempo de entrega é constante e conhecido, denotado por τ .

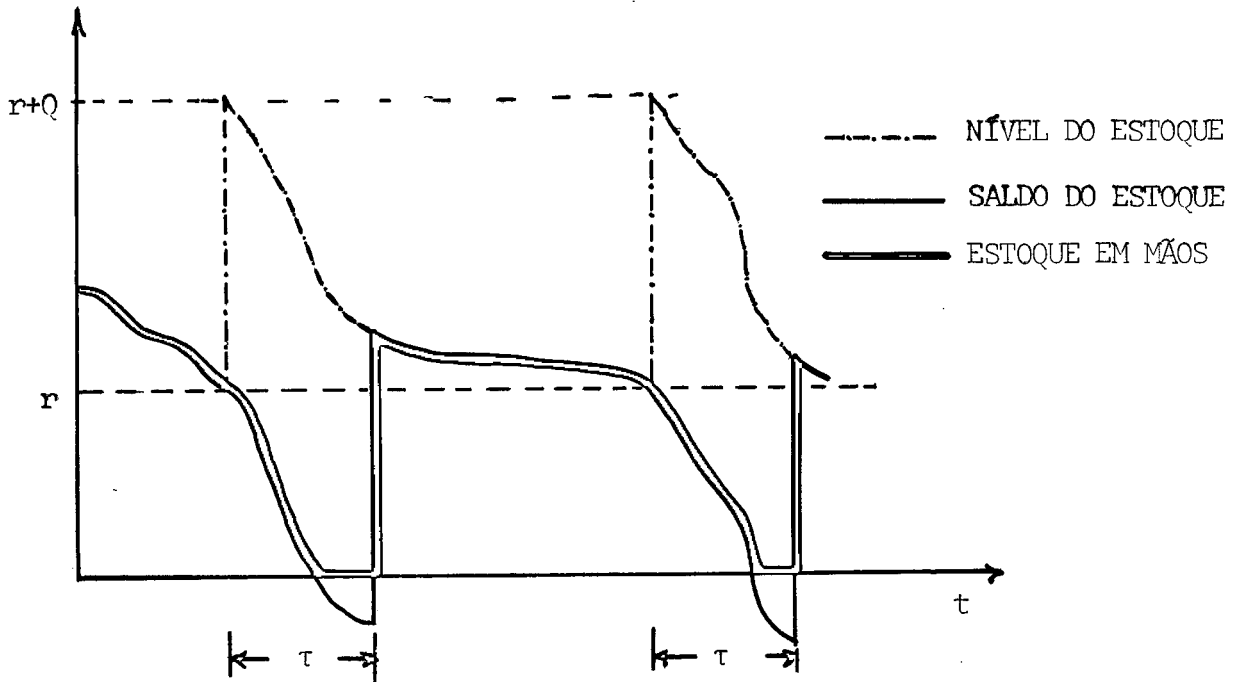


FIGURA III.1 - Mostra o estoque em mãos, o saldo do estoque e o nível do estoque ao longo do tempo para um estoque de revisão contínua

3.1 - Custos de Abastecimento

Como já vimos, o custo de abastecimento ao longo de um ano é dado por:

$$C1 = n (A + CQ) \quad (\text{III.4})$$

Logo,

$$E(C1) = E(n) (A+CQ) \quad (\text{III.5})$$

onde u é o número de pedidos do ano.

$$E(n) = \frac{\lambda}{Q} \quad (\text{III.6})$$

já que a demanda é POISSON com média λ .

Então,

$$E(C1) = \frac{\lambda A}{Q} + C\lambda \quad (\text{III.7})$$

3.2 - Custos por Falta de Estoque

Conforme foi visto na seção anterior o custo devido à falta de estoques tem duas componentes: uma proporcional ao número total de unidades que entraram na fila e a outra, proporcional ao número de unidades-ano⁽¹⁾ na fila que, como já vimos, se iguala numericamente ao número médio de unidades na fila.

Sejam:

b' o número de unidades que entraram na fila ao longo de um ano.

$b(t)$ o número de unidades na fila no instante t e

\bar{b} o tamanho médio da fila.

Logo,

$$\bar{b} = \int_0^1 b(t) dt \quad (\text{III.8})$$

Como a demanda é aleatória, b' e \bar{b} serão também variáveis aleatórias.

1-Uma unidade.ano na fila corresponde à permanência de uma unidade na fila durante um ano. Assim uma unidade na fila durante um ano corresponde à 12 unidades na fila durante 1 mês.

O custo associado a um ano é

$$C_3 = \pi_0 b' + \hat{\pi} \bar{B} \quad (\text{III.9})$$

Logo,

$$E(C_3) = \pi_0 E(b') + \hat{\pi} E(\bar{B}) \quad (\text{III.10})$$

Sejam

$E(r, Q)$ o valor esperado do número de unidades que entraram na fila em um ano, dado r e Q .

$B(r, Q)$ o valor esperado do número médio de unidades na fila dado r e Q .

Para calculá-los notemos primeiramente que sendo

P_0 = probabilidade do estoque em mãos ser nulo num instante qualquer do tempo.

e $\Psi(x)$ = probabilidade do saldo do estoque ser x num instante qualquer do tempo,

o valor esperado do número de unidades que foram colocadas na fila se iguala à demanda durante o período em que o estoque em mãos é nulo. Logo,

$$E(r, Q) = \lambda P_0 \quad (\text{III.11})$$

Temos ainda que o valor esperado do número de unidades.ano na fila se iguala numericamente do valor esperado do número de unidades na fila durante o ano. Logo,

$$B(r, Q) = \int_{-\infty}^0 |x| \Psi(x) \quad (\text{III.12})$$

Para calcular $\Psi(x)$ (e conseqüentemente P_0) vamos analisar a variação do nível do estoque como um processo markouiano contínuo no tempo. Enunciamos, então, o seguinte teorema:

TEOREMA: Num sistema de estoque com revisão contínua cuja demanda é POISSON com taxa λ , se o ponto de renovação é dado por r , o nível do estoque (definido na seção 2) é uniformemente distribuído entre $r+1$ e $r+Q$, isto é, se

$\rho(r+j)$ é a probabilidade do nível do estoque ser $r+j$ num instante qualquer,

$$\rho(r+j) = \frac{1}{Q}, \quad j = 1, 2 \dots Q$$

PROVA: Observemos, primeiramente, que sempre que o nível do estoque atinge um valor r , um pedido por Q unidades é emitido fazendo com que o nível do estoque retorne ao valor $r+Q$ (vide figura III.1). Logo, em qualquer instante o nível do estoque está entre $r+1$ e $r+Q$.

A probabilidade de ocorrência de uma transição de estado, isto é, uma mudança no nível do estoque, em um intervalo de tempo dt é igual à probabilidade de ocorrência de uma demanda neste intervalo que é dada por λdt . Como a probabilidade de ocorrência de duas ou mais demandas durante dt é nula, o sistema se move sempre do estado $r+j$ para $r+j-1$ a não ser quando $j=1$. Neste caso, há uma transição para o estado $r+Q$ já que r

é o ponto de pedido.

Logo, se a_{ij} é um elemento da matriz densidade de transição deste processo markoviano, temos que:

$$a_{ij} = \begin{cases} \lambda, & \text{se } i=j+1 \text{ e } j=r+1, r+2, r+Q-1 \text{ ou } i=r+1 \\ & \text{e } j=Q+r \\ 0, & \text{caso contrário} \end{cases} \quad (\text{III.13})$$

Utilizando uma propriedade das cadeias de Markov contínuas no tempo [HOWARD⁵] dada por

$$\rho(r+j) \sum_{k \neq r+j}^{r+Q} a_{r+j,k} = \sum_{k+r}^{r+Q} \rho(k) a_{k,r+j}, \quad j=1, Q \quad (\text{III.14})$$

então, de (III.13) e (III.14), temos:

$$\lambda \rho(r+j+1) = \lambda \rho(r+j) \quad (\text{III.15})$$

$$\lambda \rho(r+Q) = \lambda \rho(r+1)$$

Como

$$\sum_{j=1}^Q \rho(r+j) = 1 \quad (\text{III.16})$$

a solução do sistema (III.15) é

$$\rho(r+j) = \frac{1}{Q}, \quad j=1, 2, \dots, Q \quad (\text{III.17})$$

C.Q.D.

Considere agora o sistema nos instantes t e $t-\tau$. Nenhum pedido emitido depois de $t-\tau$ chegou no estoque até o instante t e, por outro lado, todos os pedidos emitidos antes de $t-\tau$ terão sido atendidos antes do instante t . Logo, se o nível do estoque em $t-\tau$ é $r+j$ a probabilidade que o saldo do estoque seja x em t é a probabilidade de terem ocorrido $r+j-x$ demandas durante o tempo de entrega τ . Esta probabilidade é dada por $p(r+j-x, \lambda\tau)$. Logo,

$$\Psi(x) = \frac{1}{Q} \sum_{j=1}^Q p(r+j-x, \lambda\tau) \quad (\text{III.18})$$

segue-se então que:

$$P_0 = \sum_{x=-\infty}^0 \Psi(x) = 1 - \sum_{x=1}^{r+Q} \Psi(x) \quad (\text{III.19})$$

Por (III.11) e (III.12)

$$E(r,Q) = \lambda \left(1 - \sum_{x=1}^{r+Q} \Psi(x) \right) \quad (\text{III.20})$$

$$B(r,Q) = \sum_{x=-\infty}^0 |x| \sum_{j=1}^Q p(r+j-x, \lambda\tau) \quad (\text{III.21})$$

$$\text{Logo } E(C3) = \Pi E(r,Q) + \hat{\Pi} B(r,Q) \quad (\text{III.22})$$

onde $E(r,Q)$ e $B(r,Q)$ são dados acima.

3.3 - Custos de Posse

O custo anual é dado por:

$$C2 = IC\bar{x} \quad (\text{III.23})$$

onde \bar{x} é o número de unidades em estoque que, como no caso anterior, se iguala numericamente ao valor médio do estoque em mãos.

Seja

$$D(r, Q) = E(\bar{x}) \quad (\text{III.24})$$

Logo,

$$D(r, Q) = \sum_{\bar{x}=0}^{r+Q} \bar{x} \Psi(\bar{x}) \quad (\text{III.25})$$

Uma outra forma, mais intuitiva, de calcular $D(r, Q)$ é obtida a partir da definição de NÍVEL DE ESTOQUE dada na seção 2. O valor esperado do nível do estoque é dado pelo valor esperado do estoque em mãos mais o valor esperado do número de unidades encomendados mas não entregues menos o valor esperado do número de unidades na fila.

$$E\{\text{Nível}\} = E\{\text{em mãos}\} + E\left\{\begin{array}{l} \text{encomendas} \\ \text{mas} \\ \text{não entregues} \end{array}\right\} - E\left\{\begin{array}{l} \text{unidades} \\ \text{na} \\ \text{fila} \end{array}\right\} \quad (\text{III.26})$$

O valor esperado do nível de estoques é dado por

$$E\{\text{Nível}\} = \sum_{j=1}^Q (r+j)\rho(r+j) = \frac{Q+1}{2} + r \quad (\text{III.27})$$

O valor esperado do número de unidades encomendadas mas não entregues é dado pela diferença entre o valor esperado do nível do estoque e o valor esperado do saldo do estoque. Por (III.18) e (III.27)

$$E\left\{ \begin{array}{l} \text{unidades encomendadas} \\ \text{mas não entregues} \end{array} \right\} = \sum_{j=1}^Q \rho(r+j)(r+j) - \sum_{x=-\infty}^{r+Q} \frac{x}{Q} \sum_{j=1}^Q \rho(r+j - x, \lambda\tau) \quad (\text{III.28})$$

Logo, por (III.26), (III.27), (III.28),

$$D(r,Q) = E\left\{ \begin{array}{l} \text{estoque em} \\ \text{mãos} \end{array} \right\} = \frac{Q+1}{2} + r - \frac{Q+1}{2} - r + \sum_{x=-\infty}^{r+Q} \frac{x}{Q} \sum_{j=1}^Q \rho(r+j - x, \lambda\tau) + B(r,Q) = \sum_{x=-\infty}^{r+Q} \frac{x}{Q} \sum_{j=1}^Q \rho(r+j-x, \lambda\tau) + B(r,Q) \quad (\text{III.29})$$

onde

$$\sum_{x=-\infty}^{r+Q} \frac{x}{Q} \sum_{j=1}^Q \rho(r+j-x, \lambda\tau) = \frac{1}{Q} \sum_{j=1}^Q \sum_{x=-\infty}^{r+Q} xp(r+j-x, \lambda\tau) = \quad (\text{III.30})$$

fazendo $v = r+j-x$

$$= \frac{1}{Q} \sum_{j=1}^Q (r+j-v) p(v, \lambda\tau) = \frac{Q+1}{2} + r - \lambda\tau \quad (\text{III.31})$$

Substituindo em (III.29)

$$D(r,Q) = \frac{Q+1}{2} + r - \lambda\tau + B(r,Q) \quad (\text{III.32})$$

Então,

$$E(C2) = ICD(r,Q) = IC\left(\frac{Q+1}{2} + r - \lambda\tau + B(r,Q)\right) \quad (\text{III.33})$$

3.4 - Função de Custo

Por (III.7), (III.22) e (III.33)

$$K = \frac{\lambda A}{Q} + C + IC\left(\frac{Q+1}{2} + r - \lambda\tau\right) + \Pi_0 E(r, Q) + \hat{\Pi} + IC) B(r, Q) \quad (\text{III.34})$$

onde $E(r, Q)$ e $B(r, Q)$ são dados por (III.20) e (III.21) respectivamente.

Uma vez estabelecida a função de custo de termina-se Q^* e r^* , os valores de r e Q que minimizam o custo mé dio anual, dado por (III.34).

4. MODELO DE REVISÃO PERIÓDICA $\langle R, T \rangle$

Seja um estoque com as seguintes caracte-
rísticas:

- . O nível do estoque é verificado a cada T unidades de tempo quando então, é emitido um pedido de tamanho suficiente para restabelecer o nível R do estoque que, juntamente com T , são as va riáveis de decisão do problema.
- . Como no modelo de revisão contínua, sempre que ocorrer uma de manda por um item cujo estoque em mãos é nulo, este será colo cado em uma fila de espera.

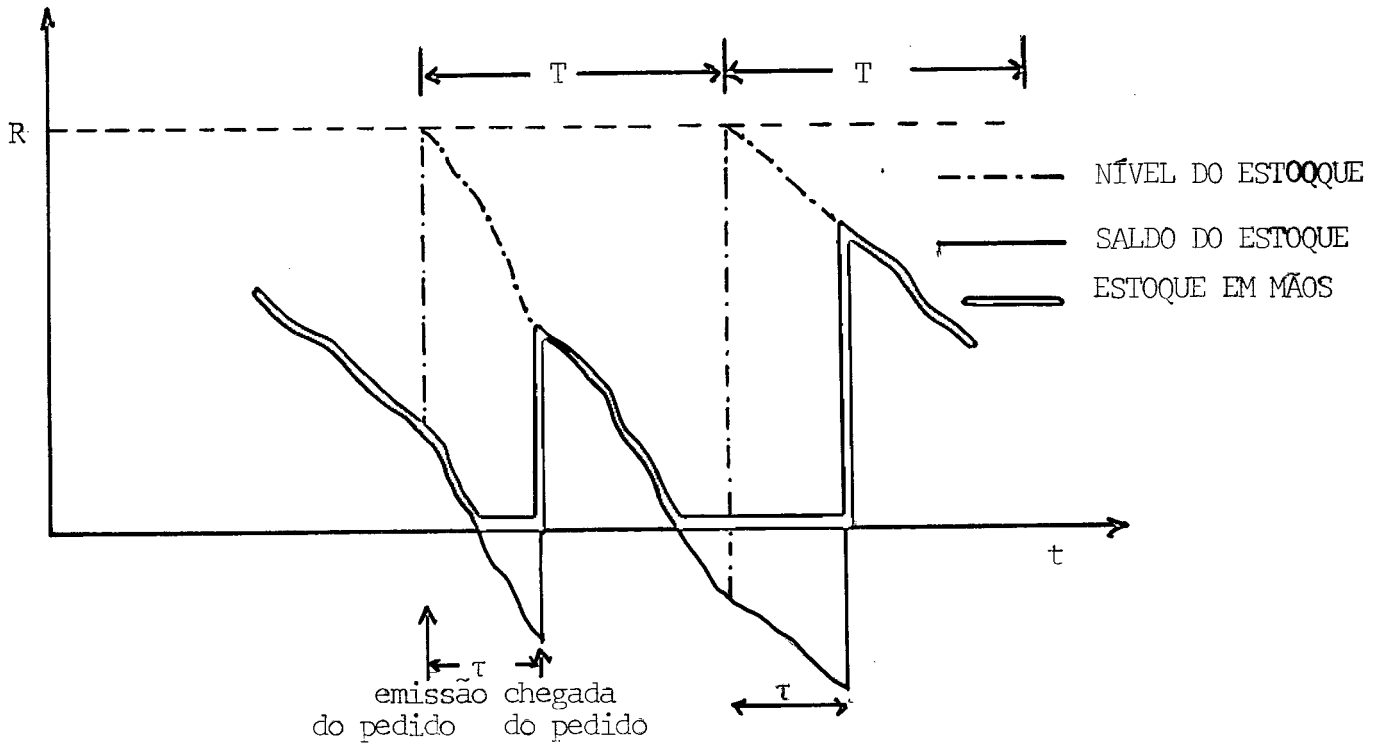


FIGURA III.2

4.1 - Custo de Revisão

Neste modelo devemos considerar mais uma componente na função de custo de forma a contabilizar os gastos associados à revisão do nível do estoque.

Seja J o custo desta revisão, independente de R e T .

Como o número médio de períodos por ano é $1/T$, $\overline{C_4}$, o valor esperado do custo anual associado à revisão do estoque, é dado por:

$$\overline{C_4} = J/T \quad (\text{III.35})$$

4.2 - Custo de Abastecimento

A cada pedido está associado um custo $A + CQ$ onde Q é uma variável aleatória que representa o tamanho do pedido. Assim, o custo anual é dado por:

$$C1 = n (A+CQ) \quad (\text{III.36})$$

onde n é o número de pedidos no ano.

Seja P_{or} a probabilidade de emissão de um pedido ao final de um período. Então, é evidente que P_{or} é a probabilidade de ter havido pelo menos uma demanda no período, isto é:

$$P_{or} = p(x \neq 0, \lambda T) = 1 - p(0, \lambda T) = 1 - e^{-\lambda T} \quad (\text{III.37})$$

O valor esperado de n é dado por:

$$E(n) = \frac{1 - e^{-\lambda T}}{T} \quad (\text{III.38})$$

Por outro lado, o valor esperado do tamanho do pedido vezes $E(n)$ deverá se igualar a λ já que toda a demanda será eventualmente atendida. Assim,

$$E(Q) \cdot E(n) = \lambda \quad (\text{III.39})$$

Então

$$E(C1) = E(n)A + E(Q)E(n)C = \frac{1 - e^{-\lambda T}}{T} \cdot A + \lambda C \quad (\text{III.40})$$

4.3 - Custos por Falta de Estoques

Analogamente ao modelo de revisão contínua,

$$\bar{C}_3 = \Pi_0 E(R,T) + \hat{\Pi} B(R,T) \quad (\text{III.41})$$

onde

$E(R,T)$ = valor esperado do número de unidades que entraram na fila ao longo de um ano dados R e T .

$B(R,T)$ = valor esperado do número de unidades na fila dados R e T .

Consideremos que uma revisão ocorreu em t . Seja x o número de unidades que entraram na fila entre $t + \tau$ e $t+T+\tau$. A razão de considerar este intervalo é que todos os pedidos efetuados antes de t foram entregues ao estoque até $t+\tau$ ao passo que nenhum dos pedidos emitidos depois de t chegou ao es que antes de $t+T+\tau$.

Logo, o valor esperado de x pode ser calculado pela diferença dos valores esperados de unidades na fila em $t+T+\tau$ e $t+\tau$ multiplicado pelo número de períodos $1/T$.

Se $E_1(R, t+\xi)$ é o valor esperado do número de unidades na fila em $t+\xi$ onde $\tau < \xi < T+\tau$. Então,

$$E_1(R, t+\xi) = \sum_{x=R}^{\infty} (x-R) p(x, \lambda \xi) \quad (\text{III.42})$$

$$E(R,T) = (E_1(R_1 t + T + \tau) - E_1(R_1 t + \tau)) / T \quad (\text{III.43})$$

$$= \frac{\sum_{x=R}^{\infty} (x-R) \left[p(x_1 \lambda(\tau+T)) - p(x_1 \lambda(\tau)) \right]}{T}$$

$$= \frac{1}{T} \sum_{x=R}^{\infty} \frac{(x-R) \lambda^x}{x_1} \left[e^{-\lambda(\tau+T)} - e^{-\tau} \right]$$

Para calcular $B(R,T)$ basta calcular o valor esperado do número de unidades na fila. Logo,

$$B(R,T) = \frac{\int_{\tau}^{\tau+T} E_1(R_1 t + \xi) d\xi}{T} \quad (\text{III.44})$$

Substituindo (III.42) em (III.44), obtemos:

$$B(R,T) = \frac{1}{T} \int_{\tau}^{\tau+T} \sum_{x=R}^{\infty} (x-R) p(x, \lambda \xi) d\xi \quad (\text{III.45})$$

4.4 - Custo de Posse

O custo relativo a um ano é dado por

$$C3 = IC\bar{x} \quad (\text{III.46})$$

onde \bar{x} é o valor médio do estoque em mãos

Seja

$$D(R,T) = E(\bar{x}) \quad (\text{III.47})$$

Pela definição da seção 2 de saldo do estoque,

$$D(R,T) = E \left\{ \begin{array}{l} \text{saldo do} \\ \text{estoque} \end{array} \right\} + E \left\{ \begin{array}{l} \text{número de unidades} \\ \text{na fila} \end{array} \right\} \quad (\text{III.48})$$

Utilizando raciocínio análogo àquele usado para definir $E_1(R_1 t + \xi)$ na expressão (III.42) e $B(R,T)$ na expressão (III.45),

$$E \left\{ \begin{array}{l} \text{saldo do} \\ \text{estoque} \end{array} \right\} = \frac{1}{T} \int_{\tau}^{T+\tau} \sum_{x=0}^{\infty} (R-x) p(x, \lambda \xi) d\xi \quad (\text{III.49})$$

$$= \frac{\int_{\tau}^{T+\tau} \left[R \sum_{x=0}^{\infty} p(x, \lambda \xi) - \sum_{x=0}^{\infty} x p(x, \lambda \xi) \right] d\xi}{T} =$$

$$= \frac{\int_{\tau}^{T+\tau} \left[R - \lambda \xi \right] d\xi}{T} = \frac{RT - \lambda (T^2 + 2\tau T)/2}{T}$$

$$= \left(R - \frac{\lambda T}{2} + \lambda \tau \right) \quad (\text{III.50})$$

Por (III.48) e (III.50),

$$D(R,T) = \left(R - \frac{\lambda T}{2} + \lambda \tau \right) + B(R,T) \quad (\text{III.51})$$

Então:

$$E(C3) = IC D(R,T) = IC(R - \frac{\lambda T}{2} + \lambda \tau) + IC B(R,T) \quad (III.52)$$

4.5 - Função de Custo

Por (III.35), (III.40), (III.41) e (III.52)

$$K = E(\bar{K}) = \frac{I}{T} + \frac{1+C^{-\lambda T}}{T} \cdot A + \lambda C + \Pi_0 E(R,T) + (\hat{\Pi} + IC) B(R,T) + \\ + IC(R - \frac{\lambda T}{2} - \lambda \tau) \quad (III.53)$$

onde $E(R,T)$ e $B(R,T)$ são dados por (III.43) e (III.44) respectivamente.

Resta agora aplicar um algoritmo de minimização em (III.53) de forma a determinar quais os valores de R e T que minimizam o custo.

5. TEMPOS DE ENTREGA ESTOCÁSTICO

Nos modelos apresentados até agora, somente flutuações na demanda foram consideradas. No entanto, variações no tempo de entrega também são observadas na prática. Como podemos constatar nos modelos aqui apresentados, a demanda durante o tempo de entrega é de importância vital em praticamente qualquer modelo de estoque. Conseqüentemente, variações no tempo de entrega alteram diretamente o comportamento do modelo.

Além das dificuldades práticas que normalmente se apresentam na obtenção de dados referentes a essas variações, uma série de dificuldades teóricas tornam o problema de difícil tratamento analítico.

Segue-se uma breve discussão sobre estas dificuldades para as duas classes de modelos de estoque.

5.1 - Revisão Contínua

A formulação do modelo apresentado na seção anterior, com demandas POISSON e tempo de entrega constante, trazia em si a possibilidade de mais de um pedido estar pendente. Em outras palavras, após a emissão de um pedido e antes que este seja entregue, o ponto de pedido pode ser novamente atingido inúmeras vezes com probabilidade positiva. Logo, nestes modelos nunca podemos garantir que um pedido não seja emitido antes da entrega do pedido anterior. No máximo, podemos afirmar que a probabilidade disto ocorrer é pequena.

Quando no modelo é admitida a possibilidade de em um dado instante observar-se mais de uma demanda pendente, encontramos sérias dificuldades em representar os tempos de espera associados à emissão de cada um dos pedidos como variáveis aleatórias. Por uma lado, seria bastante conveniente que os tempos de espera fossem independentes ou seja, o tempo de espera associado à emissão de um pedido não é influenciado pela emissão de outro pedido. Ao admitirmos a independência dos tempos de entrega, estaremos implicitamente admitindo que os pedidos não necessariamente serão atendidos na mesma ordem que foram emitidos

como mostra a figura abaixo.

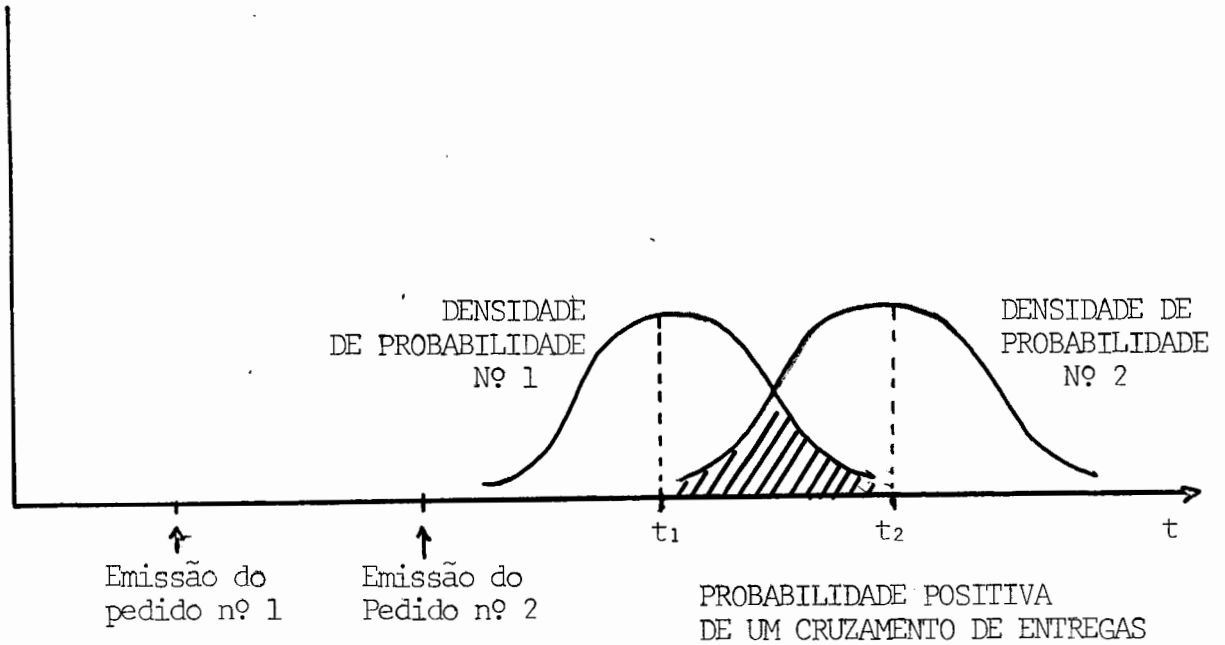


FIGURA III.3

Na prática, no entanto, o que normalmente se observa é que os pedidos são entregues na mesma ordem em que foram emitidos o que é incompatível com a hipótese de independência.

Considerar a dependência entre os tempos de entrega associados ao diferentes pedidos não parece ser uma tarefa fácil. Até onde podemos afirmar, não há nada na literatura específica que considere esta interdependência.

Em algumas situações reais, o tempo médio

entre dois pedidos é bastante grande. Neste caso, podemos considerar simultaneamente que os tempos de entrega são variáveis aleatórias independentes e que as entregas seguirão a mesma ordem de emissão dos pedidos.

Logo, sob estas condições, para incluir a variação o tempo de entrega de REVISÃO CONTÍNUA, basta substituir a distribuição da demanda no tempo de entrega pela sua distribuição marginal. Ou seja, no lugar de $p(x, \lambda \tau)$ utilizaremos $h(x)$ onde

$$h(x) = \int_0^{\infty} p(x, \lambda \tau) g(\tau) d\tau \quad (\text{III.54})$$

onde $g(\tau)$ é a densidade de probabilidade do tempo de entrega.

Pode-se afirmar intuitivamente que os modelos que levam em conta as flutuações aleatórias do tempo de espera apresentam níveis de estoque mais elevados do que aqueles estabelecidos nos modelos com tempo de entrega constante e esta elevação será tanto maior quanto maior for a dispersão da distribuição do tempo de entrega.

5.2 - Revisão Periódica

Nos modelos de revisão periódica podemos tratar rigorosamente as variações aleatórias no tempo de entrega. Como a emissão dos pedidos se dá, no mínimo, à cada T unidades de tempo, podemos considerar simultaneamente que os tempos de entre

ga associados ã pedidos emitidos em t e t+T, respectivamente. Se g(τ) é a densidade do tempo de entrega, o valor esperado do número de unidades que entraram na fila entre t e t+T é dado por:

$$\int_{\tau_{\min}}^{\tau_{\max}} \int_{\tau_{\min}}^{\tau_{\max}} \sum_{x=R}^{\infty} (x-R) \left[p(x, \lambda(\tau_2+T)) - p(x, \lambda(\tau_1)) \right] g(\tau_2) g(\tau_1) d\tau_2 d\tau_1 \quad (\text{III.55})$$

onde τ_{\min} e τ_{\max} são os limites inferior e superior de τ . Se $\tau_{\max} - \tau_{\min} \leq T$, o tratamento será rigoroso. Caso contrário, será apenas aproximado. Logo, o valor esperado do número de unidades que entraram na fila ao longo de um ano é dado por:

$$E(R, T) = \frac{1}{T} \sum_{x=R}^{\infty} (x-R) \left\{ h(x, \tau+T) - h(x, \tau) \right\} \quad (\text{III.56})$$

onde

$$h(x, t) = \int_{\tau_{\min}}^{\tau_{\max}} p(x, \lambda t) g(t) dt \quad (\text{III.57})$$

Analogamente, o valor esperado o número de unidades.ano na fila é dado por:

$$B(R, T) = \frac{1}{T} \int_{\tau_{\min}}^{\tau_{\max}} \int_{\tau_{\min}}^{\tau_{\max}} \int_{\tau_1}^{\tau_2+T} \sum_{x=R}^{\infty} (x-R) p(x, \lambda \xi) g(\tau_1) g(\tau_2) d\xi d\tau_1 d\tau_2 \quad (\text{III.58})$$

Assim, o modelo $\langle R, T \rangle$ apresentado pode ser rigorosamente adaptado para levar em conta flutuações aleatórias nos tempos de entrega.

IV. CONTROLE DE ESTOQUES DE ITENS DE ALTO CUSTO E BAIXA DEMANDA

IV. CONTROLE DE ESTOQUES DE ITENS DE ALTO CUSTO E BAIXA DEMANDA

Conforme já mencionamos anteriormente a formulação de uma política de estoques está, em última análise, fundamentada em duas questões:

- . Quando efetuar um pedido
- . Quanto pedir

Têm-se verificado [TAVARES⁶, J.D. CROSTON⁷, JOHN MUCKTADT⁸] que na maioria dos sistemas de estoque de larga escala e, em especial, em estoques de peças de reposição, a proporção de itens que apresentam uma baixa taxa de demanda é bastante elevada. Verifica-se ainda que dentre estes itens encontram-se aqueles cujo preço unitário e, em alguns casos, o custo de manutenção são extremamente elevados.

Para esta classe de itens, a política ótima consiste em manter o nível do estoque constante. Para isto, um pedido é emitido sempre que é observada uma demanda ou, para os modelos de revisão periódica, ao final do período em que foi observada a demanda. Esta política de estoque então é caracterizada por uma única variável de decisão, qual seja, o nível de refe
rência s do estoque.

A constatação de que uma parte significativa dos investimentos em estoque está destinada à esta classe de itens tem motivado crescente interesse no desenvolvimento de modelos específicos tanto de controle quanto de previsão de demanda.

Neste capítulo apresentaremos um estudo mais detalhado do modelo probabilístico da demanda e, a seguir, alguns modelos de otimização para determinar s .

1. MODELO PROBABILÍSTICO DA DEMANDA

Nos modelos estocásticos $\langle r, Q \rangle$ e $\langle R, T \rangle$ apresentados no capítulo anterior, a demanda era descrita por um processo POISSON. Nesta seção, apresentaremos um processo de características mais gerais que mantém as principais características do processo de POISSON.

Um processo de POISSON é caracterizado pela ocorrência de demandas unitárias com o tempo entre elas distribuído exponencialmente.

Um processo POISSON-COMPOSTO é uma extensão natural deste conceito onde as demandas ocorrem não mais isoladamente mas em lotes de tamanho aleatório mantendo-se o tempo entre as observações distribuído exponencialmente.

Assim, um processo POISSON-COMPOSTO pode ser encarado como uma série de usuários com chegadas POISSON que demandam, cada um, quantidades positivas de um item. Estas quantidades são independente e indenticamente distribuídas segundo f_j onde f_j é a probabilidade do tamanho da demanda associada à uma chegada qualquer ser j .

A figura abaixo ilustra graficamente a di

ferença entre um processo de POISSON e um processo POISSON-COMPOSTO.

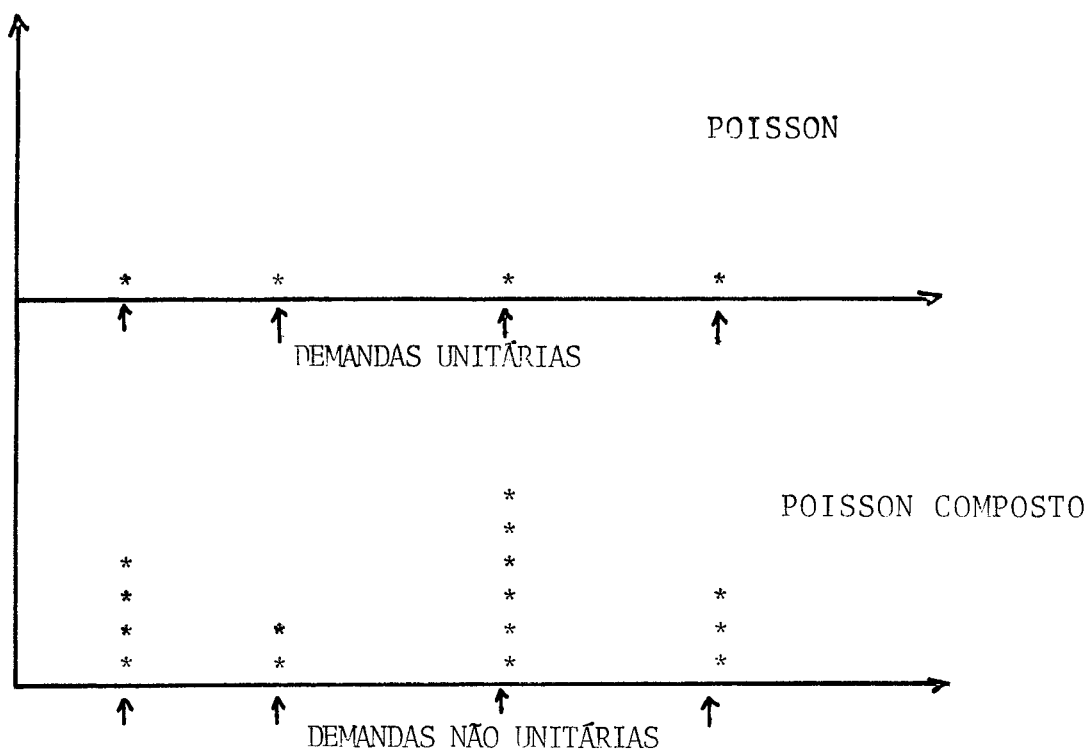


FIGURA IV.1

1.1 - Definição de um Processo POISSON-COMPOSTO

Um processo estocástico pode ser definido, segundo PARZEN⁹, como uma família de variáveis aleatórias $\{X(t), t\}$ indexadas por um parâmetro $t \in T$, onde T é um conjunto de índices.

Um processo estocástico inteiro $\{N(t), t \geq 0\}$ onde $N(t) \in I, \forall t \geq 0$ é um processo de POISSON com parâmetro λ se as seguintes hipóteses são satisfeitas:

- (i) As variáveis $N(s)$ e $[N(t+s)-N(t)]$ são independentes e igualmente distribuídas para qualquer $t > s \geq 0$ ou seja, a distribuição do número de observações em um dado intervalo depende apenas do seu comprimento e, ainda, as distribuições do número de observações em intervalos não sobrepostos constituem variáveis aleatórias independentes.
- (ii) Para quaisquer valores de s e t tais que $t > s \geq 0$, o número de observações no intervalo (s, t) tem distribuição com média $\lambda(t-s)$. Assim, para $k=0,1,2,\dots$

$$P [N(t) - N(s) = k] = \frac{e^{-\lambda(t-s)} [\lambda(t-s)]^k}{k!} \quad (\text{IV.1})$$

para o qual

$$E [N(t) - N(s)] = \lambda(t-s)$$

$$\text{Var} [N(t) - N(s)] = \lambda(t-s)$$

Um processo estocástico $\{x(t), t \geq 0\}$ é chamado PROCESSO POISSON COMPOSTO se pode ser expresso por

$$x(t) = \sum_{y=1}^{N(t)} W_y \quad \text{para } t \geq 0 \quad (\text{IV.2})$$

onde $\{N(t), t \geq 0\}$ é um processo de POISSON e $\{W_y, y=1,2,\dots\}$ é

uma família de variáveis aleatórias independentes e identicamente distribuídas. Supõe-se, ainda, que o processo $\{N(t), t \geq 0\}$ e a sequência $\{W_y\}$ são independentes.

Assim, um processo POISSON COMPOSTO é a soma de um número aleatório de variáveis aleatórias independente e identicamente distribuídas.

1.2 - Propriedades de um Processo POISSON-COMPOSTO

Dado o objetivo deste trabalho e por motivo de maior clareza, vamos analisar as propriedades de um processo POISSON-COMPOSTO relacionando-o com um problema de estoque.

Suponha usuários chegando segundo um processo de POISSON, ou seja, com o tempo entre as chegadas distribuído exponencialmente e cada usuário podendo requisitar uma quantidade w , inteira e positiva, de unidades do estoque, quantidades estas independente e identicamente distribuídas segundo f_w .

Desta forma, o total de unidades requisitadas num dado período de tempo tem distribuição POISSON-COMPOSTO, já que é a soma de um número aleatório de termos (o número de usuários que tem distribuição POISSON) distribuídos independentemente segundo f_w (a quantidade requisitada por cada usuário). Posteriormente, será analisado o caso em que cada usuário pode requisitar uma quantidade não-negativa de unidades e verificaremos que a suposição acima ($w > 0$) não implica, em absoluto em perda de generalidade.

Logo, se os usuários chegam à uma taxa λ , a probabilidade de x unidades serem requisitadas durante um período t de tempo é dada por:

$$p(x) = \sum_{y=0}^{\infty} \frac{(\lambda t)^y e^{-\lambda t}}{y!} f^{y*}(x) \quad x=0,1,\dots, \quad (IV.3)$$

$\lambda > 0$

onde f^{y*} é a probabilidade de y usuários requisitarem um total de x unidades

Note-se que (IV.3) se reduz à uma distribuição de POISSON quando cada usuário só pode requisitar uma unidade, ou seja, quando $f_w = 1$ para $w=1$ e $f_w = 0$ para $w \neq 1$.

Como cada usuário, por hipótese, deve requisitar pelo menos uma unidade e f_w é definido somente para valores discretos e positivos de w temos:

$$f^{y*}(x) = 0 \quad \text{para } y > x \quad (IV.4)$$

Então, podemos escrever (IV.3) na forma abaixo.

$$p(x) = \sum_{y=0}^x \frac{(\lambda t)^y e^{-\lambda t}}{y!} f^{y*}(x)$$

1.3 - Três Propriedades Importantes

- (i) PARZEN⁹ mostra que qualquer processo POISSON COMPOSTO tem uma função característica:

$$\psi_{x(t)}(u) = E(e^{iux(t)}) = \sum_{x=0}^{\infty} p(x) e^{iux} = e^{\lambda t(F(u)-1)} \quad (\text{IV.5})$$

onde $F(u)$ é a função característica de $\{f_w\}$.

Quando t é fixado, a equação (IV.5) nos fornece a função característica de uma distribuição POISSON COMPOSTA.

Prova-se(FELLER⁴) que para qualquer variável aleatória Y temos:

$$E(Y) = \left. \frac{\partial \psi_Y(u)}{\partial u} \right|_{u=0} (-i) \quad \text{e} \quad E(Y^2) = \left. \frac{\partial^2 \psi_Y(u)}{\partial u^2} \right|_{u=0} (-1) \quad (\text{IV.6})$$

Então,

como $F(0)=1$ e $F'(0)=i E(w)$ onde w é distribuído segundo f_w e se $m=E(x(t))$, temos:

$$m = (-i)\lambda t(i)E(w) = \lambda tE(w)$$

$$\therefore m = \lambda tE(w) \quad (\text{IV.7})$$

Por (IV.6),

$$E(x(t)^2) = \lambda^2 t^2 E^2(w) + \lambda t E(w^2)$$

então,

$$\text{Var} [x(t)] = E(x(t)^2) - [E(x(t))]^2 = \lambda t E(w^2) \quad (\text{IV.8})$$

Um dado que usaremos adiante é a razão da variância para a média. Por (IV.7) e (IV.8),

$$q = \frac{E(w^2)}{E(w)} \tag{IV.9}$$

$$= \frac{f_1 + 4 f_2 + 9 f_3 + \dots}{f_1 + 2 f_2 + 3 f_3 + \dots} \geq 1$$

Logo,

"Qualquer distribuição POISSON COMPOSTO com distribuição composta discreta, e positiva tem uma variância que iguala ou excede a sua média".

Note-se que quando $q=1$, temos uma distribuição de POISSON pois $f_w=0$ para $w \neq 1$.

(ii) A função característica de uma soma de variáveis independentes é igual ao produto de suas funções características, sendo a função característica de uma distribuição POISSON COMPOSTO para um período $t_1 + t_2$ dada por:

$$\begin{aligned} \psi_{X(t_1+t_2)}(u) &= e^{\lambda(t_1+t_2)(F(u)-1)} = e^{\lambda t_1(F(u)-1)} \cdot e^{\lambda t_2(F(u)-1)} = \\ &= \psi_{X(t_1)}(u) \cdot \psi_{X(t_2)}(u) \end{aligned}$$

Logo, as distribuições POISSON COMPOSTO são distribuições sem memória isto é, o número de observações num intervalo de tempo é independente do número de observações de qualquer outro período de tempo não sobreposto.

"As distribuições POISSON COMPOSTO formam a classe mais geral de distribuições discretas sem memória."

(iii) Somemos dois processos POISSON COMPOSTO que ocorram simultaneamente. O primeiro e o segundo processo tem, respectivamente taxas de chegada de usuários λ_1 e λ_2 , distribuições compostas $\{ f_x^1 \}$ e $\{ f_x^2 \}$ e funções características F_1 e F_2 . Usando novamente o fato que a função característica de uma soma de variáveis independentes, é o produto das funções características destas variáveis temos da eq.(IV.7).

$$\begin{aligned} \psi_{X(t)}(u) &= e^{\lambda_1 t(F_1(u)-1)} \cdot e^{\lambda_2 t(F_2(u)-1)} = \\ &= e^{-(\lambda_1 + \lambda_2)t [1 - F(u)]} \end{aligned} \quad (IV.10)$$

onde

$$F(u) = \frac{\lambda_1}{\lambda_1 + \lambda_2} F_1(u) + \frac{\lambda_2}{\lambda_1 + \lambda_2} F_2(u)$$

a expressão é facilmente generalizável para N processos simultâneos.

"Logo, a soma de N processos POISSON COMPOSTO com taxa de chegada dos usuários iguais $\lambda_1, \lambda_2, \dots, \lambda_n$ é equivalente a um processo POISSON COMPOSTO cuja taxa é:

$$\lambda = \sum_{i=1}^n \lambda_i \quad (\text{IV.11})$$

e cuja distribuição composta tem função característica".

$$F(u) = \frac{1}{\lambda} \left(\sum_{i=1}^N \lambda_i F(u) \right) \quad (\text{IV.12})$$

Vamos agora verificar que a imposição inicial de que a quantidade requisitada por cada usuário seja positiva, isto é, que $f_0 = 0$, não implica em nenhuma restrição ao conjunto de processo POISSON-COMPOSTO.

Considere uma distribuição composta $\{ g_x \}$ com $g_0 = k$ onde $0 < k < 1$, e uma taxa λ^* de chegada dos usuários. A função característica de $\{ g_x \}$ é dada por:

$$G(u) = \sum_{x=0}^{\infty} e^{iux} g_x = k + \sum_{x=1}^{\infty} e^{iux} g_x \quad (\text{IV.13})$$

Define-se $f_x = g_x / (1-k)$ para $x=1, 2, \dots$

$$G(u) = k + (1-k) \sum_{x=1}^{\infty} e^{iux} f_x = k + (1-k)F(u) \quad (\text{IV.14})$$

A eq.(IV.5) torna-se então,

$$\psi_{X(t)}(u) = e^{\lambda^* t (G(u) - 1)} = e^{\lambda^* t (1-k) [F(u) - 1]} \quad (\text{IV.15})$$

Fazendo $\lambda = \lambda * (1-k)$ define-se um novo processo POISSON-COMPOSTO com taxa de chegada λ e $f_0 = 0$ cuja função característica permanece a mesma, o que implica na igualdade dos dois conjuntos de PROCESSOS POISSON-COMPOSTO.

1.4 - Processo Geométrico-POISSON

Num processo POISSON-COMPOSTO, por hipótese, o tempo entre os usuários tem distribuição exponencial. Logo, a distribuição do tempo entre os usuários é independente do tempo entre chegadas de usuários anteriores.

Suponha agora que desejamos um PROCESSO POISSON-COMPOSTO no qual a distribuição de probabilidades do tempo entre unidades requisitadas seja independente do tempo em que unidades anteriores foram requisitadas. Note-se que cada usuário pode requisitar uma ou mais unidades do estoque, ou seja, a cada usuário corresponde um número positivo w de requisições ou ainda, $(w-1)$ intervalos nulos de tempo entre unidades requisitadas.

O que desejamos, então, é um processo POISSON-COMPOSTO no qual a probabilidade de um intervalo nulo de tempo entre unidades requisitadas seja independente da ocorrência de intervalos nulos já observados.

$$P_x = p \left(\begin{array}{l} \text{Observar-se pelo menos} \\ x \text{ intervalos nulos de} \\ \text{tempo consecutivos} \end{array} \middle/ \begin{array}{l} (x-1) \text{ intervalos} \\ \text{nulos consecuti-} \\ \text{vos já foram ob-} \\ \text{servados} \end{array} \right) = C, \text{ para } x=1,2,\dots$$

onde C é uma constante $0 < C < 1$

$$\text{Logo, } p_x = p_{x-1} = C \text{ para } x=2,3,\dots \quad (\text{IV.16})$$

$$p_x = \frac{f_{x+1} + f_{x+2} + \dots}{f_x} e \quad p_{x-1} \frac{f_x + f_{x+1} + \dots}{f_{x-1}} \quad (\text{IV.17})$$

\therefore Após alguns artifícios algébricos com (IV.16) e (IV.17) temos:

$$\frac{f_x}{f_{x-1}} = \frac{1}{1+C} \quad (\text{IV.18})$$

Fazendo $\rho = \frac{1}{1+C}$ em (IV.18) temos:

$$\frac{f_x}{f_{x-1}} = \rho \text{ para } x=2,3,\dots \quad (\text{IV.19})$$

Resolvendo (IV.19) recursivamente

$$\begin{aligned} f_2 &= \rho f_1 \\ f_3 &= \rho f_2 = \rho^2 f_1 \\ f_k &= \rho^{k-1} f_1 \end{aligned} \quad (\text{IV.20})$$

Logo, f_x tem uma distribuição geométrica:

$$\begin{aligned} f_w &= (1-\rho) \rho^{w-1}, \quad w=1,2,\dots \\ E(w) &= 1/(1-\rho) \\ E(w^2) &= 1/(1-\rho)^2 \end{aligned} \quad (\text{IV.21})$$

Como a probabilidade de um intervalo de tempo positivo entre unidades requisitadas deve também ser independente de requisições anteriores estes devem ser distribuídos exponencialmente (que num processo POISSON-COMPOSTO caracteriza justamente o tempo entre a chegada de usuários). Logo, o processo GEOMÉTRICO POISSON é um um processo POISSON COMPOSTO em que a requisição por uma unidade é independente de requisições anteriores sejam elas do mesmo lote (intervalo nulo de tempo) ou não.

Das equações (IV.3), (IV.8) e (IV.21)

$$m = \lambda t / (1 - \rho) \quad (IV.22)$$

$$q = \frac{1 + \rho}{1 - \rho}$$

Podemos concluir ainda que após a ocorrência de uma unidade requisitada, existe uma probabilidade ρ de ocorrer uma requisição simultânea e uma probabilidade $(1 - \rho)$ que se inicie um processo POISSON com taxa λ . Podemos escrever então, que a distribuição do tempo entre as requisições é dada por:

$$g(t) = \rho \delta(t) + (1 - \rho) \lambda e^{-\lambda t} \quad (IV.23)$$

onde $\delta(t)$ é a função impulso em $t=0$.

Para escrevermos a expressão da distribuição GEOMÉTRICO-POISSON, observemos que quando f_x é geométrico, $f_y^*(x)$, fixado y , tem uma distribuição binomial negativa.

$$f^{y*}(x) = C_{x-1}^{y+1} \rho^{x-y} (1-\rho)^y \quad (\text{IV.24})$$

Logo, por (IV.3) e (IV.21), para $t > 0$:

$$p(x) = \sum_{y=1}^x \frac{(\lambda t)^y e^{-\lambda t}}{y!} \cdot \frac{(x-1)!}{(y-1)!(x-y)!} \rho^{x-y} (1-\rho)^y, \quad x=1,2,3 \quad (\text{IV.25})$$

para $x=0$

$$p(x) = e^{-\lambda t}$$

$$\text{Fazendo } C_{xj} = \frac{(x-1)!}{(j-1)!(x-j)!} \rho^{x-j} (1-\rho)^j \quad (\text{IV.26})$$

Logo, (IV.25) pode ser reescrito como

$$p(x) = \sum_{y=1}^x \frac{(\lambda t)^y e^{-\lambda t}}{y!} C_{xy}, \quad x=1,2,\dots \quad (\text{IV.27})$$

$$p(x) = e^{-\lambda t}, \quad x=0$$

2. MODELOS PARA DETERMINAÇÃO DE s

Apresentamos o desenvolvimento dos modelos gerais de REVISÃO CONTÍNUA e REVISÃO PERIÓDICA quando a demanda é descrita por um PROCESSO GEOMÉTRICO-POISSON com média e variância dados por (IV.22). A distribuição de probabilidade da demanda será denotada por

$$p(x, \lambda t) = p \{ \text{ocorrerem } x \text{ demandas durante um intervalo de tempo } t \}$$

À excessão do resultado obtido na seção 2.1.3, que coincide com o obtido por VALLADARES E ALMEIDA⁶, o trabalho aqui apresentado até onde tenhamos conhecimento, não consta da literatura existente.

2.1 - Modelos de Revisão Contínua

2.1.1 - Fórmula Exata

Seja um estoque cuja política consiste em emitir um pedido sempre que observada uma demanda de forma a manter constante o nível do estoque (estoque em mãos + pedidos pendentes-unidades na fila). Qualquer demanda de tamanho maior que o estoque em mãos no instante da sua ocorrência será atendida apenas em parte. A parte excedente será colocada numa fila de espera e será atendida preferencialmente assim que houver estoque disponível.

Calculemos

$\Psi(x)$ = { probabilidade do saldo do estoque ser igual a x num instante qualquer t }.

Considere o instante $t-\tau$. Como todos os pedidos emitidos antes de $t-\tau$ deverão ser entregues até t e nenhum pedido emitido depois de $t-\tau$ terá sido entregue em t , $\Psi(x)$ se iguala à probabilidade de terem ocorrido demandas por $s-x$ unidades durante o tempo de entrega τ , isto é,

$$\Psi(x) = p(s-x, \lambda\tau) \tag{IV.28}$$

Para calcularmos

$E(s)$ = valor esperado do número de unidades que entraram na fila ao fim de um ano, dados s

Observemos que num intervalo de tempo Δt pequeno, a probabilidade de ocorrência de uma demanda por um número aleatório de unidades é dada por $\lambda \Delta t$, pois os usuários (as demandas) ocorrem segundo um processo de POISSON.

Para cada usuário, o valor esperado do número de unidades que entram na fila é dado por.

$$E(w) = \sum_{w=0}^{\infty} wp(w) \quad (\text{IV.29})$$

onde w é o número de unidades que entram na fila e $p(w)$ é a probabilidade de exatamente w unidades entrarem na fila.

Portanto, contabilizando as chegadas de usuários ao longo de um ano.

$$E(s) = \lambda \sum_{w=0}^{\infty} wp(w) \quad (\text{IV.30})$$

Resta-nos especificar $p(w)$. Para isto, observemos que a probabilidade de w unidades entrarem na fila é a probabilidade de ocorrer uma demanda por w unidades se o saldo do estoque é menor ou igual a zero ou, a probabilidade de ocorrer uma demanda por $w+x$ unidades e o estoque em mãos ser x . Ou seja, se

$p_1 = p$ { saldo do estoque $\leq e$ e demanda de tamanho w }

então,

$$p_1 = f_w \sum_{x=0}^{-\infty} p(s-x, \lambda\tau) = f_w \sum_{x=s}^{\infty} p(x, \lambda\tau) \quad (\text{IV.31})$$

E, sendo:

$p_2 = p$ { saldo do estoque = x e demanda de tamanho $w+x$, $x=1,2,..s$ }

então,

$$p_2 = \sum_{x=1}^s (p(s-x, \lambda\tau) \cdot f_{w+x}) \quad (\text{IV.32})$$

onde

$$f_w = (1-\rho) \rho^{w-1}, \quad w=1,2,\dots \quad (\text{IV.33})$$

\hat{e} a probabilidade de uma demanda ter tamanho w .

Consequentemente:

$$p(w) = p_1 + p_2 = f_w \sum_{x=s}^{\infty} p(x, \lambda\tau) + \sum_{x=1}^s p(s-x, \lambda\tau) f_{w+x} \quad (\text{IV.34})$$

e

$$E(s) = \lambda \sum_{w=1}^{\infty} w \left\{ f_w \sum_{x=s}^{\infty} p(x, \lambda\tau) + \sum_{x=1}^s f_{w+x} p(s-x, \lambda\tau) \right\} \quad (\text{IV.35})$$

Desenvolvendo

$$\begin{aligned}
 E(s) &= \lambda \sum_{w=1}^{\infty} w f_w \sum_{x=s}^{\infty} p(x, \lambda \tau) + \lambda \sum_{w=1}^{\infty} w \sum_{x=0}^{s-1} f_{w+s-x} p(x, \lambda \tau) \\
 &= \lambda \sum_{x=s}^{\infty} p(x, \lambda \tau) \cdot \underbrace{\sum_{w=1}^{\infty} w f_w}_{\frac{1}{(1-\rho)}} + \lambda \sum_{x=0}^{s-1} \sum_{w=1}^{\infty} w f_{w+s-x} p(x, \lambda \tau) \quad (\text{IV.36})
 \end{aligned}$$

Como, $f_{w+s-x} = f_w \rho^{s-x}$,

$$\begin{aligned}
 E(s) &= m \sum_{x=s}^{\infty} p(x, \lambda \tau) + \lambda \sum_{x=0}^{s-1} p(x, \lambda \tau) \rho^{s-x} \underbrace{\sum_{w=1}^{\infty} w f_w}_{\frac{1}{(1-\rho)}} \\
 &= m \sum_{x=s}^{\infty} p(x, \lambda \tau) + m \sum_{x=0}^{s-1} p(x, \lambda \tau) \rho^{s-x} \quad (\text{IV.37})
 \end{aligned}$$

Podemos observar como a expressão acima se reduz aquela encontrada quando da análise de estoques sob demanda POISSON (CAP.III, seção 3.2). O processo GEOMÉTRICO-POISSON se reduz a um processo POISSON quando $\rho=0$. Logo, como

$$m = \frac{\lambda}{1-\rho} \quad \rightarrow \text{se } \rho=0, m=\lambda \quad (\text{IV.38})$$

temos.

$$E(s) = \lambda \sum_{x=s}^{\infty} p(x, \lambda\tau) \quad (\text{IV.39})$$

Outra grandeza relevante na função de custo é:

$B(s)$ = valor esperado do número de unidades-ano na fila ou, o valor esperado do tamanho da fila.

$$B(s) = \sum_{\substack{x=-\infty \\ \vee -\infty}}^0 |x| \Psi(x) = \sum_{v=s+1}^{\infty} (v-s) p(v, \lambda\tau) \quad (\text{IV.40})$$

lembrando que $|x|$ é o tamanho da fila quando o saldo do estoque, x é negativo.

De maneira análoga, podemos calcular

$$D(s) = \sum_{x=0}^s x \Psi(x) = \sum_{x=0}^s x p(s-x, \lambda\tau) \quad (\text{IV.41})$$

Desenvolvendo,

$$\begin{aligned} D(s) &= \sum_{v=0}^s (s-v)p(v, \lambda\tau) = \sum_{v=0}^{\infty} (s-v) p(v, \lambda\tau) - \sum_{v=s+1}^{\infty} (s-v)p(v, \lambda\tau) = \\ &= s - m\tau + B(s) \end{aligned} \quad (\text{IV.42})$$

Logo, o valor esperado dos custos anuais é dado por

$$K(s) = \Pi E(s) + (IC + \hat{\Pi}) B(s) + IC(s - m\tau) \quad (IV.43)$$

observando-se que os custos de encomenda foram emitidos da função de custo por não variarem com a política adotada.

$$\text{Sejam } \Delta K(s) = K(s+1) - K(s)$$

Logo,

$$\Delta K(s) = \Pi \Delta E(s) + (IC + \hat{\Pi}) \Delta B(s) + IC \quad (IV.44)$$

onde

$$\Delta E(s) = E(s+1) - E(s) =$$

$$= m \left[-p(s, \lambda\tau) + \sum_{x=0}^{s-1} (\rho^{s+1-x} - \rho^{s-x}) p(x, \lambda\tau) + \rho p(s, \lambda\tau) \right]$$

$$= -m \left[(1-\rho) p(s, \lambda\tau) + (1-\rho) \sum_{x=0}^{s-1} \rho^{s-x} p(x, \lambda\tau) \right]$$

$$= -\lambda \sum_{x=0}^s \rho^{s-x} p(x, \lambda\tau), \quad f \neq 0 \quad (IV.45)$$

e

$$\Delta B(s) = B(s+1) - B(s) = - \sum_{x=s+1}^{\infty} p(x, \lambda\tau) \quad (IV.46)$$

Então,

$$\Delta K(s) = \left[-\lambda \sum_{x=0}^s \rho^{s-x} p(x, \lambda\tau) \right] \Pi + (IC + \hat{\Pi}) \left\{ -\sum_{x=s+1}^{\infty} p(x, \lambda\tau) \right\} + IC \quad (\text{IV.47})$$

Seja $s^* \in I^+$, o valor de s que minimiza a função $K(s)$. Logo, temos como condição necessária que:

$$\Delta K(s^*) \geq 0 \quad \text{e} \quad \Delta K(s^*-1) \leq 0 \quad (\text{IV.48})$$

Portanto, s^* é o menor valor de $s \geq 0$ tal que:

$$\Pi \lambda \sum_{x=0}^s \rho^{s-x} p(x, \lambda\tau) + (IC + \hat{\Pi}) \sum_{x=s+1}^{\infty} p(x, \lambda\tau) \leq IC \quad (\text{IV.49})$$

2.1.2 - Modelo com Pedido Especial

Vamos examinar o caso em que as demandas que não podem ser atendidas com o estoque em mãos são satisfeitas através de um "pedido especial" ao fornecedor que, à um custo adicional Π , entrega o pedido rapidamente, num tempo desprezível.

Para considerar este caso especial, basta fazer $\hat{\Pi}=0$ em (IV.49).

$$\Pi \lambda \sum_{x=0}^s \rho^{s-x} p(x, \lambda\tau) \leq IC \left(1 - \sum_{x=s+1}^{\infty} p(x, \lambda\tau) \right) \quad (\text{IV.50})$$

ou, rescrevendo,

$$\frac{\lambda \sum_{x=0}^s \rho^{s-x} p(x, \lambda \tau)}{\sum_{x=0}^s p(x, \lambda \tau)} \leq \frac{IC}{\Pi} \quad (\text{IV.51})$$

2.1.3 - Modelo Binário para Itens com Demanda Extremamente Baixa

Em estoques de peças de reposição verifica-se normalmente que grande quantidade de itens cuja demanda é extremamente baixa, da ordem de uma unidade por ano ou menos, apresentam custo bastante elevado.

Para estes itens a decisão consiste em manter ou não uma unidade em estoque, utilizando um pedido especial, a um custo adicional Π , para satisfazer uma demanda ocorrida quando o estoque em mãos for nulo como no item (2.1.2). VALLADARES E ALMEIDA⁶ obtiveram resultado semelhante ao que ora obtemos para demandas POISSON. Fazendo $s=0$ em (IV.51) , temos:

$$\lambda \leq \frac{IC}{\Pi} \quad (\text{IV.52})$$

A expressão acima nos diz que o estoque ótimo é zero caso esta condição se verifique e de uma unidade caso contrário. Este modelo foi aplicado nos estoques da LISNAVE, um estaleiro de reparos cujo investimento total em estoques é da ordem de 3 milhões de dólares com 15.000 itens. Espera-se uma economia de até 50% nos investimentos em estoque nos itens de baixa demanda. A política anteriormente adotada era de estocar pelo me

nos uma unidade destes itens.

2.2 - Modelos de Revisão Periódica

2.2.1 - Fórmula Exata

Seja um estoque cujo nível é verificado a cada T unidades de tempo e cuja política consiste em emitir um pedido após a revisão do estoque de forma a restabelecer o nível de referência s. Qualquer demanda por um item cujo estoque em mãos seja nulo, será colocada numa fila de espera e atendida preferencialmente quando houver estoque disponível.

Rescrevendo a função de custo já obtida:

$$K(s) = \frac{J}{T} + 1 - e^{-\lambda T} + \lambda E(s, T) + \lambda B(s, T) + ICD(s, T) \quad (\text{IV.53})$$

Os métodos utilizados para obter as expressões de $E(s, T)$, $B(s, T)$ e $D(s, T)$ são análogos aos métodos utilizados na análise do modelo de REVISÃO PERIÓDICA com demanda POISSON apresentados no capítulo anterior.

Por (III.42 e III.43)

$$\begin{aligned} E(s, T) &= E_1(s, T+t+\tau) - E_1(s, t+\tau) = \\ &= \frac{1}{T} \sum_{x=s}^{\infty} (x-s) [p(x, \lambda(\tau+T)) - p(x, \lambda\tau)] \quad (\text{IV.54}) \end{aligned}$$

ou, após algumas manipulações

$$E(s,T) = m - \sum_{x=0}^s (x,s) [p(x,\lambda(\tau+T)) - p(x,\lambda\tau)] \quad (\text{IV.55})$$

Por (III.45)

$$B(s,T) = \frac{1}{T} \sum_{x=s}^{\infty} (x-s) \int_{\tau}^{T+\tau} p(x,\lambda\xi) d\xi = \frac{1}{T} \sum_{x=s}^{\infty} (x-s) \Phi(x) \quad (\text{IV.56})$$

ou, após algumas manipulações:

$$B(s,T) = \frac{m}{2} (T+2\tau) - s - \frac{1}{T} \sum_{x=0}^s (x-s) \Phi(x) \quad (\text{IV.57})$$

onde

$$\begin{aligned} \Phi(x) &= \int_{\tau}^{T+\tau} p(x,\lambda\xi) d\xi = \int \left[\sum_{j=0}^x \frac{e^{-\lambda t} (\lambda t)^j}{j!} C_{xj} \right] dt = \\ &= - \sum_{j=0}^x C_{xj} \lambda^{j-1} \sum_{k=0}^j \frac{e^{-\lambda(T+\tau)} (T+\tau)^{j-k} - e^{-\lambda\tau} \tau^{j-k}}{\lambda^k (j-k)!} \end{aligned} \quad (\text{IV.58})$$

onde C_{xj} é dado por (IV.26).

Por (III.51),

$$D(s,T) = \frac{1}{T} \int_{\tau}^{T+\tau} \sum_{x=0}^{\infty} (s-x) p(x, \lambda \xi) d\xi + B(s,T)$$

$$= S - \frac{m}{2} (T+2\tau) + B(s,T) \quad (IV.59)$$

Logo, a função de custo será dada por.

$$K(s) = \frac{J}{T} + \frac{1-e^{-\lambda T}}{T} \cdot A + \Pi E(s,T) + (IC + \hat{\Pi})B(s,T) + (S - \frac{m}{2} (T+2\tau))IC \quad (IV.60)$$

onde foram excluídos os custos relativos à compra das unidades por não variarem nem com s nem com T .

$$\text{Seja } \Delta K(s) = K(s+1) - K(s) \quad (IV.61)$$

Dado T , s^* é o valor $s \geq 0$ que minimiza $K(s)$

Então, s^* é o menor valor de s para o qual $\Delta K(s) \geq 0$.

Logo, s^* é o menor valor de s para o qual

$$\Pi \Delta E(s,T) + (\hat{\Pi} + IC) \Delta B(s,T) + IC \geq 0 \quad (IV.62)$$

onde

$$\Delta E(s,T) = E(s+1,T) - E(s,T) = \frac{1}{T} \sum_{x=0}^s [p(x, \lambda(\tau+T)) - p(x, \lambda\tau)] \quad (IV.63)$$

$$\Delta B(s,T) = B(s+1,T) - B(s,T) = \frac{1}{T} \sum_{x=0}^s \phi(x) - 1 \quad (IV.64)$$

2.2.2 - Modelo com Pedido Especial

Como nos modelos de revisão contínua, vamos examinar o caso em que as demandas que não puderem ser atendidas com o estoque em mãos são satisfeitas através de um "pedido especial" que, por um custo adicional Π , é entregue em um tempo desprezível.

Como $\hat{\Pi}=0$ em (IV.61), temos que s^* é dado pelo menor $s \geq 0$ tal que

$$\Pi \Delta E(s,T) \geq -(\Delta B(s,T)+1) IC \quad (IV.65)$$

ou, de outra forma:

$$\frac{-\Delta E(s,T)}{\Delta B(s,T)+1} \leq \frac{IC}{\Pi} \quad (IV.66)$$

onde $\Delta E(s,T)$ e $\Delta B(s,T)$ são dados por (IV.64) e (IV.65).

2.2.3 - Modelo Binário para Itens com Demanda Extremamente Baixa

Apresentamos aqui uma extensão dos resultados obtidos para a decisão de armazenar uma unidade ou nenhuma quando do estudo dos modelos de revisão contínua. Como no caso anterior, basta fazer $s=0$ em (IV.67). Obtém-se então:

$$\frac{-\Delta E(0,T)}{\Delta B(0,T) + 1} \leq \frac{IC}{\Pi} \quad (\text{IV.67})$$

Por (IV.64) e (IV.65)

$$\Delta E(0,T) = \frac{e^{-\lambda(T+\tau)} - e^{-\lambda\tau}}{T} \quad (\text{IV.68})$$

$$\begin{aligned} \Delta B(0,T) &= \frac{\Phi(0)}{T} - 1 = \frac{\int_{\tau}^{\tau+T} e^{-\lambda\xi} d\xi}{T} - 1 \\ &= \frac{e^{-\lambda(T+\tau)} - e^{-\lambda\tau}}{-\lambda T} - 1 = \frac{-\Delta E(0)}{\lambda} - 1 \end{aligned} \quad (\text{IV.69})$$

Logo,

$$\frac{-\Delta E(0,T)}{-\Delta E(0,T)} \lambda \leq \frac{IC}{\Pi} \quad (\text{IV.70})$$

$$\therefore \lambda \leq \frac{IC}{\Pi} \quad (\text{IV.71})$$

Quando (IV.72) se verifica, o estoque ótimo é zero. Caso contrário, mantém-se uma unidade em estoque.

V. O MODELO BEF DE PREVISÃO APLICADO À ESTIMAÇÃO DE PARÂMETROS

V. O MODELO BEF DE PREVISÃO APLICADO À ESTIMAÇÃO DE PARÂMETROS

Como se verifica através das expressões obtidas nos capítulos anteriores, quando da análise dos modelos estocásticos e, particularmente, nos modelos para itens de alto custo e baixa demanda, uma componente de importância fundamental para a formulação de qualquer política de estoques é a descrição probabilística da demanda.

De fato, é quase impossível se pensar em controle de estoques sem, paralelamente, se pensar no problema da previsão da demanda é, mais especificamente, da DISTRIBUIÇÃO DA DEMANDA.

Neste capítulo, serão apresentados os métodos de previsão já existentes para o nosso problema, a formulação geral do método BEF (BAYESIAN ENTROPY FORECASTING) de SOUZA¹⁰ e sua aplicação na estimação da demanda de itens de demanda baixa e alto custo (SOUZA¹¹).

1. NOÇÃO DE INFERÊNCIA BAYESIANA

1.1 - Introdução

Os métodos clássicos, ou amostrais, de inferência, ao estimar os valores dos parâmetros de uma distribuição de uma dada variável aleatória, se valem unicamente de dados amostrais e fornecem como resultados uma estimativa pontual do parâmetro de interesse.

A inferência BAYESIANA difere da inferência clássica em método e objetivo:

- (i) Como dados, pode utilizar, além de valores amostrais, informações anteriores ou, até mesmo, dados subjetivos, representados na forma de uma distribuição de probabilidades — chamada DISTRIBUIÇÃO À PRIORI.
- (ii) Como resultado, fornece, ao invés de uma estimativa pontual, uma distribuição de probabilidades, que representa a incerteza que temos a respeito do valor verdadeiro do parâmetro de interesse. Esta distribuição, é chamada DISTRIBUIÇÃO POSTERIOR.
- (iii) A medida que novos dados surgem, são incorporados ao processo através de uma modificação conveniente da distribuição de probabilidades do parâmetro.

As três características acima implicam num processo dinâmico onde cada ciclo é caracterizado pela incorporação de uma nova informação à distribuição à priori resultando uma nova distribuição posterior, através da aplicação do TEOREMA DE BAYES, apresentado na próxima seção. Em cada ciclo, a distribuição à priori é representada pela distribuição posterior do ciclo anterior que, de fato, "contém" todas as informações anteriores (dados amostrais e fatores subjetivos) sobre o parâmetro de interesse.

1.2 - Teorema de BAYES

O teorema de BAYES é o teorema no qual está fundada toda a filosofia da estatística BAYESIANA.

Suponha que y seja uma observação do sistema e sua distribuição de probabilidade, $p(y/\theta)$, dependa do valor de um parâmetro θ com distribuição $p(\theta)$. Então, das propriedades das distribuições condicionais, temos que,

$$p(y/\theta).p(\theta) = p(\theta/y).p(y) \quad (V.1)$$

Logo, a distribuição condicional de θ dado y é:

$$p(\theta/y) = \frac{p(y/\theta) p(\theta)}{p(y)} \quad (V.2)$$

onde

$$p(y) \Rightarrow E \{ p(y/\theta) \} = \begin{cases} \int p(y/\theta) p(\theta) d\theta & \text{se } \theta \text{ é contínuo} \\ \sum p(y/\theta) p(\theta) & \text{se } \theta \text{ é discreto} \end{cases} \quad (V.3)$$

e a soma ou a integral é tomada sobre o conjunto de valores admissíveis de θ .

Na expressão (V.2), $p(\theta)$ descreve as informações que temos sobre θ antes de y ser observado — o que chamamos de distribuição à priori de θ . Por outro lado, $p(\theta/y)$ des-

Suponha agora que observamos y_2 , distribuído independentemente de y_1 . Logo,

$$p(\theta/y_2) \propto \ell(\theta/y_2) \ell(\theta/y_1) p(\theta) \quad (V.6)$$

ou

$$p(\theta/y_2) \propto \ell(\theta/y_2) p(\theta/y_1) \quad (V.7)$$

Comparando (V.5) e (V.7) verificamos que $p(\theta/y_1)$, a distribuição posterior de θ dado y_1 , desempenha o papel de distribuição \tilde{a} priori para a segunda observação. O processo pode ser repetido indefinidamente, a cada nova observação.

A inferência bayesiana, dadas suas características, é especialmente indicada para:

- (a) Casos em que há pouco ou nenhum dado visto sua capacidade de considerar fatores subjetivos e de "aprender" sobre o sistemas a medida que novas informações são obtidas.
- (b) Processos dinâmicos já que a distribuição do parâmetro se modifica a cada nova informação incorporada.

creve as informações anteriores sobre θ acrescidas de observação y e é a chamada DISTRIBUIÇÃO POSTERIOR de θ .

Na expressão (V.2) $p(y/\theta)$ pode ser encarado como uma função de θ e não de y . Se assim procedermos $p(y/\theta)$ é chamada FUNÇÃO DE VEROSSIMILHANÇA DE θ dado y e é denotada por $\ell(\theta/y)$. Sobre (V.2), verificamos ainda que $p(Y)$ é apenas uma constante 'normalizante', que faz com que $p(\theta/y)$ seja de fato uma distribuição de probabilidade (ou uma função densidade de probabilidade no caso contínuo). Podemos então rescrever a expressão (V.2).

$$p(\theta/y) \propto \ell(\theta/y) p(\theta) \quad (\text{V.4})$$

A função de verossimilhança desempenha um papel importante na fórmula de BAYES já que representa a informação sobre θ que está contida na observação y .

O TEOREMA DE BAYES, fornece uma formulação matemática que descreve como o conhecimento prévio a respeito de θ pode ser combinado com novos conhecimentos. De fato, o teorema nos permite atualizar a informação sobre θ a medida que novos valores de y vão sendo observados. (formulação sequencial do Teorema de BAYES).

Suponha que dispomos de uma observação inicial y_1 . Por (V.4),

$$p(\theta/y_1) \propto \ell(\theta/y_1) p(\theta) \quad (\text{V.5})$$

- (c) Problemas de decisão sob riscos, isto é, casos que uma ou outra decisão será tomada dependendo do valor do parâmetro. Como a inferência bayesiana fornece uma distribuição de probabilidades para o parâmetro (ao invés de apenas um valor) é possível ponderar as consequências de cada decisão segundo $p(\theta)$.

2. DESCRIÇÃO DO PROBLEMA

No capítulo IV foram apresentados vários modelos para a avaliação do nível de referência, s , do estoque que, como vimos, é a única decisão a ser tomada quando os itens em questão tem alto custo e baixa demanda.

Vale acrescentar que muitas das peças reparáveis de aviões, que apresentam custo bastante elevado, são demandadas apenas algumas vezes por ano numa base aérea em particular.

Nos modelos de estoque apresentados no capítulo IV se fazia presente a necessidade do conhecimento da distribuição da demanda, ou, mais precisamente, dos parâmetros da distribuição GEOMÉTRICO-POISSON a partir da qual as quantidades relevantes tais como valor esperado do estoque em mãos, valor esperado do número de unidades na fila, etc. são calculadas.

2.1 - Descrição Paramétrica do Problema

2.1.1 - Número de Demandas por Período -

$$Y \in [0, 1, 2, \dots]$$

$$Y \sim \text{POISSON}(\lambda); \lambda \in \mathbb{R}^+$$

$$p(Y=y/\lambda) = \frac{e^{-\lambda} \lambda^y}{y!} \quad (\text{V.8})$$

$$\left. \begin{aligned} E \{ Y/\lambda \} &= \lambda \\ \text{Var} \{ Y/\lambda \} &= \lambda \end{aligned} \right\} \quad (\text{V.9})$$

Y: Variável aleatória que representa o número de chegadas ao estoque. Cada chegada representa uma demanda por uma ou mais unidades.

2.1.2 - Número de Unidades por Demanda

$$Z \in [1, 2, \dots]$$

$$Z \sim \text{Geométrica}(\rho); \rho \in [0, \Delta]$$

$$p(Z=z/\rho) = (1-\rho)\rho^{z-1} \quad (\text{V.10})$$

$$\left. \begin{aligned} E \{ Z/\rho \} &= 1/(1-\rho) \\ \text{Var} \{ Z/\rho \} &= \rho(1-\rho)^2 \end{aligned} \right\} \quad (\text{V.11})$$

2.1.3 - Número de Unidades Demandadas por Período -

$$X \in [0, 1, 2, \dots]$$

Obtida através da convolução de Y e Z

$$(X/\lambda, \rho) \sim GP(\lambda, \rho), \quad \lambda \in \mathbb{R}^+ ; \rho \in [0, \Delta]$$

onde $GP(\lambda, \rho)$ é uma distribuição GEOMÉTRICO POISSON dada por:

$$p(X/\lambda, \rho) = \begin{cases} \sum_{j=1}^X \frac{\lambda^j e^{-\lambda}}{j!} \frac{(x-1)!}{(j-1)!(x-j)!} \rho^{x-j}(1-\rho)^j & \text{se } x \geq 1 \\ e^{-\lambda} & \text{, se } x = 0 \end{cases} \quad (V.12)$$

$$\left. \begin{aligned} E(X/\lambda, \rho) &= \lambda/(1-\rho) \\ \text{Var} \{ X/\lambda, \rho \} &= \lambda(1+\rho)/(1-\rho)^2 \end{aligned} \right\} \quad (V.13)$$

Observe-se que estas são as únicas informações disponíveis a cada período.

2.1.4 - Distribuição do Tempo entre Demandas -

$$t_I \in \mathbb{R}$$

Pela equação (IV.23)

$$g(t_I/\lambda, \rho) = \rho \delta(t_I) + (1-\rho) \lambda e^{-\lambda t_I} \quad (V.14)$$

$$\left. \begin{aligned} E \{ t_I / \lambda, \rho \} &= \frac{1-\rho}{\lambda} \\ \text{Var} \{ t_I / \lambda, \rho \} &= \frac{(1-\rho)^2}{\lambda^2} \end{aligned} \right\} \quad (\text{V.15})$$

2.2 - Características Particulares

Para estimarmos os parâmetros λ e ρ alguma relação deve ser estabelecida entre $E(x)$ e $\text{Var}(x)$.

De fato, têm-se verificado [BURGIN & WILD²] que é possível ajustar uma curva quadrática na forma:

$$\text{Var}(X) = q_1 E(X) + q_2 [E(X)]^2 \quad (\text{V.16})$$

Utilizando as equações (V.16) e (V.13)

$$\rho = \frac{q_1 - 1}{q_1 + 1} + \frac{q_2}{q_2 + 1} \lambda$$

Neste texto, inclusive para efeito de comparação com outros modelos como Sheerbroke¹⁴, vamos considerar que $q_2 = 0$. Logo,

$$q_1 = \frac{\text{Var}(X)}{E(X)} \quad (\text{V.17})$$

onde q_1 é um valor conhecido (geralmente avaliado a partir de dados e/ou conhecimentos anteriores). Por (V.13) e (V.17)

$$\rho = \frac{q_1 - 1}{q_1 + 1} \quad (\text{V.18})$$

Uma vez estabelecido o valor de q_1 , s3 nos resta estimar o valor de λ j3 que, por (V.18), ρ 3 calculado diretamente. Por outro lado, por (V.13), uma vez conhecido ρ basta determinar λ ou $E(X)$.

O problema pode, ent3o, ser colocado na seguinte forma:

"Conhecido q_1 , estimar o valor de λ ou θ ".

onde $\theta = E(x)$

Observemos que para $x \geq 1$, podemos escrever:

$$p(X/\lambda, \rho) = e^{-\lambda} \sum_{j=1}^x \frac{\lambda^j C_{xj}}{j!} \tag{V.19}$$

onde

$$C_{xj} = \frac{(x-1)!}{(j-1)!(x-j)!} \rho^{x-j} (1-\rho)^j \tag{V.20}$$

3 conhecido para cada x e $j \in I^+$, j3 que ρ 3 conhecido.

3. SOLUÇÕES EXISTENTES

O problema de estimat3o dos par3metros de um processo GEOM3TRICO POISSON foi pouco abordado at3 hoje talvez devido 3 sua forma anal3tica pouco trat3vel. Al3m dos m3tos que apresentamos a seguir, podemos citar uma proposta de D.J. CROSTON¹⁶ que utiliza t3cnicas de amortecimento exponencial e es

tima separadamente a taxa de chegada e o nº de demandas associado a cada chegada. Este método não será apresentado neste texto por pressupor o conhecimento de Y e Z (vide seções 2.1.1 e 2.1.2) a cada período. Os métodos que apresentamos utilizam apenas observações sobre o valor de $X \approx Y \cdot Z$.

3.1 - Método Clássico - "Item's issue rate".

Utiliza uma série histórica de demandas para t períodos de tempo:

$$\underline{x}_t = (x_1, x_2, \dots, x_t) \quad (V.21)$$

e o estimador pontual para θ é dado por:

$$\hat{\theta}_t = \frac{\sum_{i=1}^t x_i}{t}, \quad t=1, 2, \dots \quad (V.22)$$

assumindo que a demanda futura será dada por uma variação aleatória em torno deste nível.

Este enfoque produz resultados confiáveis na medida em que exista uma série histórica de demandas relativamente longa e que a demanda seja relativamente alta. O nosso problema, infelizmente, não apresenta estas características e o desempenho do modelo clássico, de fato, apresenta um baixo rendimento, como veremos nas tabelas comparativas, quando utilizado para estimar θ para itens cuja demanda é baixa e, em especial, quando a demanda é esparsa.

3.2 - Objective Bayes Approach

Sherbrooke e Feeney numa série de artigos publicados a partir de 1964 (C.G. Feeney e Sherbrooke (13), (14) e (15)) apresentaram o OBJECTIVE BAYES APPROACH demonstrando a vantagem da análise bayesiana sobre os métodos clássicos quando aplicada à estimação dos parâmetros da demanda por itens reparáveis em uma base aérea.

Como foi então reforçado, apesar do método em princípio poder ser aplicado a qualquer grupo de itens, espera-se uma vantagem mais significativa se utilizado na análise de itens de demanda esparsa, isto é, no qual são observados vários períodos com demanda nula.

3.2.1 - A Distribuição à Priori

O método assume, inicialmente, uma distribuição LOG-NORMAL para o parâmetro θ .

$$p(\theta) = \frac{1}{\theta \sqrt{2\pi} \sigma} \exp \left(\frac{-1}{2 \sigma^2} (\ln \theta - u)^2 \right) \quad (V.23)$$

cujos parâmetros σ e u são estimados a partir de dados históricos referentes ao sistema ou do conhecimento sobre sistemas similares e, eventualmente, de conhecimentos subjetivos.

3.2.2 - Estimação de σ^2 e u

Sejam m e s^2 as estimativas de σ^2 e u respectivamente. PORTILLA¹⁷ executou alguns testes utilizando várias formas de realizar tal estimativa tendo optado pelo "método

dos momentos q_1 que utiliza a expressão que relaciona o j ésimo momento de uma log-normal com os parâmetros u e σ^2 da distribuição normal correspondente.

$$E [x^j] = e^{ju} + \frac{j^2 \sigma^2}{2} \quad (V.24)$$

e a relação dos momentos do processo GEOMÉTRICO-POISSON estabelecida na seção 2.2 em (V.17).

$$E [x^2] = q_1 \theta + \theta^2 \quad (V.25)$$

De (V.24) e (V.25), obtemos

$$m = \ln \left[\frac{1}{n} \sum_{j=1}^n x_j \right] - \frac{1}{2} s^2 \quad (V.26)$$

$$s^2 = \ln \left[\frac{1}{n} \sum_{j=1}^n x_j^2 - \frac{q_1}{n} \sum_{j=1}^n x_j \right] - 2 \ln \left[\frac{1}{n} \sum_{j=1}^n x_j \right] \quad (V.27)$$

onde $\underline{x} = (x_1, x_2, \dots, x_n)$ são as observações anteriores do sistema.

3.2.3 - Discretização da Distribuição LOG-NORMAL

Uma vez avaliados os parâmetros de $p(\theta)$, define-se $p^*(\theta)$ — uma aproximação discretizada de $p(\theta)$. Esta aproximação é efetuada a partir da seleção de N valores de θ .

$$\theta_1 < \theta_2 < \dots < \theta_N \quad (V.28)$$

A distribuição aproximada é dada por:

$$p^*(\theta_i) = p\left(\frac{\theta_i + \theta_{i+1}}{2}\right), \quad i=1,2,\dots,N-1 \quad (V.29)$$

Numa tentativa de representar o melhor possível a distribuição $p(\theta)$ na parte esquerda (valores baixos de θ) sem desprezar os valores da direita (valores altos), PORTILLA¹⁷ selecionou os pontos de discretização segundo a expressão abaixo.

$$\theta_i - \theta_{i-1} = \frac{i h^i (\theta_N - \theta_1)}{N} \quad i = 2, N \quad (V.30)$$

onde $h=1$ faz com que a distância entre dois pontos consecutivos seja uma progressão aritmética. Se $h>1$ estas distâncias formam uma progressão geométrica. Em seus testes, PORTILLA¹⁷ utilizou $h=1$.

3.2.4 - Distribuição Posterior

Para calcular a distribuição posterior de θ , $q(\theta/\underline{x})$, utiliza-se a versão discreta do TEOREMA DE BAYES.

$$q(\theta_i/\underline{x}) = \frac{p(\underline{x}/\lambda_i, \rho) \cdot p^*(\theta_i)}{\sum_{i=1}^N p(\underline{x}/\lambda_i, \rho) p^*(\theta_i)} \quad (V.31)$$

onde $\lambda_i = \theta_i (1-\rho)$

e $(\underline{x}/\lambda_i, \rho) \sim$ GEOMÉTRICO POISSON (λ_i, ρ)

3.2.5 - Comentários

A distribuição discretizada é utilizada sequencialmente de forma a obter as posteriores a medida que novos valores de X são observados.

A dificuldade do método reside na perda de informação inerente à representação discreta de uma variável aleatória contínua, isto é, θ . PORTILLA¹⁷ observou a ocorrência de distribuição fortemente bimodais quando da utilização do método para demandas extremamente baixas.

4. BAYESIAN ENTROPY FORECASTING (BEF) SOUZA¹⁰

Antes de apresentar o método de estimação de λ (ou θ) propriamente dito, apresentamos a formulação geral do BAYESIAN ENTROPY FORECASTING de SOUZA.¹⁰ O leitor interessado apenas na aplicação do método, deve se dirigir à seção 4.4.

4.1 - Introdução

A utilização de um novo enfoque para métodos de previsão utilizando conceitos da estatística bayesiana, resultou nos chamados MÉTODOS BAYESIANOS DE PREVISÃO (Bayesian Forecasting Methods) de HARISSON & STEVENS¹⁸. Estes métodos apresentam algumas importantes características que os diferenciam dos modelos de previsão convencionais tais como:

- O processo não precisa ser estacionário.
- Utiliza um critério de otimalidade diferente da minimização do erro médio quadrático.

Algumas limitações, contudo, permaneceram.

- (i) A linearidade do modelo, isto é, as equações de observação e do sistema são lineares.
- (ii) Eficiência somente para processos NORMAIS.

Valendo-se do conceito de entropia de SHANNON, o BEF (BAYESIAN ENTROPY FORECASTING) de SOUZA¹⁰ propõe uma extensão dos modelos Bayesianos de previsão onde as restrições de NORMALIDADE e LINEARIDADE citadas acima não são necessárias.

4.2 - Conceitos Básicos da Teoria da Informação

Apresentamos alguns conceitos que serão utilizados mais adiante, na formulação do BEF.

4.2.1 - Entropia de Shannon - [Shannon e Weaver]¹⁹

4.2.1.1-Definição - Seja S_n o conjunto de todas a distribuição discretas de probabilidades.

$$S_n = \{ P = (p_1, p_2, \dots, p_n), p_i \geq 0, i=1, 2, \dots, n, \sum_{i=1}^n p_i = 1 \} \quad (V.32)$$

A entropia da distribuição de probabilidades $P \in S_n$ é dada por:

$$H(P) = H(p_1, p_2, \dots, p_n) = - E_P \{ \ln p \} = - \sum_{i=1}^n p_i \ln p_i \quad (V.33)$$

onde, se $p_i = 0$, $p_i \ln p_i = 0$. $H(P)$ é chamada a FUNÇÃO DE ENTROPIA.

Se encararmos P como um experimento para o qual os resultados possíveis são x_1, x_2, \dots, x_n com probabilidades respectivamente iguais a p_1, p_2, \dots, p_n , $H(P)$ mede a incerteza que temos a respeito do resultado do experimento.

4.2.1.2-Propriedades de $H(P)$

O "teorema fundamental da teoria de informação" de Shannon e Weaver¹⁹ diz, resumidamente que:

"A função de entropia (definida em 4.2.1) é a única função que satisfaz as três exigências para ser uma medida de incerteza de uma distribuição de probabilidades P ".

- (i) Continuidade em p_i
- (ii) Ser uma função monótona crescente de n se $p_i = 1/n$, $i=1, 2, \dots, n$.
- (iii) Consistência

$$H(p_1, p_2, \dots, p_n) = H(p_1 + p_2, p_3, \dots, p_n) + (p_1 + p_2) \cdot H\left(\frac{p_1}{p_1 + p_2}, \frac{p_2}{p_1 + p_2}\right) \quad (V.34)$$

isto é, se um evento é subdividido em dois outros eventos, a entropia original deve ser uma soma ponderada dos valores individuais de H.

4.2.1.3-Medida de Entropia para Variáveis

Contínuas

Se $X \in \mathcal{X}$ é uma variável aleatória contínua e $p(x)$ sua p.d.f então, a entropia de Shannon é definida como

$$H_x = -E_{p(x)} \left\{ \ln p(x) \right\} = - \int p(x) \cdot \ln x \cdot dx$$

Esta definição apresenta, no entanto, algumas dificuldades.

- (i) H_x não é invariável em relação a uma troca de variáveis isto é, se $x=g(x)$, $H_y \neq H_x$
- (ii) H_x pode ser negativa.

Definimos, então, uma medida positiva de incerteza

$$S_x = \exp \{ H_x \} \quad (V.35)$$

onde H_x é dado por (V.33).

4.2.2 - Medida de Divergência

Seja $p(x)$ a verdadeira p.d.f de uma variável aleatória contínua $X \in \mathcal{X}$ e $f(x)$ uma aproximação de $p(x)$. A medida de divergência entre as duas densidades é dada, segundo Kullback e Leiber (Kullback²⁰), por

$$I(p, f) = \int_{\mathcal{X}} \ln \left[\frac{p(x)}{f(x)} \right] \cdot p(x) dx \quad (V.36)$$

$I[p, f]$ é uma medida invariante e não negativa da "proximidade" de $f(x)$ e $p(x)$ (observe-se que se $f(x) \Delta p(x)$, $I[p, f] = 0$).

4.2.3 - Eficiência de Predição

Define-se a "eficiência de predição" de uma densidade $f(x)$, em relação a uma densidade $p(x)$ como:

$$E \{ f, p \} = \exp \{ -I(p, f) \} \quad (V.37)$$

onde $I(p, f)$ é definido em 4.2.2.

O leitor interessado deve referir-se À SOUZA¹⁰ para maiores detalhes sobre os fundamentos desta definição.

4.3 - BEF - Formulação Geral

Apresentamos primeiramente o Modelo, BAYESIANO NORMAL de Harrison & Stevens.

4.3.1 - Normal Steady State Model

Harrison & Stevens¹⁸

Sejam

y_t : observação do processo

θ_t : nível do processo

As equações do modelo linear dinâmico (abreviadamente DLM-Dynamic Linear Model) como foi proposto são dadas por:

$$y_t = \theta_t + v_t \quad - \text{equação de observação} \quad (\text{V.38})$$

$$\theta_t = \theta_{t-1} + w_t \quad - \text{equação do sistema} \quad (\text{V.39})$$

onde

$v_t \sim N(0, V)$ é o ruído da observação

$w_t \sim N(0, W)$ é o ruído do sistema

As equações de atualização são dadas pelo filtro de Kalman:

Se $D_i = (y_1, y_2, \dots, y_i)$ e

$$\theta_{t-1}/D_{t-1} \sim N(m_{t-1}, C_{t-1}) \quad (\text{V.40})$$

então,

$$\theta_{t/D_t} \sim N(m_t, C_t) \quad (V.41)$$

onde $m_t = m_{t-1} + A_t e_t$ e $C_t = A_t \cdot V$ (V.43)

sendo $e_t = y_t - \hat{y}_t$

$$A_t = R_t / (R_t + V)$$

$$R_t = C_{t-1} + W$$

} Equações
de atua-
lização
FILTRO DE
KALMAN

e \hat{y}_t é uma estimativa de y_t .

Neste modelo, é fácil ver que se

$$[\theta_{t/D_t} \sim N(m_t, C_t)]$$

$$P_{t,t} = \text{p.d.f de } (\theta_{t/D_t}) \quad (V.44)$$

$$P_{t+1,t} = \text{p.d.f de } (\theta_{t+1/D_t}) \quad (V.45)$$

pelas equações (V.39) do sistema, temos:

$$(\theta_{t+1/D_t}) \sim (m_t, C_{t+W}) \quad (C.46)$$

Se expressarmos este resultado em termos das p.d.f, verifica-se facilmente que:

$$P_{t+1,t} \propto P_{t,t} \frac{C_t}{C_{t+W}} \quad (V.47)$$

Observemos que se uma variável aleatória Z tem distribuição normal de parâmetros μ e σ^2 , então, por (V.35).

$$S_x = \sqrt{2\pi e} \sigma \quad (V.48)$$

Logo, denotando a entropia de $p_{t,t}$ por $S_{t,t}$ temos que:

$$h(t) = \frac{C_t}{C_{t+w}} = \frac{S_{t,t}^2}{S_{t,t}^2 + 2\pi e w} \quad (V.49)$$

Podemos reescrever (V.47) em termos da entropia de $p_{t,t}$

$$P_{t+1,t} \propto P_{t,t}^{h(t)} \quad (V.50)$$

onde $h(t)$ é dado por (V.49)

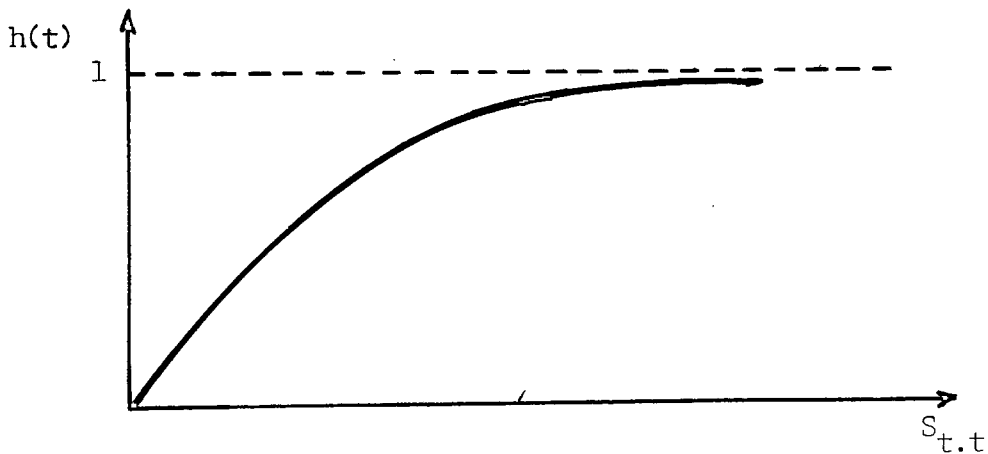


FIGURA V.1 - Ilustração gráfica de $h(t)$ x $S_{t,t}$

4.3.2 - Modelo "Steady State" Geral

4.3.2.1-Definição

Sejam

$y_t \in Y$: as observações do sistema

$\theta_t \in \Omega$: o parâmetro do processo

$D_t = \{y_1, y_2, \dots, y_t\}$ o conjunto de observações até
o instante t

Onde:

- (i) y_t é caracterizado pela sua distribuição de probabilidade condicional (y_t/θ_t) conhecida para $t=1,2,\dots$
- (ii) A distribuição posterior para (θ_t/D_t) é uma conjugada de (Y_t/θ_t) é sua p.d.f, $p_{t,t}$, tem entropia dada por $S_{t,t}$.
- (iii) A distribuição \tilde{a} priori para (θ_{t+1}/D_t) é dada por $t_{t+1,t}$ e sua entropia, $S_{t+1,t}$ é uma função de $S_{t,t}$. Além disso, $p_{t+1,t}$ é tal que a grandeza "EFICIÊNCIA DE PREDIÇÃO" definida em 4.2.3 é máxima.

Formulando o problema definido em (iii) temos:

Calcular $P_{t+1,t}$ que maximize

$$E_{P_{t+1,t}} \left\{ \ln \frac{P_{t+1,t}}{P_{t,t}} \right\} = \int_0^{\infty} P_{t+1,t} \cdot \ln \frac{P_{t+1,t}}{P_{t,t}} d\theta_{t+1} \quad (V.51)$$

sujeito a

$$\exp \left[- \int_0^{\infty} P_{t+1,t} \cdot \ln P_{t+1,t} d\theta_{t+1} \right] = S_{t+1,t} \quad (V.52)$$

$$\int_0^{\infty} P_{t+1,t} \cdot d\theta_{t+1} = 1 \quad (V.53)$$

Resolvendo-se o problema, chega-se que

$$P_{t+1,t} \propto P_{t,t} g(S_{t,t}) \quad (V.54)$$

4.3.2.2-Escolha de $g(\cdot)$

O problema acima fica completamente especificado se definirmos $g(\cdot)$. Em analogia ao modelo NORMAL apresentado na seção 4.3.1, e mais especificamente, reproduzindo as características de $h(t)$, escolheremos uma função com as seguintes propriedades:

(i) Se S_M é a entropia máxima

$$\lim_{S_{t,t} \rightarrow S_M} g(S_{t,t}) = 1$$

(ii) $g(\cdot)$ é uma função crescente e monótona de $S_{t,t}$.

(iii) $g(\cdot)$ tem satisfazer o modelo NORMAL.

Logo, por comparação com $h(t)$, escolheremos:

$$g(S_{t,t}) = \left[1 + C (S_{t,t}^{-2} - S_M^{-2}) \right]^{-1}$$

onde C é uma constante real.

Observe-se que $g(S_{t,t})$ atende às condições (i) e (ii) como é facilmente verificável. Para verificar a condição (iii) basta fazer $S_M \rightarrow \infty$ e $C = 2\pi eW$.

4.3.2.3-Conceito de Modelo Steady State

Dos resultados acima, um conceito um pouco diferente de modelo STEADY STATE pode ser enunciado, como se segue:

"Se a distribuição do parâmetro é diferenciável e unimodal, um modelo Steady-State é aquele cuja moda permanece constante na transição $(\theta_t/D_t) \rightarrow (\theta_{t+1}/D_t)$ " (SOUZA¹⁰, capítulo 4).

Desta forma, enquanto outros modelos mantêm a média constante, no BEF é a moda que se preserva.

4.3.3 - Formulação do Modelo Geral

4.3.3.1- Informação:

No instante $t-1$, as seguintes informações estão disponíveis

(i) $p(y_{t-1}/\theta_{t-1})$, conhecida em sua forma funcional para todo $t=1,2,\dots$

(ii) $P_{t-1,t-1} = p(\theta_{t-1}/D_{t-1})$ e sua entropia $S_{t-1,t-1}$, dada por (V.35)

(iii) $g(S_{i,i}) = [1+C(S_{i,i}^{-2} - S_M^{-2})]^{-1}$, $i=0,1,2,\dots$

4.3.3.2-Atualização do Parâmetro:

(i) Distribuição a priori:

$$p(\theta_t/D_{t-1}) = P_{t,t-1}$$

$$P_{t,t-1} \propto P_{t-1,t-1}^{g(S_{t-1,t-1})} \quad (\text{V.55})$$

(ii) Distribuição posterior:

$$p(\theta_t/D_t) = p_{t,t}$$

$$P_{t,t} \propto P_{t,t-1} \cdot p(Y_t/\theta_t) \quad (V.56)$$

4.3.3.3-Predição

(i) Distribuição do parâmetro:

$$p(\theta_{t+j}/D_t) = p_{t+j,t}$$

$$P_{t+j,t} \propto P_{t+j-1,t} \cdot g(S_{t+j-1,t}) \quad ; j=1,2 \dots \quad (V.57)$$

(ii) Distribuição da observação

$$p(y_{t+j}/D_t)$$

$$p(Y_{t+j}/D_t) = \int_{\Omega} p(Y_{t+j}, \theta_{t+j}/D_t) \cdot d\theta_{t+j} \quad (V.58)$$

onde

$$p(y_{t+j}, \theta_{t+j}/D_t) = p(Y_{t+j}/\theta_{t+j}) \cdot p_{t+j,t} \quad (V.59)$$

4.4 - Modelo BEF - GEOMÉTRICO - POISSON-GAMMA

Como foi visto anteriormente, com q_1 conhecido só nos resta estimar λ . Segue agora uma aplicação do BEF no qual a observação tem distribuição GEOMÉTRICO-POISSON e o parâmetro tem distribuição GAMMA.

4.4.1 - Distribuição \tilde{a} Priori: (λ)

$\lambda \sim \text{Gamma}(\alpha, \beta)$

$$p(\lambda) \propto \lambda^{\alpha-1} e^{-\beta\lambda} \quad (\text{V.60})$$

4.4.2 - Distribuição Posterior de λ ($\lambda/X=x$)

Dado $X=x$, a demanda observada, a distribuição posterior é obtida pela aplicação do TEOREMA DE BAYES (seção 1.2). Se denotarmos a p.d.f de $(\lambda/X=x)$ por $p(\lambda/X=x)$ temos

$$p(\lambda/X=x) \propto p(\lambda) \cdot p(X=x/\lambda, \rho) \quad (\text{V.61})$$

onde $p(X=x/\lambda, \rho)$ é uma distribuição GEOMÉTRICO-POISSON, descrita em 2.1.3.

Se $X=0$

$$p(\lambda/X=0) \propto \lambda^{\alpha-1} e^{-(\beta+1)\lambda} \quad (\text{V.62})$$

isto é, $(\lambda/X=0) \sim \text{GAMMA}(\alpha, \beta+1)$

Se $x \geq 1$

$$p(\lambda/X=x) \propto e^{-(\beta+1)\lambda} [\lambda^\alpha C_{x1} + \lambda^{\alpha+1} C_{x2} + \dots + \lambda^{\alpha+x-1} C_{xx}] \quad (V.63)$$

Denotando por $p(\alpha+i, \beta+1)$ a p.d.f de variáveis aleatórias com distribuição GAMMA $(\alpha+i, \beta+1)$ podemos reescrever a equação (V.45).

$$p(\lambda/X=x) = \sum_{i=1}^x C_{xi}^* p(\alpha+i, \beta+1) \quad (V.64)$$

onde

$$C_{xi}^* = \frac{C_{xi}}{\sum_{i=1}^x C_{xi}} ; \sum_{i=1}^x C_{xi}^* = 1 \quad (V.65)$$

isto é, $(\lambda/X=x \geq 1)$ é uma combinação linear convexa de x variáveis aleatórias com distribuição GAMMA de igual parâmetro de escala $(\beta+1)$ e com parâmetros de forma $(\alpha+1)$; $i=1, 2, \dots, x$

4.4.3 - Simplificação da Posterior

Feeney e Sherbroke, quando da formulação do OBJECTIVE BAYES APPROACH (Feeney e Sherbroke¹⁴) apresentado na seção (3.2), descartaram o uso da distribuição GAMMA como distribuição *à priori* para λ pois a distribuição posterior a ela associada, quando o processo é GEOMÉTRICO-POISSON, não é uma GAMMA. De fato, se (V.46) fosse utilizada no teorema de Bayes como distribuição *à priori* do período imediatamente posterior, a distribuição posterior então obtida seria uma combinação de $x-1$ GAMMAS,

onde x_1 é a demanda no período em questão.

Para superarmos esta dificuldade e tornarmos o problema analiticamente tratável, lançamos mão do "PRINCÍPIO DE MÁXIMA ENTROPIA DE JAYNES"³¹ que diz:

"A distribuição posterior simplificada para $(\lambda/X=x)$ é a distribuição de máxima entropia cujas estatísticas suficientes são iguais às correspondentes estatísticas suficientes da mistura".

A distribuição GAMMA tem como estatísticas suficientes, a média e a média geométrica. Podemos, portanto, escrever a equação da mistura na forma abaixo:

$$(\lambda/X=x \geq 1) = \sum_{i=1}^x C_{xi}^* p_i(m_i, gm_i) \quad (V.66)$$

onde

$$m = E \left\{ G [\alpha+i, \beta+1] \right\} = \frac{\alpha+i}{\beta+1} \quad (V.67)$$

gm_i = média geométrica de $G [\alpha+i, \beta+1] =$

$$= \Psi [\alpha+i] - \ln [\beta+1] \quad (V.68)$$

sendo $\Psi(.) =$ FUNÇÃO DIAGRAMA, $\Psi(u) = \frac{d \ln \Gamma(u)}{du} \quad (V.69)$

$\Gamma(\cdot)$ = FUNÇÃO GAMMA,

$$\Gamma(u) = \int_0^{\infty} t^{u-1} e^{-t} dt, \quad u > 0 \quad (\text{V.70})$$

e C_{xi}^* é dado por (V.47).

Assim, a GAMMA inicial à qual se refere JAYNES será a distribuição GAMMA (m, gm) onde

$$m = E \left\{ \lambda/x \right\} = \sum_{i=1}^x C_{xi}^* m_i \quad (\text{V.71})$$

$$gm = E \left\{ \ln(\lambda/X) \right\} = \sum_{i=1}^x C_{xi}^* g_{mi} \quad (\text{V.72})$$

4.4.4 - Cálculo da Função $g(S_{t,t})$

Na seção 4.3.2.1, vimos que a distribuição a priori do parâmetro em $t+1$, $p_{t+1,t}$, é calculada a partir da distribuição posterior do parâmetro em t segundo a expressão:

$$P_{t+1,t} \propto P_{t,t}^{g(S_{t,t})} \quad (\text{V.73})$$

onde

$$g(S_{t,t}) = [1 + C(S_{t,t}^{-2} - S_M^{-2})]^{-1} \quad (\text{V.74})$$

onde C é uma constante real, $S_{t,t}$ é a medida positiva de incerteza de $p_{t,t}$ descrita pela equação (V.35) e S_M é o valor máximo de $S_{t,t}$.

Logo, se $p_{t,t}$ é uma GAMMA (α, β),

$$p_{t,t} = \frac{\beta^\alpha}{\Gamma(\alpha)} \lambda^{\alpha-1} \cdot e^{-\beta\lambda} \quad (V.75)$$

e a entropia de Shannon é dada por

$$H_\lambda = \ln \Gamma(\alpha) + \alpha [1 + \Psi(\alpha-1)] + \Psi(\alpha) - \ln \beta \quad (V.76)$$

onde $\Gamma(\cdot)$ e $\Psi(\cdot)$ são dados, respectivamente por (V.69) e (V.70).

Como, por definição,

$$S_\lambda = \exp \{ H_\lambda \} \quad (V.77)$$

verifica-se facilmente que

$$S_M \square \lim_{\substack{\alpha \rightarrow 1 \\ \beta \rightarrow 0}} S_\lambda = +\infty \quad (V.78)$$

Logo, por (V.74) e (V.78)

$$g(S_{t,t}) = [1 + C(S_{t,t})^{-1}] \quad (V.79)$$

onde C necessita ser estimado a partir dos dados.

Uma variação da idéia de verossimilhança a gregada de um modelo bayesiano de AKAIKE²² nos fornece um critério para a escolha de C . Seja \hat{C} esta escolha, então,

$$\hat{C} = \max_{C \in \mathbb{R}^+} L(c) \quad \text{onde} \quad (V.80)$$

$$L(c) = \prod_{i=1}^t r(Y_i/c) \quad (V.81)$$

$$r(Y_i/c) = \int_{\Omega} p(Y_i/\theta_i) q(\theta_i/c) d\theta_i, \quad i=1,2,\dots,t \quad (V.82)$$

sendo $q(\theta_i/c)$ a distribuição a priori $p_{t+1,t}$ obtida com um dado valor de c .

4.4.5 - Formulação Matemática do Modelo

GEOMÉTRICO-POISSON-GAMMA

4.4.5.1-Notação

- X_t : número de demandas observadas (observação do sistema)
- λ_t : média de chegadas aleatórias (parâmetros do sistema)
- $\tilde{X}^{t-1} = (x_1, x_2, \dots, x_{t-1})$ - posterior no instante $t-1$ para o parâmetro, com p.d.f $p_{t-1,t-1}$ conhecida.

$$p_{t-1,t-1} = \text{GAMMA}(\alpha_{t-1}, \beta_{t-1}),$$

$$\alpha_{t-1}, \beta_{t-1} > 0$$
- $(\lambda_t / \tilde{X}^{t-1})$ - priori em t para o parâmetro, com p.d.f $p_{t,t+1}$ desconhecida.

• $g(S_{t-1,t-1}) = [1 - c(S_{t-1,t-1})^{-2}]^{-1}, c \in \mathbb{R}^+$

• $S_{t-1,t-1} = \exp \{ H_{t-1,t-1} \}$

• $H_{t-1,t-1}$: Entropia de Shannon de $(\lambda_{t-1}/\tilde{x}^{t-1})$

$$H_{t-1,t-1} = \ln \Gamma(\alpha_{t-1}) + \alpha_{t-1} [1 - \Psi(\alpha_{t-1})] - \ln(\beta_{t-1})$$

4.4.5.2-Modelo

Equação de observação: $(X_t/\lambda_t, \rho) \sim GP(\lambda_t, \rho)$ (V.83)

Equação do sistema: $P_{t,t-1} \propto |P_{t-1,t-1}|^{g(S_{t-1,t-1})}$ (V.84)

4.4.5.3-Atualização dos Parâmetros

(i) Distribuição a priori do parâmetro no tempo t : $(\lambda_t/\tilde{x}^{t-1})$

$$(\lambda_t/\tilde{x}^{t-1}) \sim \text{GAMMA}(\alpha_t^*, \beta_t^*) \quad (\text{V.85})$$

onde, por (V.73):

$$\alpha_t^* = g(S_{t-1,t-1}) \cdot (\alpha_{t-1} - 1) + 1 \quad (\text{V.86})$$

$$\beta_t^* = g(S_{t-1,t-1}) \beta_{t-1} \quad (\text{V.87})$$

(ii) Distribuição posterior do parâmetro em t : (λ_t/\tilde{x}^t)

Obtida pela aplicação do teorema de Bayes conforme apresentado na seção 4.4.2, isto é,

Se $x_t \geq 1$

$$(\lambda_t / \tilde{x}^t) \sim \text{GAMMA} (\alpha_t, \beta_t) \quad (\text{V.88})$$

onde α_t e β_t são obtidos a partir das estatísticas suficientes da mistura como vimos na seção 4.4.3.

Se $x_t = 0$

$$(\lambda / \tilde{x}^t) \sim \text{GAMMA} (\alpha_t, \beta_t)$$

$$\alpha_t = \alpha_t^* , \beta_t = \beta_t^* + 1$$

onde α_t^* e β_t^* são dados por (V.86) e (V.87).

4.4.5.4-Distribuição da Predição da Demanda um período à frente

Por definição,

$$P(x_{t+1} / \tilde{x}^t) = \int_{\mathbb{R}^+} P(x_{t+1}, \lambda_{t+1} / \tilde{x}^t, \rho) d\lambda_{t+1} \quad (\text{V.89})$$

onde

$$P(x_{t+1}, \lambda_{t+1} / \tilde{x}^t, \rho) = P(x_{t+1} / \lambda_{t+1}) \cdot P(\lambda_{t+1} / \tilde{x}^t) \quad (\text{V.90})$$

sendo

$$P(x_{t+1}/\lambda_{t+1}) = e^{-\lambda_{t+1}} \sum_{j=1}^{x_{t+1}} \lambda_{t+1}^j C_{x_{t+1}j} \quad (V.91)$$

$$P(\lambda_{t+1}/\tilde{x}^t) \propto \lambda_{t+1}^{\alpha_{t+1}} e^{-\beta_{t+1}\lambda_{t+1}} \quad (V.92)$$

Resolvendo a integral (V.89)

$$P(x_{t+1}/\tilde{x}^t) \propto \sum_{j=1}^{x_{t+1}} C_{x_{t+1}j} \cdot \frac{\Gamma(\alpha_{t+1}^* + j)}{(\beta_{t+1}^* + 1)\alpha_{t+1}^*}, \quad x_{t+1} \geq 1 \quad (V.93)$$

ou

$$P(x_{t+1}/\tilde{x}^t) = \beta_{t+1}^{\alpha_{t+1}^*} / (\beta_{t+1}^* + 1)^{\alpha_{t+1}^*}; \quad X_{t+1} = 0 \quad (V.94)$$

VI. MEDIDAS DE PERFORMANCE DE FORNECIMENTO

VI. MEDIDAS DE PERFORMANCE DE FORNECIMENTO

No capítulo IV verificamos que a expressão final do problema de otimização dos custos variáveis do estoque, fica perfeitamente determinada pela avaliação de ΔE e ΔB dados pelas equações (IV.46) e (IV.47) para modelos de revisão contínua e (IV.64) e (IV.65) para modelos de revisão periódica constituindo-se exceções os MODELOS BINÁRIOS (seções IV.2.1.3 e seção IV.2.2.3) para os quais a decisão depende apenas do valor do parâmetro λ que representa a taxa de ocorrência das demandas no processo GEOMÉTRICO-POISSON.

Como já comentamos anteriormente, nem sempre é fácil — ou até mesmo possível — avaliar os parâmetros Π , $\hat{\Pi}$, I e C da função de custo. Dadas estas dificuldades, uma tendência marcante na área de controle de estoques têm sido fornecer, ao invés do valor de s que minimiza a função de custo, alguns índices representativos da performance da política de estoques adotada.

Estes índices, na verdade, são medidas essencialmente semelhantes às aquelas utilizadas no capítulo IV (E , B e D) com a diferença que têm, às vezes, uma interpretação física que fala mais de perto à sensibilidade daqueles envolvidos na gestão do estoque.

Neste capítulo, apresentamos o cálculo dos índices propostos por Feeney e Sherbrooke para modelos de revisão contínua sob demanda GEOMÉTRICO-POISSON (Feeney Sherbrooke¹³) e uma extensão destes mesmos cálculos para modelos de revisão pe-

riódica por nós desenvolvidos.

1. MODELOS DE REVISÃO CONTÍNUA

O teorema de Palm para teoria das filas aplicado ao problema de estoques quando a demanda é unitária e distribuída segundo um processo de POISSON é generalizado para demandas não-unitárias e distribuídas segundo um processo GEOMÉTRICO-POISSON nos fornecendo uma ferramenta para analisarmos o caso em que o tempo de entrega é também uma variável aleatória.

Seja $X(t)$ o número de unidades encomendadas ao fornecedor e que ainda não foram entregues ao estoque as quais chamaremos de "unidades em atendimento" já que este enfoque se presta muito bem a estoques de peças reparáveis. Nosso objetivo será calcular $X(t)$ medido em um instante aleatório t . Como a análise é desenvolvida apenas para estoques com formação de fila, toda a demanda será eventualmente atendida e, portanto, $0 \leq X(t) < \infty$.

Neste ponto, é importante reforçar que, como o nível do estoque é constante e igual a s (pois a cada demanda corresponde um pedido de mesmo tamanho), se existem x unidades em atendimento, temos:

(i) se $x \leq s$, $s-x$ é o estoque em mãos;

(ii) se $x > s$, $|s-x|$ é o número de unidades na fila e o estoque em mãos é zero.

A figura abaixo ilustra o que foi dito.

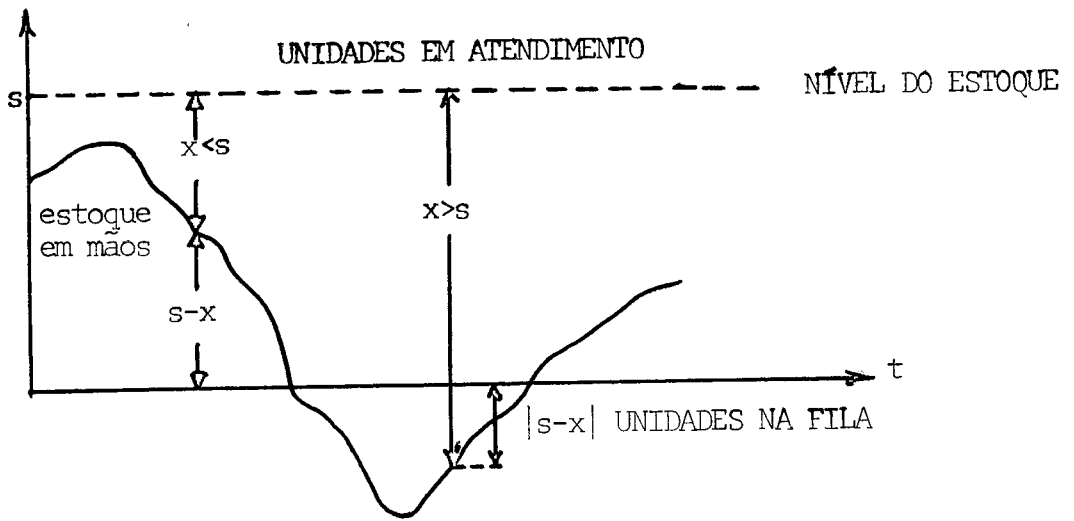


FIGURA VI.1

1.1 - Teorema de Palm

TEOREMA 1: Seja s o estoque de referência de um ítem para o qual a demanda é POISSON com taxa λ e tempo de entrega com uma distribuição arbitrária $\Psi(t)$ com média τ . As probabilidades a longo termo de x unidades em atendimento tem distribuição POISSON com média $\lambda\tau$:

$$h(x) = \left[\begin{array}{l} \text{Probabilidade de} \\ x \text{ unidades em} \\ \text{atendimento} \end{array} \right] = \frac{(\lambda\tau)^x e^{-\lambda\tau}}{x!}, \quad 0 \leq x \leq \infty, \quad x \in I \quad (\text{VI.1})$$

PROVA:

Antes de provar o teorema, observemos a seguinte propriedade dos processos de POISSON:

"Dado que foram observados n ocorrências POISSONIANAS num intervalo t , a probabilidade de uma delas ter ocorrido entre t_i e t_i+dt_i é dada por $\frac{dt_i}{t}$, independentemente de n " [Feller⁴].

Seja $S(t-t_i)$ a probabilidade de um pedido emitido em t_i ser entregue até t , $t > t_i$. Logo,

$$S(t-t_i) = \int_0^{t-t_i} \Psi(\xi) d\xi \quad (\text{VI.2})$$

onde $\Psi(\cdot)$ é a função de densidade de probabilidade do tempo de entrega.

Se pelo menos uma demanda foi observada entre 0 e t , a probabilidade que o pedido correspondente seja entregue em t é dado por:

$$\frac{S(t-t_i) dt_i}{t} \quad (\text{VI.3})$$

Segue-se que a probabilidade de um pedido em particular ser entregue até o instante t é:

$$G = \frac{1}{t} \int_0^t S(t-t_i) dt_i = \quad (\text{VI.4})$$

Se foram observadas n demandas entre 0 e t e existem x unidades em atendimento então, $n-x$ unidades já foram entregues. A probabilidade disto ocorrer é dada pela distribuição binomial:

$$p(n-x \text{ unidades entregues}) = \binom{n}{x} G^{n-x} (1-G)^x \quad (\text{VI.5})$$

onde G é dado por (VI.4).

Logo, $h(x)$ é dado pela probabilidade de n demandas entre 0 e t e $(n-x)$ unidades entregues, isto é,

$$\begin{aligned} h(x) &= \sum_{n=x}^{\infty} p(n, \lambda t) \binom{n}{x} G^{n-x} (1-G)^x = \\ &= \frac{e^{-\lambda t} (\lambda t)^x (1-G)^x}{x!} \sum_{n=x}^{\infty} \frac{(\lambda t)^{n-x} G^{n-x}}{(n-x)!} \end{aligned} \quad (\text{VI.6})$$

como $\sum_{j=0}^{\infty} \frac{u^j}{j!} = e^u$, temos

$$h(x) = \frac{(\lambda t)^x (1-G) e^{-\lambda t(1-G)}}{x!} = p(x, \lambda t(1-G)) \quad (\text{VI.7})$$

Fazendo o cálculo a longo termo,

$$L = \lim_{t \rightarrow \infty} \lambda t(1-G) = -\lambda \int_0^t [1-S(t-t_i)] dt_i + \lambda t$$

$$= \lambda \operatorname{Lim}_{t \rightarrow \infty} \left\{ - \int_0^t [1 - S(t - t_i)] dt_i + t \right\} \quad (\text{VI.8})$$

Por (VI.2) temos que:

$$\frac{d S(t - t_i)}{dt_i} = - \Psi(t_i) \quad (\text{VI.9})$$

Logo, integrando (VI.8) por partes temos,

$$L = \lambda \operatorname{Lim}_{t \rightarrow \infty} \int_0^t t_i \Psi(t_i) dt_i = \lambda \tau \quad (\text{VI.10})$$

Portanto, por (VI.7) e (VI.10).

$$h(x) = p(x, \lambda \tau) \quad (\text{VI.11})$$

C.Q.D.

1.2 - Teorema de Palm Generalizado

TEOREMA 2: Seja s o estoque de referência para um item cuja demanda tem distribuição GEOMÉTRICO-POISSON com taxa λ e o tempo de entrega com uma distribuição arbitrária, $\Psi(t)$ com média τ . Suponha que os pedidos são entregues integralmente, isto é, o tempo de entrega é o mesmo para as unidades em atendimento referentes ao mesmo pedido. As probabilidades a longo termo de x unidades em atendimento são dadas pela distribuição GEOMÉTRICO - POISSON com taxa $\lambda\tau$, isto é:

$$p(x, \lambda\tau) \qquad \qquad \qquad (VI.12)$$

PROVA:

Forneceremos uma prova simplificada, válida apenas para estoques com formação de fila.

Num processo POISSON-COMPOSTO as chegadas (ocorrência de demandas) ocorrem segundo um processo POISSON. Assim, o teorema de Palm nos fornece a probabilidade de y pedidos pendentes em um dado instante, lembrando que a cada demanda corresponde a emissão de um pedido.

A probabilidade de x unidades em atendimento é dada pela probabilidade de y pedidos pendentes e que estes y pedidos totalizem x unidades, $x \geq y$.

Como assumimos que as unidades referentes a um mesmo pedido são entregues simultaneamente e como o processo de atendimento é independente do tamanho do pedido, a probabilidade de y pedidos totalizarem x unidades é dada, como em (IV.3) por $f^{y*}(x)$, isto é,

$$h(x) = p(x, \lambda\tau) \quad (\text{VI.13})$$

C.Q.D.

1.3 - Medidas de Performance de Fornecimento

Tendo em mãos a expressão da distribuição de probabilidades de $X(t)$, o número de unidades em atendimento, estamos aptos a calcular os índices aos quais nos referimos.

Todos os índices dependem apenas do nível de referência, s , dos parâmetros da distribuição GEOMÉTRICO-POISSON e da média do tempo de entrega τ . São eles:

$R(s)$: A probabilidade de um item observado num instante qualquer não possuir unidades na fila. Chamaremos TAXA DE GARANTIA.

$F(s)$: O valor esperado do número de demandas por unidade de tempo que podem ser atendidas prontamente, com o estoque em mãos. Chamada NÚMERO DE ATENDIMENTOS IMEDIATOS.

$S(s)$: Valor esperado do número de unidades em atendimento de rotina (isto é, o número de unidades em atendimento não destinadas à suprir as unidades na fila). Chamaremos NÚMERO DE UNIDADES EM SERVIÇO.

1.3.1 - $R(s)$ - TAXA DE GARANTIA

É a medida mais simples. Distingue duas situações - haver ou não unidades na fila. Definida desta forma, $R(s)$ não leva em conta o número de unidades na fila considerando apenas a sua existência ou não.

Pelo teorema 2, a distribuição de probabilidades de x unidades em atendimento é dada por:

$$h(x) = p(x, \lambda\tau) \quad (\text{VI.14})$$

$R(s)$ é a probabilidade de s ou menos unidades em atendimento. Logo,

$$R(s) = \sum_{x=0}^s p(x, \lambda\tau) \quad (\text{VI.15})$$

ou

$$R(s) = R(s-1) + p(s, \lambda\tau) \quad (\text{VI.16})$$

1.3.2 - F(s) - ATENDIMENTOS IMEDIATOS

Mede, indiretamente, o valor esperado do número de unidades que entraram na fila que já foi calculado na seção IV.2.1.1. É fácil ver que como toda demanda que não é imediatamente atendida é colocada na fila, a soma de F(s) com o valor esperado do número de unidades que entraram na fila num dado período (E(s) dado por IV.38) é a demanda média neste mesmo período. Poderíamos calcular F(s) a partir dos resultados da seção IV.2.1.1, através da expressão:

$$F(s) = m - E(s) \quad (\text{VI.17})$$

No entanto, preferimos calculá-la diretamente obtendo uma expressão mais conveniente. O valor esperado do número de atendimentos imediatos pode ser calculado da seguinte forma.

Primeiramente sabe-se que como a chegada de usuários é POISSON, a probabilidade de um usuário chegar em num intervalo de tempo Δt pequeno é dada por $\lambda \Delta t$. Para cada usuário, o valor esperado do número de atendimentos imediatos, ω , é dado por:

$$E(\omega) = \sum_{\omega=0}^s \omega p(\omega) \quad (\text{VI.18})$$

onde $p(\omega)$ é a probabilidade de ocorrerem exatamente ω atendimentos imediatos o que é a probabilidade de um usuário efetuar uma demanda por ω unidades e o número de unidades em atendimento ser $s-\omega$ ou menos, ou de existirem exatamente $s-\omega$ unidades em atendi-

mento e o usuário efetuar uma demanda por mais de ω unidades.

Logo,

$$p(\omega) = f_{\omega} \sum_{x=0}^{s-\omega} h(x) + h(s-\omega) \sum_{i=1}^{\infty} f_{\omega}^{+i} \quad (\text{VI.19})$$

Portanto.

$$\begin{aligned} F(s) &= \lambda \sum_{\omega=1}^s \omega p(\omega) = \\ &= \lambda \sum_{\omega=1}^s \omega \left[f_{\omega} \sum_{x=0}^{s-\omega} h(x) + h(s-\omega) \sum_{i=1}^{\infty} f_{\omega}^{+i} \right] \end{aligned} \quad (\text{VI.20})$$

Após uma série de manipulações, demasiadamente longas, obtemos a expressão.

$$F(s) = \lambda \sum_{k=0}^{s-1} (1-f_1, f_2, \dots, f_k) R(s-k-1) \quad (\text{VI.21})$$

$$\text{onde } f_k = (1-\rho) \rho^{k-1} \quad (\text{VI.22})$$

É fácil ver também que, por (VI.21) e (VI.22)

$$F(s) = \lambda R(s-1) + \rho F(s-1) \quad (\text{VI.23})$$

1.3.3 - S(s) - UNIDADES EM SERVIÇO

Mede, indiretamente, o número e o tempo de permanência das unidades na fila. Segundo a definição, S(s) é a diferença entre o valor esperado do número de unidades em atendimento e o valor esperado do número de unidades na fila. Na seção (IV.2.1), definimos B(s) como o número de unidades na fila que se iguala numericamente ao valor esperado do tamanho da fila se observada em um instante qualquer do tempo. Logo,

$$\begin{aligned}
 S(s) &= E(s) - B(s) \\
 &= m \tau - B(s) \\
 &= \sum_{x=1}^s x p(x, \lambda \tau) + s \sum_{x=s+1}^{\infty} p(x, \lambda \tau) \quad (\text{VI.24})
 \end{aligned}$$

De (VI.24) é fácil ver que:

$$S(s) = S(s-1) - R(s-1) + 1 \quad (\text{VI.25})$$

2. REVISÃO PERIÓDICA

Nesta seção, apresentamos as expressões de R(s) e F(s), definidos na seção 1.3 quando aplicados a estoques de revisão periódica. A medida "UNIDADES EM SERVIÇO" não tem sentido em estoques de revisão periódica já que os pedidos são emitidos apenas a intervalos regulares de tempo T. Observemos também que nesta seção o tempo de entrega τ é fixo e conhecido.

2.1 - R(s) TAXA DE GARANTIA

Consideremos que houve uma revisão no instante t . Repetindo a argumentação utilizada na seção IV.2.2.1 seja x o saldo do estoque num instante qualquer entre $t+\tau$ e $t+T+\tau$. A razão de considerar este intervalo, como já foi dito, é que todos os pedidos emitidos antes de t , chegaram ao estoque até $t+\tau$ e nenhum pedido emitido depois de t (isto é, em $t+T$) chegou ao estoque antes de $t+T+\tau$.

Logo, se $\Psi(x, t+\xi)$ é a distribuição de probabilidades do saldo do estoque x medido num instante $t+\xi$, $\tau \leq \xi \leq T+\tau$, temos:

$$\Psi(x, t+\xi) = p(x, \lambda \xi) \quad (\text{VI.26})$$

A distribuição marginal de x , medido num instante qualquer é:

$$\Psi_1(x) = \frac{1}{T} \int_{\tau}^{T+\tau} p(x, \lambda \xi) d\xi \quad (\text{VI.27})$$

$R(s)$ é a probabilidade de $x \geq 0$, logo:

$$R(s) = \sum_{x=0}^{\infty} \frac{\Phi(x)}{T} \quad (\text{VI.28})$$

onde

$$\Phi(x) = \int_{\tau}^{T+\tau} p(x, \lambda \xi) d\xi \quad \text{dado em (IV.59)}.$$

2.2. - F(s) - ATENDIMENTOS IMEDIATOS

Conforme comentado na seção (1.3.3) F(s) é dado pela diferença entre a demanda média e o número de unidades que entraram na fila. Portanto,

$$F(s) = \theta - E(s,T) \quad (\text{VI.29})$$

onde E(s,T) é o valor esperado do número de unidades que entraram na fila, dado em (IV.56)

Consequentemente,

$$\begin{aligned} F(s) &= m - \frac{1}{T} \sum_{x=s}^{\infty} (x-s) \left[p(x, \lambda(\tau+T)) - p(x, \lambda\tau) \right] \\ &= \frac{1}{T} \sum_{x=0}^s (x-s) \left[p(x, \lambda(\tau+T)) - p(x, \lambda\tau) \right] \end{aligned} \quad (\text{VI.30})$$

VII - TESTES E CONCLUSÕES

VII. TESTES E CONCLUSÕES

Neste capítulo apresentamos alguns exemplos de utilização do BEF para a estimação da média de um processo GEOMÉTRICO-POISSON, de determinação do nível ótimo de estoques e do cálculo dos índices de performance.

Para efeito de teste foram geradas séries sintéticas de 250 observações geométrico-poissonianas para vários valores de ρ e λ . Em nossos testes, no entanto, nos concentramos nas séries com razão da variância para a média igual a 2 (isto é, $\rho=1/3$) e com $\theta \in (0.25, 0.5, 0.75, 1.0, 1.25, 1.5, 1.75, 2, 2.5, 3.0, 3.5, 4.0, 4.5)$. Estas séries pretendem cobrir o que consideramos a região de interesse para a aplicação do nosso estudo.

1. O MÉTODO BEF APLICADO A ESTIMAÇÃO DE θ

O método BEF para sua utilização pressupõe o conhecimento da constante C comentada na seção V.4.3.2.2. Normalmente, este valor seria avaliado a partir de dados anteriores ou de sistemas análogos utilizando o critério da maximização da verossimilhança agregada citado na seção V.4.4.4. No nosso caso em especial, como a média do processo é constante o valor ótimo de C é

$$C=0$$

De fato, como

$$g_{t,t} = \frac{S_{t,t}^2}{S_{t,t}^2 + C}$$

o aumento de incerteza sobre o valor do parâmetro no tempo que decorre entre um instante e outro será tanto maior quanto maior for C já que, por (V.73):

$$P_{t+1,t} \propto P_{t,t} \varepsilon_{t,t}$$

Por outro lado, $C=0$ significa que nenhuma incerteza será incorporada a $p_{t,t}$ entre t e $t+1$. No nosso caso, não há nenhuma razão para incorporarmos incerteza ao processo já que estamos estimando um parâmetro que sabemos constante e sobre o qual temos mais certeza a cada novo valor observado. Devemos deixar claro, no entanto, que se o parâmetro apresentasse dependência serial, C deveria ser, certamente, não-nulo.

A não ser quando dito o contrário, todos os testes foram feitos utilizando uma GAMMA com parâmetros $\alpha = 2.0$ e $\beta = 1.666$ que tem média igual a 1.2 e variância igual a 0.72 para a distribuição à priori de θ .

1.1 - Comportamento Assintótico

A tabela VII.1, mostra os valores obtidos para o erro relativo¹ médio computado a partir das últimas 50 observações de uma série de 250 utilizando os valores da média e da moda da distribuição posterior como estimativas pontuais da média do processo. Nesta mesma tabela podemos observar como o método reage a uma estimativa errônea para q_1 (razão da variância para a média) já que pressupor o seu conhecimento talvez seja uma idéia um tanto otimista. Para melhor visualização, estes mesmos dados foram plotados (GRÁFICO VII.1) de forma a caracterizar as

1. O erro relativo médio é dado pela média dos desvios dividida pelo valor do parâmetro.

regiões em que há tendência a sub-estimar ou a sobre-estimar.

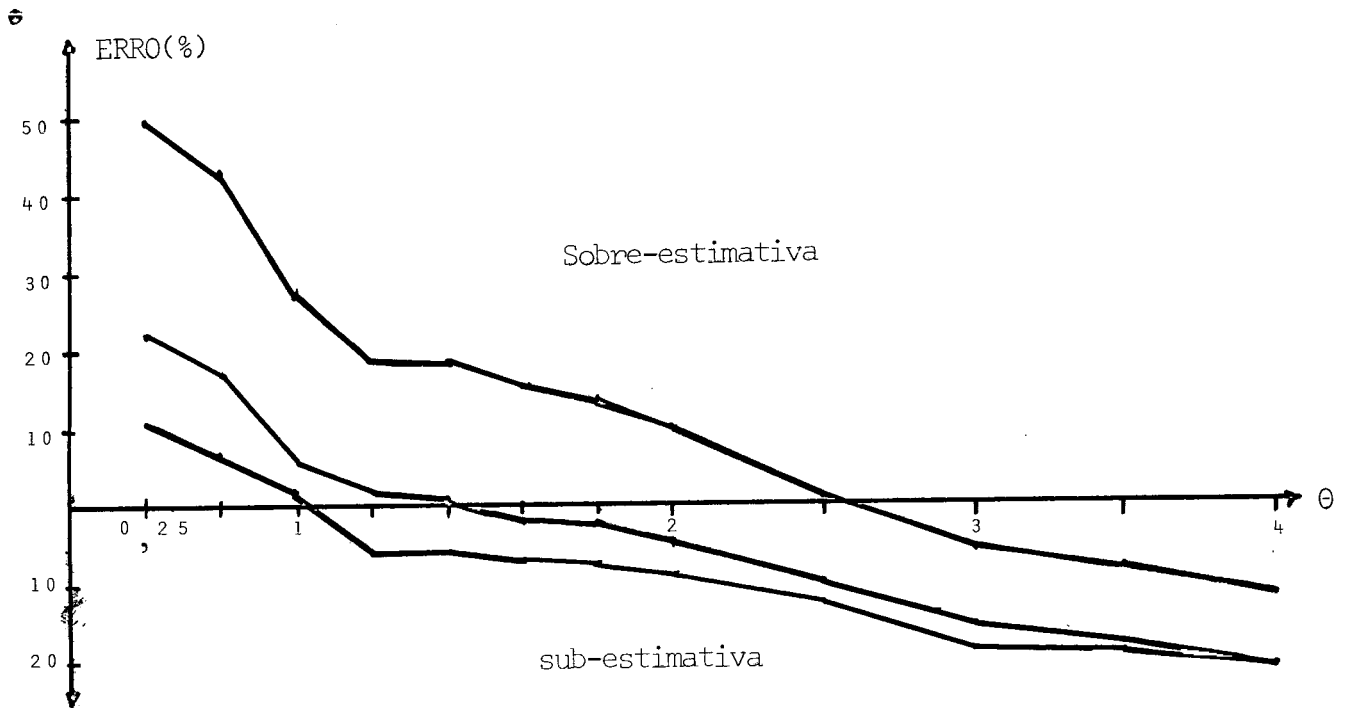


Gráfico VII.1

COMENTÁRIOS

Pouca diferença houve, em termos de erro relativo, entre a utilização da média ou da moda da distribuição posterior como estimativa pontual da média do processo. Esta diferença se situou num nível máximo de 3% e mostrou ser tanto menor quanto maior for θ . Como veremos mais adiante, esta diferença se mostrou mais marcante e quase sempre desfavorável à moda quando o número de observações é pequeno.

O modelo apresentou uma clara tendência a sobre-estimar os valores pequenos de θ o que fez com que o modelo funcionasse melhor com $q_1=1.5$ para $\theta=0.25, 0.5$ e 0.75 como podemos verificar no gráfico VII.1. No mesmo gráfico, notamos que o modelo é mais sensível a variações em q , quando θ é pequeno (<1).

ERROS RELATIVOS
250 OBSERVACOES

MEDIA	R=1.5		R=2.0		R=3.0	
	MED	MOD	MED	MOD	MED	MOD
0.25	.108	.083	.223	.192	.494	.453
0.50	.073	.066	.172	.158	.434	.414
0.75	.021	.027	.063	.054	.274	.262
1.00	.061	.066	.015	.016	.119	.179
1.25	.063	.057	.011	.007	.188	.180
1.50	.073	.077	.018	.022	.151	.144
1.75	.074	.078	.023	.027	.137	.131
2.00	.096	.099	.050	.054	.100	.094
2.50	.136	.139	.109	.112	.012	.009
3.00	.191	.193	.171	.174	.064	.068
3.50	.188	.190	.177	.179	.083	.086
4.00	.213	.215	.210	.212	.129	.132
4.50	.249	.250	.251	.253	.182	.184
5.00	.267	.258	.264	.266	.201	.203

R - RAZAO DA VARIANCIA PARA A MEDIA

TABELA VII.1

1.2 - Comportamento com Poucas Observações

A tabela VII.2, análoga à tabela VII.1, nos mostra o valor do erro medido a partir das últimas 10 observações de uma série de 20. Este teste se aproxima mais de uma aplicação real. As 10 primeiras observações foram utilizadas para estimar a distribuição a priori e representariam alguma informação anterior sobre o sistema. Na mesma tabela apresentamos os resultados obtidos pela estatística clássica (Item's Issue Rate).

Conforme já havíamos comentado, a média da distribuição posterior se mostrou mais adequada que a moda para estimar θ quando dispomos de poucas observações. Para valores de θ acima de 1 houve uma tendência a sub-estimar, o que explica um melhor desempenho do modelo quando $q_1=3$. Além disso, confirmando o observado na seção anterior, o modelo parece mais sensível a variações de q_1 quando θ é pequeno.

Na tabela VII.3, apresentamos duas das simulações da tabela VII.2 como exemplo de como o BEF reage quando $\theta=0.5$ e $\theta=2.0$ para $q_1=(1.5, 2.0, 3.0)$.

1.3 - Comparação do BEF com o "Objective Bayes Approach"

Não ficou claro em PORTILLA¹⁷ como e com quantos dados foi obtida a distribuição a priori em seus testes. Assim, na falta de outra informação utilizamos apenas o ponto inicial utilizado nas outras simulações utilizando, ao contrário dos outros exemplos, a moda da distribuição GAMMA como estimativa para a média.

Como podemos observar na tabela VII.4, o BEF foi levemente superior apresentando um erro relativo médio da ordem de 46% contra um erro de 48% do Bayes Objective Approach. Evidentemente este é apenas um exemplo, para inferirmos algo sobre o comportamento dos dois métodos necessitaríamos naturalmente de testes com um grande número de séries.

ERROS RELATIVOS

10 OBSERVACOES

MEDIA	R=1.5		R=2.0		R=3.0		ISSUE RATE
	MED	MOD	MED	MOD	MED	MOD	
0.25	.415	.707	.298	.649	.145	.532	1.000
0.50	.386	.531	.198	.473	.156	.342	.527
0.75	.200	.308	.173	.250	.186	.183	.536
1.00	.159	.235	.115	.198	.086	.097	.838
1.25	.219	.281	.179	.248	.108	.148	.612
1.50	.292	.344	.246	.310	.133	.200	.896
1.75	.296	.341	.251	.306	.119	.192	.650
2.00	.293	.334	.256	.307	.142	.207	.405
2.50	.276	.311	.248	.291	.140	.197	.423
3.00	.286	.315	.268	.304	.174	.222	.716
3.50	.266	.292	.250	.282	.160	.203	.191
4.00	.303	.326	.294	.323	.217	.255	.125
4.50	.322	.343	.316	.342	.243	.278	.164
5.00	.361	.381	.362	.387	.302	.335	.205

R - RAZAO DA VARIANCIA PARA MEDIA

TABELA VII.2

----- MEDIA = .5

PERIODO	OBS	BEF	ISSUE RATE
11	2	.389	2.000
12	0	.360	1.000
13	0	.335	0.667
14	0	.314	0.500
15	0	.295	0.400
16	0	.278	0.333
17	1	.344	0.428
18	2	.441	0.625
19	0	.419	0.556
20	1	.471	0.600
ERRO RELATIVO		.298	0.527

----- MEDIA = 2.0

PERIODO	OBS	BEF	ISSUE RATE
11	1	1.522	1.000
12	0	1.394	0.500
13	1	1.402	0.661
14	0	1.301	0.500
15	1	1.314	0.600
16	7	1.528	1.667
17	2	1.573	1.714
18	4	1.682	2.000
19	5	1.810	2.333
20	2	1.835	2.300
ERRO RELATIVO		0.256	0.405

TABELA VII.3

EXEMPLO COMPARATIVO

PERIODO	OBS	BEF (MODA)	OBA
1	0	.428	.742
2	0	.333	.501
3	0	.272	.390
4	0	.231	.324
5	0	.200	.279
6	3	.493	.504
7	2	.688	.692
8	0	.613	.606
9	1	.700	.705
10	1	.771	.784
ERRO RELATIVO		.464	.487

TABELA VII.4

2. ÍNDICES DE PERFORMANCE E CÁLCULO DO NÍVEL ÓTIMO DE ESTOQUE

Foram criados dois programas (PROGRAMA 3 e PROGRAMA 4) que dados os valores dos parâmetros λ e ρ da distribuição GEOMÉTRICO-POISSON, efetuam o cálculo dos índices de performance comentados no capítulo VI e, quando requerido, calcular o valor ótimo do nível de referência s do estoque segundo os modelos das seções IV.2.1.1 e IV.2.2.1 para estoques de REVISÃO CONTÍNUA e REVISÃO PERIÓDICA respectivamente.

Quanto aos modelos de otimização acima citados, deve ser ressaltado que não foi provado na literatura que a função de custo seja unimodal. Em nossos testes no entanto não encontramos nenhuma evidência de que isto seja falso. Os índices e os custos calculados para as duas classes de estoques (REVISÃO CONTÍNUA e REVISÃO PERIÓDICA), como era previsto, se igualam quando o período de revisão se aproxima de zero.

Cabe lembrar que o cálculo do valor ótimo do nível de referência s para os modelos com "pedido especial" (seções IV.2.1.2 e IV.2.2.2) também podem ser calculados bastando para isto fazer $\hat{\Pi}=0$.

Exemplos de execução de ambos os programas se encontram nos apêndices C e D respectivamente.

3. CONCLUSÕES E SUGESTÕES

A falta de um caso real para análise impossibilitou uma avaliação crítica do comportamento dos modelos de estoque. Devemos ressaltar no entanto, que a sua formulação vem acrescentar a literatura existente na medida em que constituem uma generalização para demandas GEOMÉTRICO-POISSON de conhecidos modelos para demandas POISSON. O mesmo podemos dizer dos índices de performance que, a exemplo do que fizeram Feeney e Sheerbroke¹³ para modelos de REVISÃO CONTÍNUA, foram calculados para estoques com REVISÃO PERIÓDICA.

Quanto ao método aplicado à estimação da média de um processo GEOMÉTRICO-POISSON, mostrou-se bastante robusto na medida em que não apresentou os problemas comentados em PORTILLA¹⁷ sobre o método Objective Bayes Approach, tais como distribuição posterior bimodal ou degenerada.

De uma forma geral, o modelo subestima valores da média maiores que a unidade e apresentou uma maior sensibilidade à precisão do valor de q_1 quando da estimação de pequenos valores da média.

Concluimos este trabalho com algumas sugestões de forma a acrescentar os resultados aqui obtidos.

- Utilizar a equação (V.16) que relaciona $Var(x)$ e $E(x)$ na sua forma completa, isto é, com $q_2 \neq 0$ de forma que à cada valor do parâmetro λ (ou θ) corresponda um valor do parâmetro ρ segundo a equação abaixo.

$$\rho = \frac{q_1^{-1}}{q_1+1} + \frac{q_2}{q_2+1} \lambda$$

e não supor ρ conhecido (consequência de $q_2=0$).

- Estimar os parâmetros λ e ρ separadamente sendo que para isto é necessário o conhecimento do valor de cada demanda e não apenas da demanda total ao final do período como neste trabalho.
- Testar os modelos para situações em que a média θ varie com o tempo apresentando dependência serial.

APÊNDICE A

DESCRIÇÃO DO PROGRAMA 1

APÊNDICE A

DESCRIÇÃO DO PROGRAMA 1

Gera uma série sintética de observações segundo um processo GEOMÉTRICO-POISSON. O programa foi basicamente desenvolvido por PORTILLA¹⁷ ao qual incluímos apenas modificações circunstanciais tais como o armazenamento das séries geradas em arquivo em disco, entrada de dados, etc.

A.1 - PROCESSO DE GERAÇÃO DAS OBSERVAÇÕES

As observações são geradas baseadas na densidade do tempo entre demandas

$$g(t) = \rho \delta(t) + (1-\rho) \lambda e^{-\lambda t}$$

onde

$$\delta(t) = \begin{cases} 1, & t=0 \\ 0, & \text{caso contrário} \end{cases}$$

isto é, após a ocorrência de cada demanda existe uma probabilidade ρ de outra observação simultânea e uma probabilidade $(1-\rho)$ que um processo POISSON de taxa λ se inicie.

Assim, o programa primeiramente extrai uma observação X de uma distribuição exponencial de média $1/\lambda$, dado por

$$X = (1/\lambda) \ln(\xi)$$

Uma vez determinado o instante da próxima observação POISSONIANA, o número de observações simultâneas é dado por um mais o número de vezes consecutivas em que

$$\xi < \rho$$

onde, novamente, $\xi \sim U(0,1)$.

Assim que observamos um ξ tal que $\xi \geq \rho$, um processo POISSON se inicia e retomamos o processo.

A.2 - SUMÁRIO DA SIMULAÇÃO

O programa imprime um sumário com as principais estatísticas da simulação. As mensagens são auto-explicativas e fornecem uma visão geral das propriedades dos dados gerados.

A.3 - REPRESENTAÇÃO PICTÓRIA DA DEMANDA E ESTATÍSTICAS COMPLETAS

O programa pode também apresentar uma representação pictória da demanda.

A rotina de plotagens não diferencia demandas por 7 unidades ou mais nem quando duas demandas ocorrem no mesmo decimo de período.

Uma outra opção do programa é imprimir todas as informações geradas ao longo do processo quais sejam: o tempo entre duas demandas (distribuição exponencial), o número de unidades por demanda (distribuição geométrica), o instante em que se deu a demanda e o número de demandas correspondente a cada período.

A.4 - ENTRADA DE DADOS

NREG Número do registro do arquivo de séries no qual deve ser gravada a série gerada

IKEY Indica se o arquivo está sendo usado do pela primeira vez(YKEY=0) ou não (YKEY=1)

TETA Média do processo GEOMÉTRICO-POISSON

RATIO vazão da variância para a média

NUMBER Número de períodos a serem gerados

SEED Número de amostras de $\xi \sim \nu(0,1)$ a serem desprezadas antes que a simulação tenha início.

OPTION OPÇÃO DE IMPRESSÃO

- 1 Sumário, Gráfico e Estatísticas
- 2 Sumário e Gráfico
- 3 Sumário e Estatísticas
- 4 Sumário

```

0001 REAL*8 ISEED,X1
0002 REPINE,FILE TO(2012,80,L,I10)
0003 DIMENSION DEMAND(5000,4),LINE(15,110),NO(10)
0004 REAL*8 LAMBDA, LAMBOA, NUMBER
0005 INIT LAMBOA, LAMBOA, NUMBER
0006 I=1,2012
0007 READ(I,2,END=3)
0008 FORMAT(I,2,END=3)
0009 *
0010 WRITE(10,I,2)
0011 CONTINUE
0012 CONTINUE
0013 ----- KEY=0 O ARGUIVO NUMCA FOI USADO -----
0014 ----- KEY=1 VAI ESCREVER NO NREG+1 -----
0015
0016 READ(5,70) OPTION, ISEED, NUMBER, RATIO, TETA, KEY
0017 FORMAT(I,75) IFIM
0018
0019 FORMAT(F2.0, D5.0, F4.0, 2F5.3, I1)
0020 A1=0.0
0021 A2=0.0
0022 A3=0.0
0023 PERIOD=0.0
0024 DO 170 I=1,1000
0025 DO 160 J=1,4
0026 DEMAND(I,J)=0.0
0027 CONTINUE
0028 LAMBDA=(RATIO*(1.0)/(RATIO+1.0))
0029 LAMBOA=TETA*(1.-RHO)
0030 NREG=1
0031 IF(KEY.EQ.0) GO TO 80
0032 READ(10,1,1370) NREG
0033 FORMAT(I5)
0034 GO TO 90
0035 WRITE(10,1,1370) NREG
0036 CONTINUE
0037
0038 THE RANDOM NUMBER GENERATOR IS SET UP BY SEED
0039
0040 THE GENERATION OF THE GEOMETRIC POISSON PROCESS
0041
0042 DO 100 I=1,1000
0043 X1=GGUSS(I,ISEED)
0044 X2=SMALL(X1) LAMBOA)*ALOG(X)
0045 KEY=1 GO TO PERIOD
0046 PERIOD=PERIOD+1
0047 NREG=PERIOD*01.NUMBER GO TO 110
0048
0049 DEMAND(I,1)=YYY
0050 DEMAND(I,3)=PERIOD
0051 CONTINUE
0052 X1=GGUSS(I,ISEED)
0053 X2=GGUSS(I,ISEED)
0054 TETA=PERIOD*(1.0) GO TO 120
0055 COUNT=COUNT+1.0
0056 GO TO 130
0057
0058 DEMAND(I,2)=COUNT
0059 INDEX=INDEX+1
0060 DEMAND(I,4)=DEMAND(I,3)+1.0
0061 CONTINUE
0062
0063 CALCULATION OF THE STATISTICS INCLUDED IN THE SUMMARY
0064
0065 DO 140 J=1,N
0066 A1=A1+DEMAND(J,1)**2
0067 A2=A2+DEMAND(J,2)
0068 CONTINUE
0069 J1=FIX(NUMBER)
0070 DO 150 J=1,J1
0071 A3=A3+DEMAND(J,4)**2
0072 CONTINUE
0073 MEAN=A2/NUMBER
0074 VAR=1/3*(NUMBER**2)/(NUMBER-1.0)
0075 VRRAT=VAR/MEAN
0076 ELMDA=FLOAT(N)/NUMBER
0077
0078
0079
0080
0081
0082
0083
0084
0085
0086
0087
0088
0089
0090
0091
0092
0093
0094
0095
0096
0097
0098
0099
0100
0101
0102
0103
0104
0105
0106
0107
0108
0109
0110
0111
0112
0113
0114
0115
0116
0117
0118
0119
0120
0121
0122
0123
0124
0125
0126
0127
0128
0129
0130
0131
0132
0133
0134
0135
0136
0137
0138
0139
0140
0141
0142
0143
0144
0145
0146
0147
0148
0149
0150
0151
0152
0153
0154
0155
0156
0157
0158
0159
0160
0161
0162
0163
0164
0165
0166
0167
0168
0169
0170
0171
0172
0173
0174
0175
0176
0177
0178
0179
0180
0181
0182
0183
0184
0185
0186
0187
0188
0189
0190
0191
0192
0193
0194
0195
0196
0197
0198
0199
0200
0201
0202
0203
0204
0205
0206
0207
0208
0209
0210
0211
0212
0213
0214
0215
0216
0217
0218
0219
0220
0221
0222
0223
0224
0225
0226
0227
0228
0229
0230
0231
0232
0233
0234
0235
0236
0237
0238
0239
0240
0241
0242
0243
0244
0245
0246
0247
0248
0249
0250
0251
0252
0253
0254
0255
0256
0257
0258
0259
0260
0261
0262
0263
0264
0265
0266
0267
0268
0269
0270
0271
0272
0273
0274
0275
0276
0277
0278
0279
0280
0281
0282
0283
0284
0285
0286
0287
0288
0289
0290
0291
0292
0293
0294
0295
0296
0297
0298
0299
0300
0301
0302
0303
0304
0305
0306
0307
0308
0309
0310
0311
0312
0313
0314
0315
0316
0317
0318
0319
0320
0321
0322
0323
0324
0325
0326
0327
0328
0329
0330
0331
0332
0333
0334
0335
0336
0337
0338
0339
0340
0341
0342
0343
0344
0345
0346
0347
0348
0349
0350
0351
0352
0353
0354
0355
0356
0357
0358
0359
0360
0361
0362
0363
0364
0365
0366
0367
0368
0369
0370
0371
0372
0373
0374
0375
0376
0377
0378
0379
0380
0381
0382
0383
0384
0385
0386
0387
0388
0389
0390
0391
0392
0393
0394
0395
0396
0397
0398
0399
0400

```


RELEASE 2.0

DATE = 82091

MAIN

FORTRAN IV GI

22/56/50

```

0140 ITEMS=0
0141 DO 30 KK=LEAD,1000
0142 IF (DEMAND(KK,3).GT.(ELCATT(IND)*10.0)) GO TO 50
0143 IF (DEMAND(KK,3).GT.(DEMAND(KK,3)-AINT(DEMAND(KK,3))))
0144 * ANTI2=FIX(AINT(DEMAND(KK,3))-FLOOR(IND-1*10.0))+1
0145 IF (ANTI2.EQ.ANT1) ITEMS=ITEMS+FIX(DEMAND(KK,2))
0146 IF (ANTI2.GT.ANT1) ITEMS=FIX(DEMAND(KK,2))
0147 ANTI=ANTI2
0148 ANTI=5*ANTI2
0149 LA=15-2*ITEMS
0150 DO 40 LL=LA,14
0151 LINE(LL,ANTI2)=KAS
0152 CONTINUE
0153 30 CONTINUE
0154 50 LOAD=KK
0155 CONTINUE
0156 ANTI=0
0157 JUMP=MOD(IND*3)+1
0158 GO TO (240,230,240),JUMP
0159 WRITE(6,110)
1210 FORMAT('H',3(/,40X,**** GRAPHICAL ILLUSTRATION OF ',
1    * THE SIMULATION ****')
0161 WRITE(6,1310)
0162 FORMAT(45X,40(---|/))
0163 WRITE(6,1170)(LINE(I),L),L=1,110)
0164 FORMAT(14X,110A1)
0165 GO TO 250
0166 LINE(6),1180)(LINE(I),L),L=1,110)
0167 DO 260 K=2,15
0168 FORMAT(21(/,14X,110A1)
0169 IF (K.NE.6) WRITE(6,1190)(LINE(K),L),L=1,110)
0170 FORMAT(14X,110A1)
0171 IF (K.EQ.6) WRITE(6,1220)(LINE(K),L),L=1,110)
0172 FORMAT(5X,1220A1)
0173 CONTINUE
0174 DO 270 MM=1,10
0175 NO(MM)=MM*(IND-1)*10
0176 CONTINUE
0177 WRITE(6,1200)(NO(I),L),L=1,10)
0178 FORMAT(16(/,14X,13)
0179 PERIOD=1200
0180 PERIOD=4X, PERIOD,44X, PERIOD*)
0181 CONTINUE
0182 IF (OPTION.EQ.2) GO TO 10000
0183
CC
CC PRINTING WHOLE STATISTICS WHEN THE OPTION IS CALLED
0184 DO 300 I=1,NA
0185 VE(MD(I-1,45),NE.0) GO TO 310
0186 WRITE(6,1300)
0187 FORMAT('H',4(/,49X,**** STATISTICS OF THE SIMULATION *****)
0188 WRITE(6,1320)
0189 FORMAT(154X,28(---),31(/))
0190 PERIOD=154X, INTER-ORDER,5X, DEMANDS PER,45X,
0191 * CUMULATIVE,6X, DEMANDS PER)
0192 WRITE(6,1320)
0193 FORMAT(132X,114X, TIMES,111X, ORDER,111X,
0194 * PERIOD)
0195 WRITE(6,1270)
0196 FORMAT(31X,3(---),4(5X,11(---),/))
0197 IF (I.LE.N).AND.(I.LE.IFIX(NUMBER))) WRITE(6,1280)
0198 * I,(DEMAND(I),J),J=1,4)
0199 FORMAT(31X,5:6X,12X,F3.0,10X,F7.3,11X,F3.0)
0200 IF (I.LE.N).AND.(I.GT.IFIX(NUMBER))) WRITE(6,1320)
0201 * I,(DEMAND(I),J),J=1,3)
0202 IF (I.GT.N).AND.(I.LE.IFIX(NUMBER))) WRITE(6,1290)
0203 * I,DEMAND(I,4)
0204 FORMAT(31X,13:6X,12X,F3.0,10X,F7.3,11X,13)
0205 CONTINUE
0206 WRITE(6,1330)
0207 FORMAT(10,NREG+1,1350)NN, LAMDA,ELMDA,ETA,ETETA,RATIO
0208 WRITE(10,NREG+2,1360) (DEMAND(I,4),I=1,NN)
0209 FORMAT(10,NREG+2,1360)
0210 WRITE(10,NREG+2,1360)
0211

```

001154
001155
001156
001157
001158
001159
001160
001161
001162
001163
001164
001165
001166
001167
001168
001169
001170
001171
001172
001173
001174
001175
001176
001177
001178
001179
001180
001181
001182
001183
001184
001185
001186
001187
001188
001189
001190
001191
001192
001193
001194
001195
001196
001197
001198
001199
001200
001201
001202
001203
001204
001205
001206
001207
001208
001209
001210
001211
001212
001213
001214
001215
001216
001217
001218
001219
001220
001221
001222
001223
001224
001225
001226
001227
001228
001229
001230
001231
001232
001233
001234
001235
001236
001237
001238
001239
001240
001241
001242
001243
001244
001245


```

FOKTRAN IV G1  RELEASE 2.C  MAIN  DATE = 22051  22/56/50  PAGE 0004
0208  NRGT=NN/20
0209  I=0  UN=NRGT*20
0210  NRGT=UN/20  OJ=NRGT+NRGT+1
0211  NRGT=NRGT*20  NRGT=NRGT+1
0212  NRGT=NRGT*20  NRGT=NRGT+1
0213  NRGT=NRGT*20  NRGT=NRGT+1
0214  NRGT=NRGT*20  NRGT=NRGT+1
0215  NRGT=NRGT*20  NRGT=NRGT+1
0216  NRGT=NRGT*20  NRGT=NRGT+1
0217  NRGT=NRGT*20  NRGT=NRGT+1
0218  NRGT=NRGT*20  NRGT=NRGT+1
0219  NRGT=NRGT*20  NRGT=NRGT+1
0220  NRGT=NRGT*20  NRGT=NRGT+1
0221  NRGT=NRGT*20  NRGT=NRGT+1

```

```

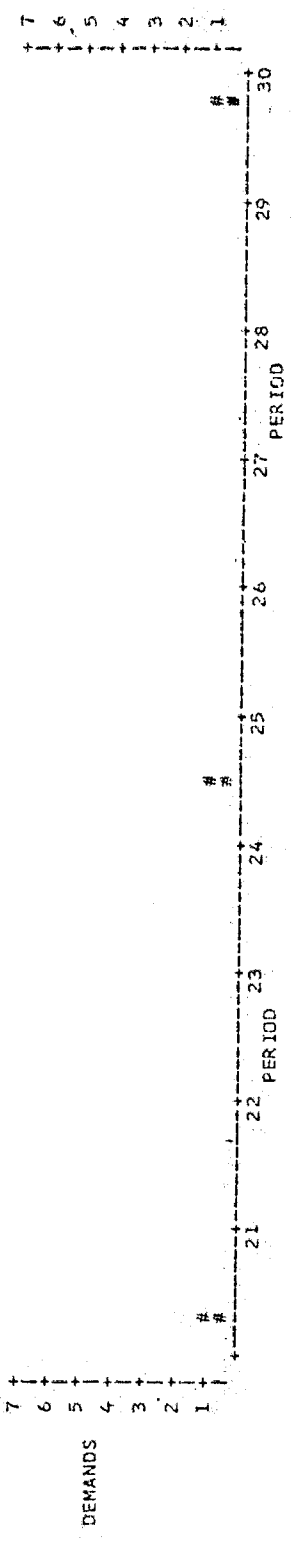
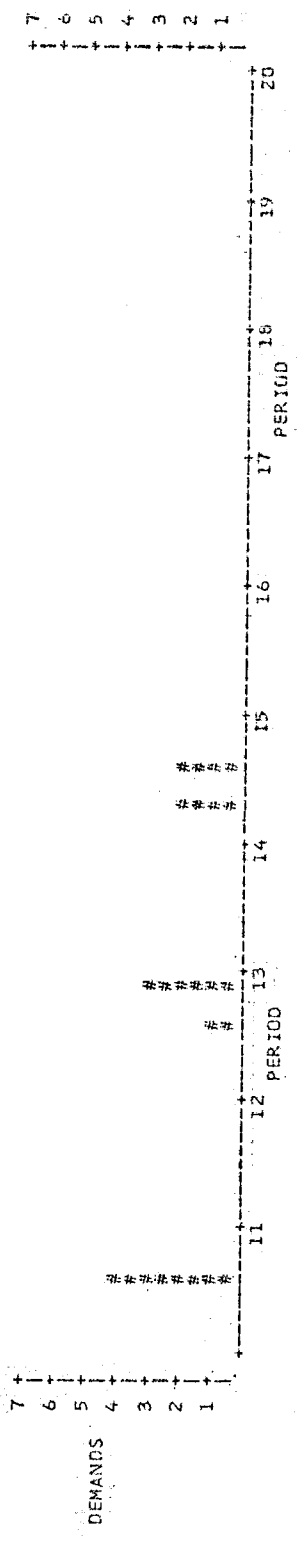
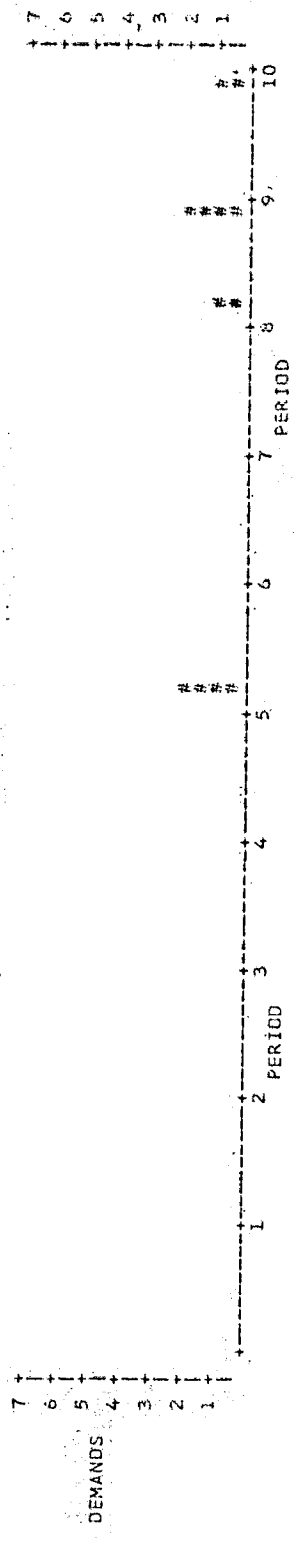
00345
00346
00347
00348
00349
00350
00351
00352
00353
00354
00355
00356
00357
00358
00359
00360

```

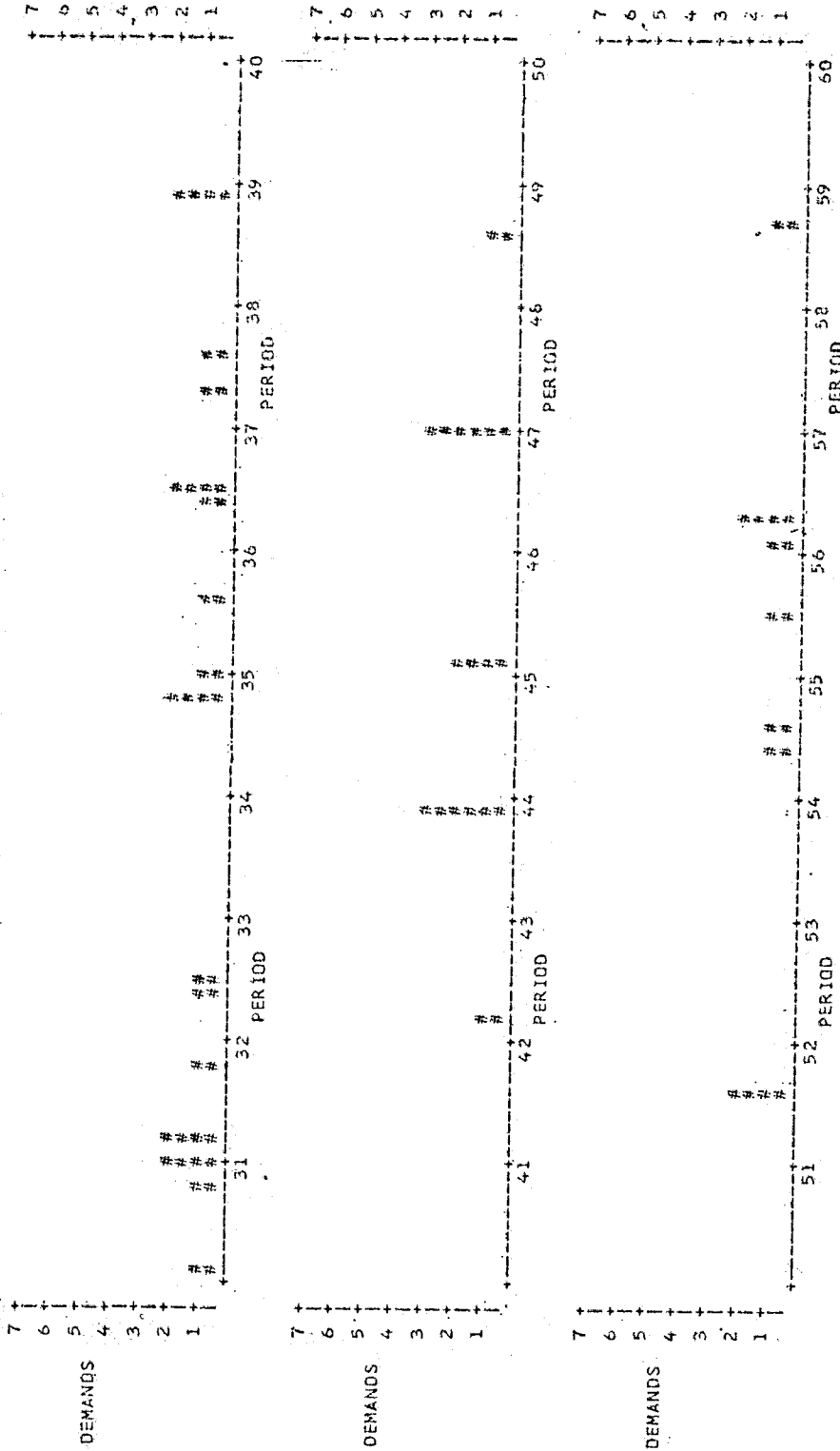
***** SUMMARY OF THE SIMULATION *****

CONCEPT	EXPECTED	ESTIMATED
LAMBDA.....	0.6667	0.7400
VARIANCE/MEAN RATIO.....	2.0000	2.1097
RHO.....	0.3333	0.3463
MEAN OF DEMAND.....	1.0000	1.1320
VARIANCE OF DEMAND.....	2.0000	2.3661
MEAN OF INTER-DEMAND TIME.....	1.0000	0.8627
VARIANCE OF INTER-DEMAND TIME.....	2.0000	1.5990
NUMBER OF ORDERS.....	166	185

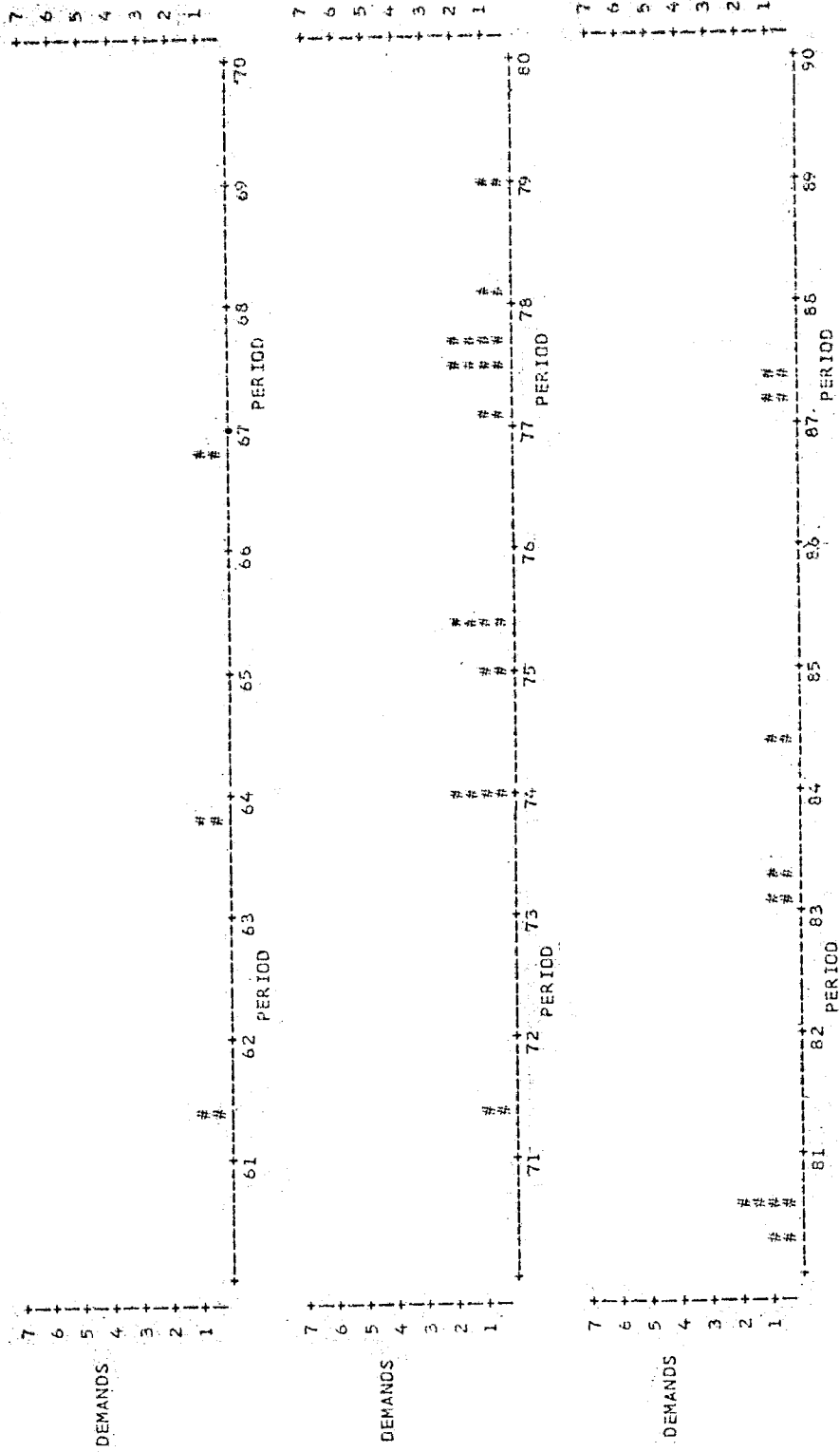
**** GRAPHICAL ILLUSTRATION OF THE SIMULATION ****



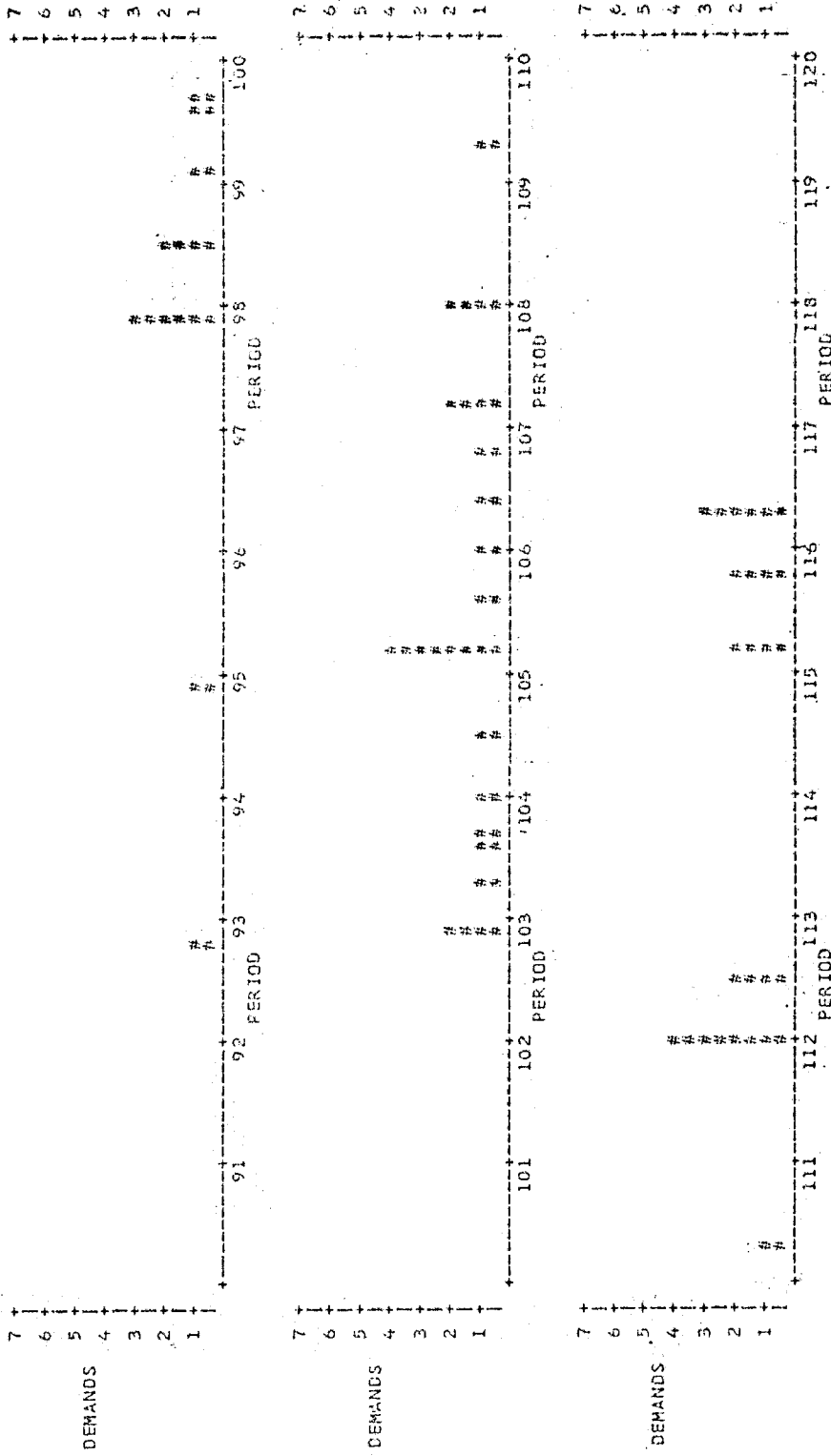
**** GRAPHICAL ILLUSTRATION OF THE SIMULATION ****



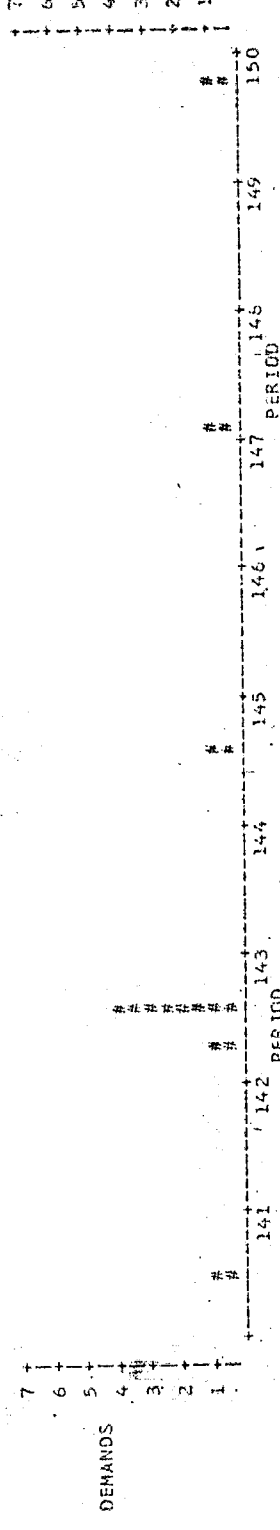
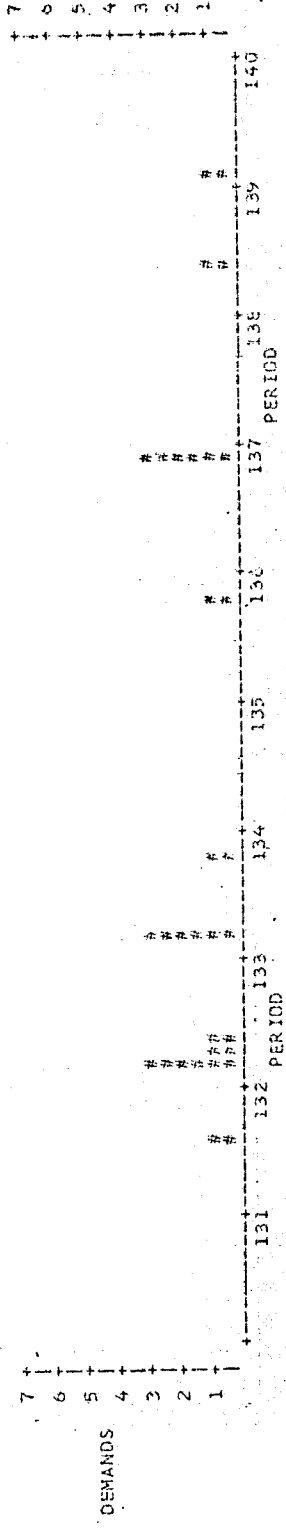
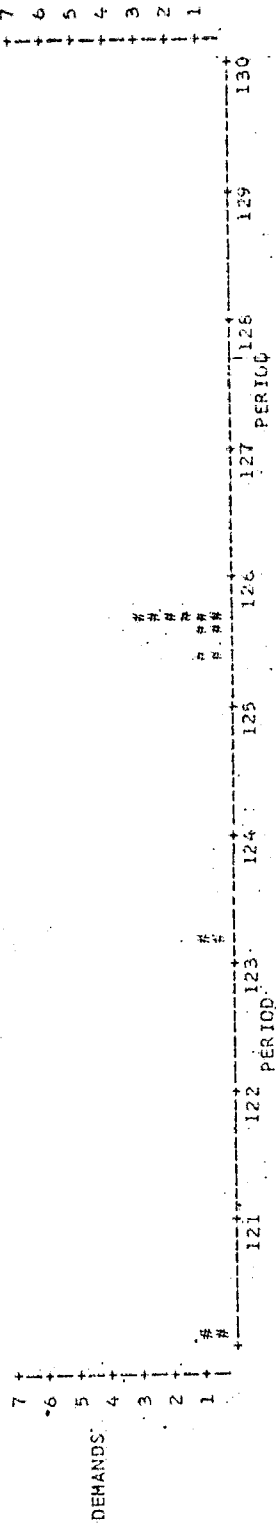
*** GRAPHICAL ILLUSTRATION OF THE SIMULATION ***



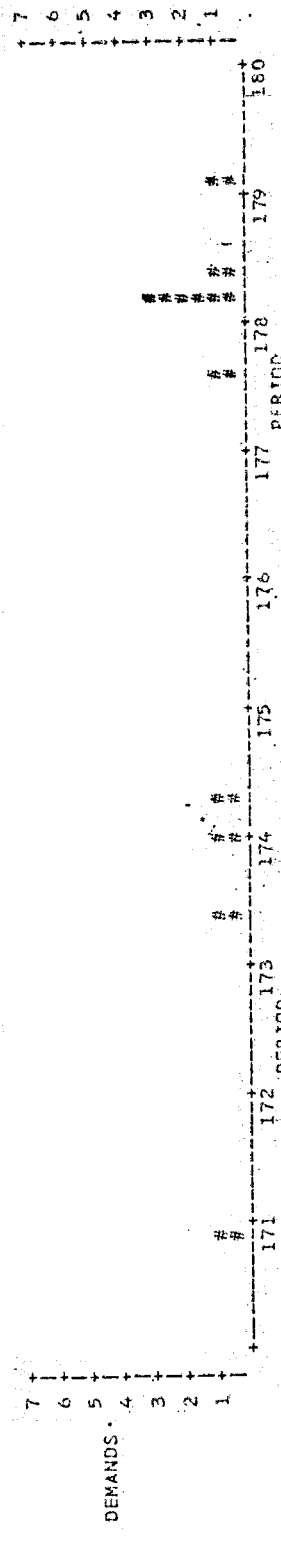
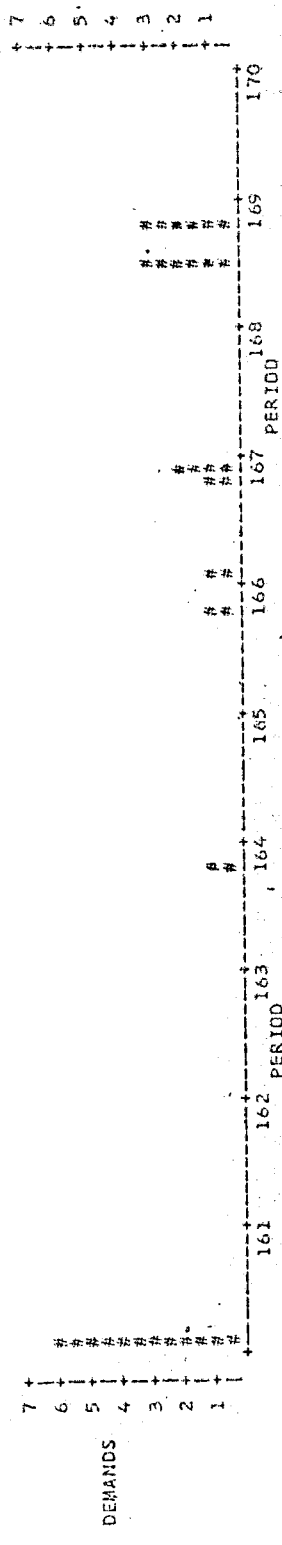
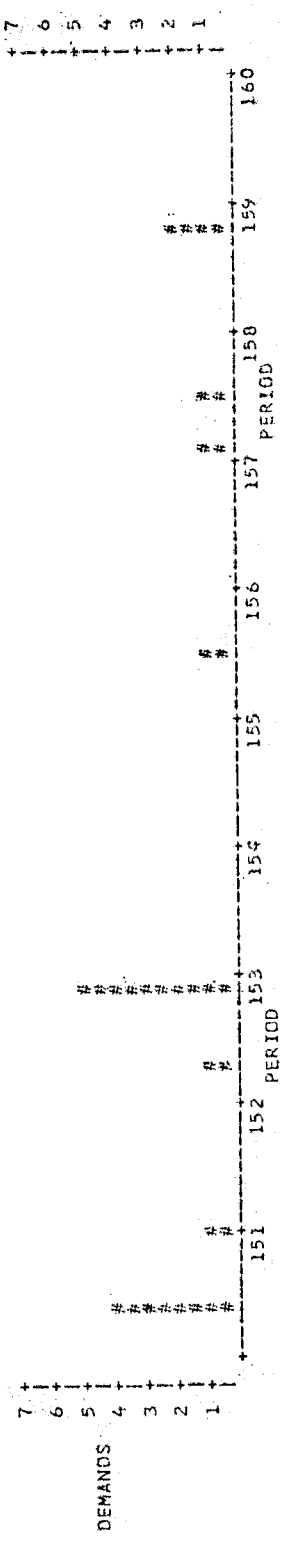
**** GRAPHICAL ILLUSTRATION OF THE SIMULATION ****



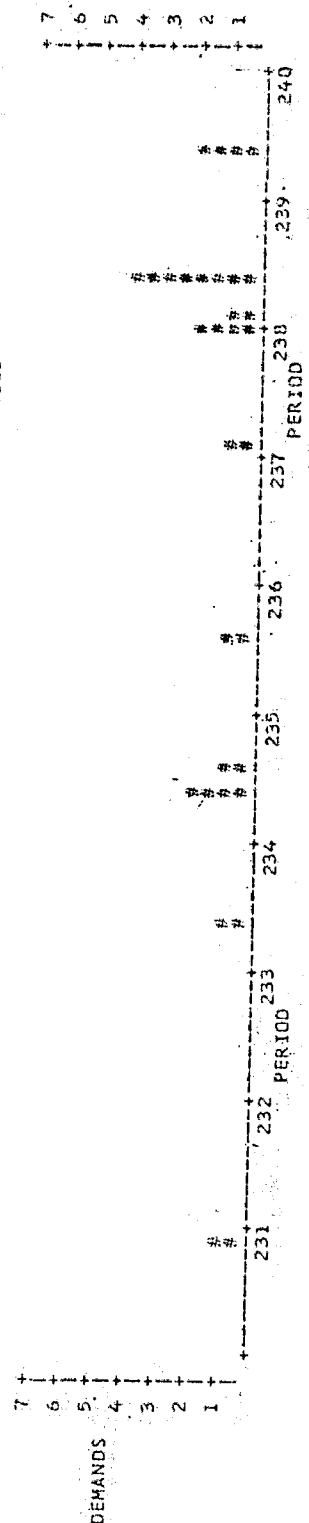
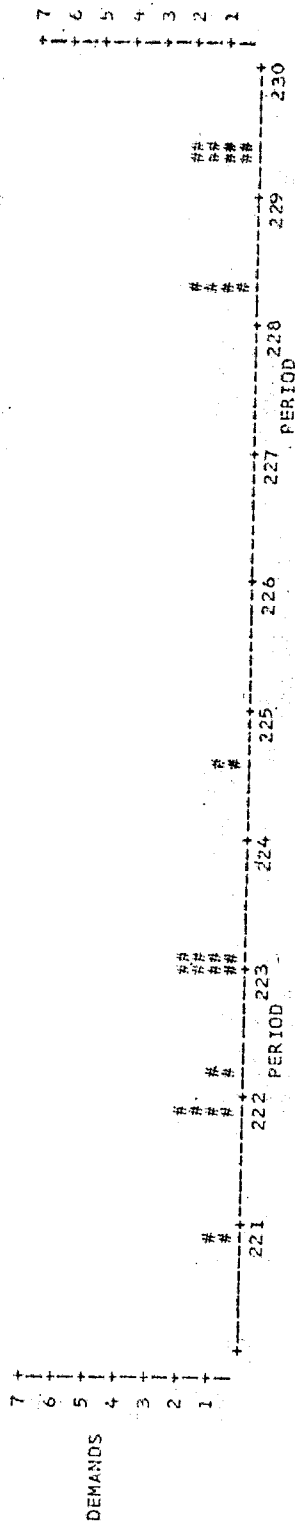
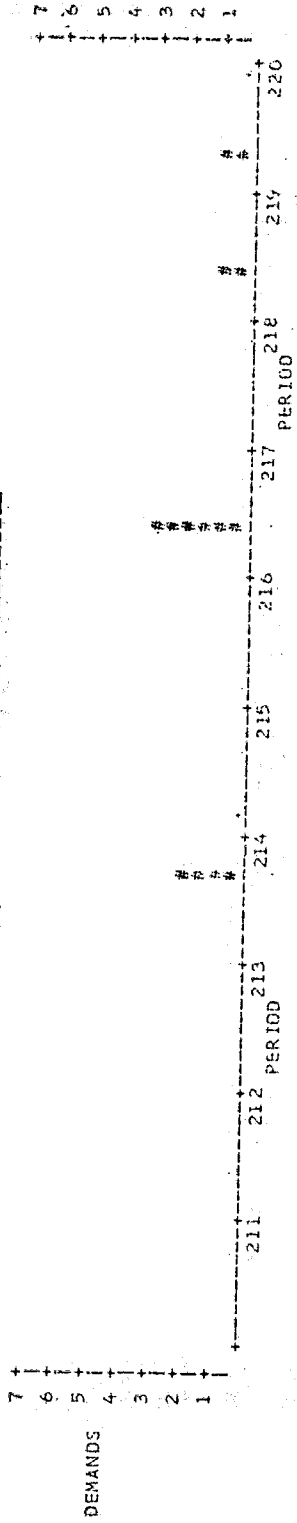
**** GRAPHICAL ILLUSTRATION OF THE SIMULATION ****



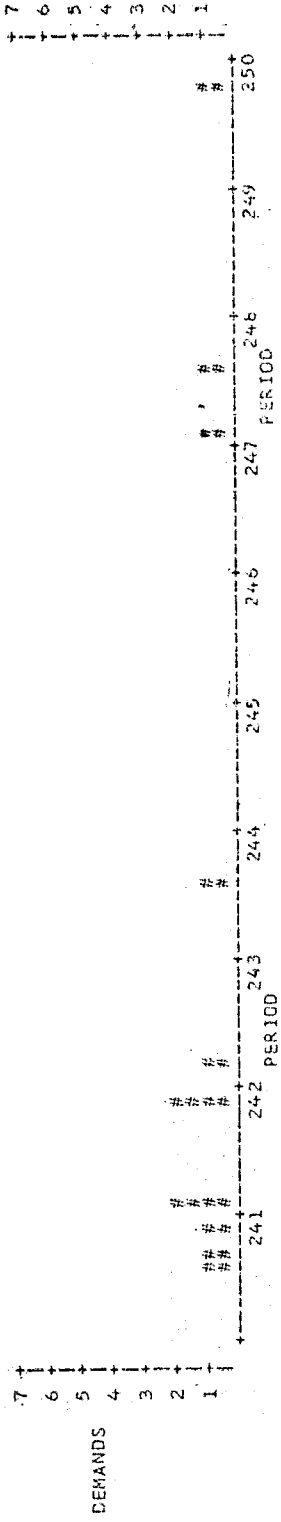
**** GRAPHICAL ILLUSTRATION OF THE SIMULATION ****



*** GRAPHICAL ILLUSTRATION OF THE SIMULATION ***



**** GRAPHICAL ILLUSTRATION OF THE SIMULATION ****



*** STATISTICS OF THE SIMULATION ***

INTER-OCCUR TIME(S)	DEMANDS PER ORDER	CUMULATIVE TIMES	DEMANDS PER PERIOD
125	9	0
1188	125	0
1955	1188	0
2559	1955	0
3263	2559	0
3967	3263	0
4671	3967	0
5375	4671	0
6079	5375	0
6783	6079	0
7487	6783	0
8191	7487	0
8895	8191	0
9599	8895	0
10303	9599	0
11007	10303	0
11711	11007	0
12415	11711	0
13119	12415	0
13823	13119	0
14527	13823	0
15231	14527	0
15935	15231	0
16639	15935	0
17343	16639	0
18047	17343	0
18751	18047	0
19455	18751	0
20159	19455	0
20863	20159	0
21567	20863	0
22271	21567	0
22975	22271	0
23679	22975	0
24383	23679	0
25087	24383	0
25791	25087	0
26495	25791	0
27199	26495	0
27903	27199	0
28607	27903	0
29311	28607	0
30015	29311	0
30719	30015	0
31423	30719	0
32127	31423	0
32831	32127	0
33535	32831	0
34239	33535	0
34943	34239	0
35647	34943	0
36351	35647	0
37055	36351	0
37759	37055	0
38463	37759	0
39167	38463	0
39871	39167	0
40575	39871	0
41279	40575	0
41983	41279	0
42687	41983	0
43391	42687	0
44095	43391	0
44799	44095	0
45503	44799	0
46207	45503	0
46911	46207	0
47615	46911	0
48319	47615	0
49023	48319	0
49727	49023	0
50431	49727	0
51135	50431	0
51839	51135	0
52543	51839	0
53247	52543	0
53951	53247	0
54655	53951	0
55359	54655	0
56063	55359	0
56767	56063	0
57471	56767	0
58175	57471	0
58879	58175	0
59583	58879	0
60287	59583	0
60991	60287	0
61695	60991	0
62399	61695	0
63103	62399	0
63807	63103	0
64511	63807	0
65215	64511	0
65919	65215	0
66623	65919	0
67327	66623	0
68031	67327	0
68735	68031	0
69439	68735	0
70143	69439	0
70847	70143	0
71551	70847	0
72255	71551	0
72959	72255	0
73663	72959	0
74367	73663	0
75071	74367	0
75775	75071	0
76479	75775	0
77183	76479	0
77887	77183	0
78591	77887	0
79295	78591	0
79999	79295	0
80703	79999	0
81407	80703	0
82111	81407	0
82815	82111	0
83519	82815	0
84223	83519	0
84927	84223	0
85631	84927	0
86335	85631	0
87039	86335	0
87743	87039	0
88447	87743	0
89151	88447	0
89855	89151	0
90559	89855	0
91263	90559	0
91967	91263	0
92671	91967	0
93375	92671	0
94079	93375	0
94783	94079	0
95487	94783	0
96191	95487	0
96895	96191	0
97599	96895	0
98303	97599	0
99007	98303	0
99711	99007	0
100415	99711	0

1

.....

*** STATISTICS OF THE SIMULATION ***

I	INTER-ORDER TIMES	DEMANDS PER ORDER	CUMULATIVE TIMES	DEMANDS PER PERIOD
0	0.371	1	0.371	1
1	0.274	1	0.645	1
2	0.447	1	1.092	1
3	0.850	1	1.942	1
4	0.202	1	2.144	1
5	0.447	1	2.591	1
6	0.254	1	2.845	1
7	0.557	1	3.402	1
8	0.226	1	3.628	1
9	0.254	1	3.882	1
10	0.202	1	4.084	1
11	0.690	1	4.774	1
12	0.000	0	4.774	0
13	0.000	0	4.774	0
14	0.000	0	4.774	0
15	0.000	0	4.774	0
16	0.000	0	4.774	0
17	0.000	0	4.774	0
18	0.000	0	4.774	0
19	0.000	0	4.774	0
20	0.000	0	4.774	0
21	0.000	0	4.774	0
22	0.000	0	4.774	0
23	0.000	0	4.774	0
24	0.000	0	4.774	0
25	0.000	0	4.774	0
26	0.000	0	4.774	0
27	0.000	0	4.774	0
28	0.000	0	4.774	0
29	0.000	0	4.774	0
30	0.000	0	4.774	0
31	0.000	0	4.774	0
32	0.000	0	4.774	0
33	0.000	0	4.774	0
34	0.000	0	4.774	0
35	0.000	0	4.774	0
36	0.000	0	4.774	0
37	0.000	0	4.774	0
38	0.000	0	4.774	0
39	0.000	0	4.774	0
40	0.000	0	4.774	0
41	0.000	0	4.774	0
42	0.000	0	4.774	0
43	0.000	0	4.774	0
44	0.000	0	4.774	0
45	0.000	0	4.774	0
46	0.000	0	4.774	0
47	0.000	0	4.774	0
48	0.000	0	4.774	0
49	0.000	0	4.774	0
50	0.000	0	4.774	0
51	0.000	0	4.774	0
52	0.000	0	4.774	0
53	0.000	0	4.774	0
54	0.000	0	4.774	0
55	0.000	0	4.774	0
56	0.000	0	4.774	0
57	0.000	0	4.774	0
58	0.000	0	4.774	0
59	0.000	0	4.774	0
60	0.000	0	4.774	0
61	0.000	0	4.774	0
62	0.000	0	4.774	0
63	0.000	0	4.774	0
64	0.000	0	4.774	0
65	0.000	0	4.774	0
66	0.000	0	4.774	0
67	0.000	0	4.774	0
68	0.000	0	4.774	0
69	0.000	0	4.774	0
70	0.000	0	4.774	0
71	0.000	0	4.774	0
72	0.000	0	4.774	0
73	0.000	0	4.774	0
74	0.000	0	4.774	0
75	0.000	0	4.774	0
76	0.000	0	4.774	0
77	0.000	0	4.774	0
78	0.000	0	4.774	0
79	0.000	0	4.774	0
80	0.000	0	4.774	0
81	0.000	0	4.774	0
82	0.000	0	4.774	0
83	0.000	0	4.774	0
84	0.000	0	4.774	0
85	0.000	0	4.774	0
86	0.000	0	4.774	0
87	0.000	0	4.774	0
88	0.000	0	4.774	0
89	0.000	0	4.774	0
90	0.000	0	4.774	0
91	0.000	0	4.774	0
92	0.000	0	4.774	0
93	0.000	0	4.774	0
94	0.000	0	4.774	0
95	0.000	0	4.774	0
96	0.000	0	4.774	0
97	0.000	0	4.774	0
98	0.000	0	4.774	0
99	0.000	0	4.774	0
100	0.000	0	4.774	0

*** STATISTICS OF THE SIMULATION ***

I	INTER-ORDER TIMES	DEMANDS PER ORDER	CUMULATIVE TIMES	DEMANDS PER PERIOD
1	1547	1	1310	0
2	2037	1	4837	0
3	5911	1	5377	0
4	6953	1	11647	0
5	0000	1	12647	0
6	0000	1	13247	0
7	0000	1	14247	0
8	0000	1	17247	0
9	0000	1	19847	0
10	0000	1	20447	0
11	1148	1	21447	0
12	0000	1	22447	0
13	0000	1	23447	0
14	0000	1	24447	0
15	0000	1	25447	0
16	0000	1	26447	0
17	0000	1	27447	0
18	0000	1	28447	0
19	0000	1	29447	0
20	0000	1	30447	0
21	0000	1	31447	0
22	0000	1	32447	0
23	0000	1	33447	0
24	0000	1	34447	0
25	0000	1	35447	0
26	0000	1	36447	0
27	0000	1	37447	0
28	0000	1	38447	0
29	0000	1	39447	0
30	0000	1	40447	0
31	0000	1	41447	0
32	0000	1	42447	0
33	0000	1	43447	0
34	0000	1	44447	0
35	0000	1	45447	0
36	0000	1	46447	0
37	0000	1	47447	0
38	0000	1	48447	0
39	0000	1	49447	0
40	0000	1	50447	0
41	0000	1	51447	0
42	0000	1	52447	0
43	0000	1	53447	0
44	0000	1	54447	0
45	0000	1	55447	0
46	0000	1	56447	0
47	0000	1	57447	0
48	0000	1	58447	0
49	0000	1	59447	0
50	0000	1	60447	0
51	0000	1	61447	0
52	0000	1	62447	0
53	0000	1	63447	0
54	0000	1	64447	0
55	0000	1	65447	0
56	0000	1	66447	0
57	0000	1	67447	0
58	0000	1	68447	0
59	0000	1	69447	0
60	0000	1	70447	0
61	0000	1	71447	0
62	0000	1	72447	0
63	0000	1	73447	0
64	0000	1	74447	0
65	0000	1	75447	0
66	0000	1	76447	0
67	0000	1	77447	0
68	0000	1	78447	0
69	0000	1	79447	0
70	0000	1	80447	0
71	0000	1	81447	0
72	0000	1	82447	0
73	0000	1	83447	0
74	0000	1	84447	0
75	0000	1	85447	0
76	0000	1	86447	0
77	0000	1	87447	0
78	0000	1	88447	0
79	0000	1	89447	0
80	0000	1	90447	0
81	0000	1	91447	0
82	0000	1	92447	0
83	0000	1	93447	0
84	0000	1	94447	0
85	0000	1	95447	0
86	0000	1	96447	0
87	0000	1	97447	0
88	0000	1	98447	0
89	0000	1	99447	0
90	0000	1	100447	0
91	0000	1	101447	0
92	0000	1	102447	0
93	0000	1	103447	0
94	0000	1	104447	0
95	0000	1	105447	0
96	0000	1	106447	0
97	0000	1	107447	0
98	0000	1	108447	0
99	0000	1	109447	0
100	0000	1	110447	0

*** STATISTICS OF THE SIMULATION ***

I	INTER-ORDER TIMES	DEMANDS PER ORDER	CUMULATIVE TIMES	DEMANDS PER PERIOD
181	0.228	1.	243.127	3.
182	1.725	1.	245.582	6.
183	3.777	1.	247.932	1.
184	2.289	1.	249.751	0.
185				0.
186				1.
187				1.
188				0.
189				0.
190				0.
191				0.
192				0.
193				0.
194				0.
195				0.
196				0.
197				0.
198				0.
199				0.
200				0.
201				0.
202				0.
203				0.
204				0.
205				0.
206				0.
207				0.
208				0.
209				0.
210				0.
211				0.
212				0.
213				0.
214				0.
215				0.
216				0.
217				0.
218				0.
219				0.
220				0.
221				0.
222				0.
223				0.
224				0.
225				0.
226				0.
227				0.
228				0.
229				0.
230				0.
231				0.
232				0.
233				0.
234				0.
235				0.
236				0.
237				0.
238				0.
239				0.
240				0.
241				0.
242				0.
243				0.
244				0.
245				0.
246				0.
247				0.
248				0.
249				0.
250				0.

***# STATISTICS OF THE SIMULATION ***#

I	INTER-ORDER TIMES	DEMANDS PER ORDER	CUMULATIVE TIMES	DEMANDS PER PERIOD
1	0.0000	1.0000	0.0000	0.0000
2	0.0000	1.0000	0.0000	0.0000
3	0.0000	1.0000	0.0000	0.0000
4	0.0000	1.0000	0.0000	0.0000
5	0.0000	1.0000	0.0000	0.0000
6	0.0000	1.0000	0.0000	0.0000
7	0.0000	1.0000	0.0000	0.0000
8	0.0000	1.0000	0.0000	0.0000
9	0.0000	1.0000	0.0000	0.0000
10	0.0000	1.0000	0.0000	0.0000
11	0.0000	1.0000	0.0000	0.0000
12	0.0000	1.0000	0.0000	0.0000
13	0.0000	1.0000	0.0000	0.0000
14	0.0000	1.0000	0.0000	0.0000
15	0.0000	1.0000	0.0000	0.0000
16	0.0000	1.0000	0.0000	0.0000
17	0.0000	1.0000	0.0000	0.0000
18	0.0000	1.0000	0.0000	0.0000
19	0.0000	1.0000	0.0000	0.0000
20	0.0000	1.0000	0.0000	0.0000
21	0.0000	1.0000	0.0000	0.0000
22	0.0000	1.0000	0.0000	0.0000
23	0.0000	1.0000	0.0000	0.0000
24	0.0000	1.0000	0.0000	0.0000
25	0.0000	1.0000	0.0000	0.0000
26	0.0000	1.0000	0.0000	0.0000
27	0.0000	1.0000	0.0000	0.0000
28	0.0000	1.0000	0.0000	0.0000
29	0.0000	1.0000	0.0000	0.0000
30	0.0000	1.0000	0.0000	0.0000
31	0.0000	1.0000	0.0000	0.0000
32	0.0000	1.0000	0.0000	0.0000
33	0.0000	1.0000	0.0000	0.0000
34	0.0000	1.0000	0.0000	0.0000
35	0.0000	1.0000	0.0000	0.0000
36	0.0000	1.0000	0.0000	0.0000
37	0.0000	1.0000	0.0000	0.0000
38	0.0000	1.0000	0.0000	0.0000
39	0.0000	1.0000	0.0000	0.0000
40	0.0000	1.0000	0.0000	0.0000
41	0.0000	1.0000	0.0000	0.0000
42	0.0000	1.0000	0.0000	0.0000
43	0.0000	1.0000	0.0000	0.0000
44	0.0000	1.0000	0.0000	0.0000
45	0.0000	1.0000	0.0000	0.0000
46	0.0000	1.0000	0.0000	0.0000
47	0.0000	1.0000	0.0000	0.0000
48	0.0000	1.0000	0.0000	0.0000
49	0.0000	1.0000	0.0000	0.0000
50	0.0000	1.0000	0.0000	0.0000

APÊNDICE B

PROGRAMA/2

APÊNDICE B

PROGRAMA/2

Executa uma análise Bayesiana dos dados segundo o método BEF - GEOMÉTRICO-POISSON-GAMMA (SOUZA¹¹) na estimação do parâmetro λ (ou θ) do processo GEOMÉTRICO-POISSON.

O programa deve ser utilizado primeiramente para estimar o valor da constante C e, utilizando este resultado, novamente utilizado para fornecer os valores das distribuições a priori e da distribuição posterior dos parâmetros λ e θ . Quando desejado e no caso de possuir as informações sobre o verdadeiro valor de λ e/ou θ , o programa pode fornecer o valor do erro absoluto para estimativas pontuais de λ e θ e, ao final da simulação, os valores médios e médios relativos destes erros. O programa possibilita a análise de mais de uma série de cada vez desde que, porém, com a mesma razão da variância para a média.

B.1 - ENTRADA DE DADOS

RAT razão da variância para a média a ser utilizada na estimação. (o mesmo para todas as séries a serem analisadas).

{ ALPSI Valor inicial do parâmetro α da distribuição GAMMA.
BLPSI Valor inicial do parâmetro β da distribuição GAMMA.

N Número de observações antes da última a serem utilizadas no cálculo do erro.

IPRINT	Número de observações antes da última cujas respectivas distribuições <u>ã priori</u> e posterior <u>se</u> rão impressas.
NO	Número total de observações.
CTM	Valor mínimo de C. Se CTM=CT se- rá feita apenas a estimação com C=CT.
DELT	Intervalo de variação na procura do valor de c.
CT	Valor inicial (e máximo) de c.
ICPR	Imprime os valores de C e da <u>venos</u> similhança agregada (LINKL) se ICPR=1. Não imprime se ICPR=0
ICR	Escolhe critério de estimação de C. (De uso acadêmico. Faça ICR=2).
ICPR1	Imprime os valores das entropias se ICPR1=1. Não imprime caso <u>con</u> trário (ICPR1=0)
IPLLOT	Plota os valores de C x LINKL
ISIMUL	Imprime valor dos erros após o pe- ríodo correspondente a N.
NREG	Número do registro do arquivo de dados gerado pelo programa 1 da série a ser analisada.
IFIM	Indica se é a última série a ser analisada (IFIM=1)


```

0060 EMVD=0.
0061 IF (IKRYC.EQ.1)M=NO
0062 ACUM=1.E+0
0063 ACUM=1.E+0
0064 M=1.
0065 CALL CALCM(CA,RAT)
0066 CONTINUE
0067 ALP=ALPSI
0068 ALP=SEPSI
0069 ALP=SEPSI
0070 C* PRIOR DISTRIBUTION
0071 DO 14 I=1,NO
0072 IF (ALPS.GT.10.) GO TO 2
0073 ARG=ALPS*(ARG,VAL)
0074 CALL GAMMA(ARG,VAL)
0075 RES=ALOG(VAL)
0076 CONTINUE
0077 2 CALL TLOGG(ALPS,RES,PI)
0078 3 CONTINUE
0079 4 CONTINUE
0080 CALL PSI(ALPS,RES)
0081 ENTS=AUX*(ALPS*RES)
0082 ENT=EX*(ENTS)
0083 FT=1/(1+CT*ENT*(-2))
0084 ALPR=FT*(ALPS-1)+1.
0085 BEPR=FT*SEPS
0086
0087 C* IMPRIME ENTROPIA A PARTIR DE I=150 SE ICPRI=1
0088 IF (I.GT.150.AND.ICPRI.EQ.1) WRITE(6,207) ENT
0089 FORMAT(5X,'ENTROPIA-----',E10.4)
0090 C* CT ESTIMATION
0091 ID=DIJ
0092 NLM=ID
0093 PR=C
0094 IF (ICR.EQ.2) GOTO 30
0095 C* ESTIMACAO TIPO 1
0096 IF (ID.EQ.C) GO TO 25
0097 DO 22 J=1,NLM
0098 ARG=ALPK+J
0099 IF (ARG.GT.10.) GO TO 20
0100 CALL GAMMA(ARG,VAL)
0101 BI=ALOG(VAL)
0102 GO TO 21
0103 20 CONTINUE
0104 CALL TLOGG(ARG,RES,PI)
0105 BI=RES
0106 CONTINUE
0107 IF (ARG.GT.10.) GO TO 23
0108 CALL GAMMA(ARG,VAL)
0109 BZ=ALOG(VAL)
0110 GO TO 24
0111 23 CONTINUE
0112 CALL TLOGG(ARG,RES,PI)
0113 BZ=RES
0114 24 CONTINUE
0115 PR=ALOG(BEPR)-(ALPR+J)*ALOG(SEPR+1.)
0116 RP2=ALOG(BZ/(ID,J))
0117 AUX=BI*RP2*SEPS
0118 PR=PR+EX*(AUX)
0119 22 CONTINUE
0120 25 CONTINUE
0121 PR=(PR+SEPR)/(SEPR+1.)*ALPR
0122 26 PR=ALOG(PR)
0123
0085 0085
0086 0086
0087 0087
0088 0088
0089 0089
0090 0090
0091 0091
0092 0092
0093 0093
0094 0094
0095 0095
0096 0096
0097 0097
0098 0098
0099 0099
0100 0100
0101 0101
0102 0102
0103 0103
0104 0104
0105 0105
0106 0106
0107 0107
0108 0108
0109 0109
0110 0110
0111 0111
0112 0112
0113 0113
0114 0114
0115 0115
0085 0085
0086 0086
0087 0087
0088 0088
0089 0089
0090 0090
0091 0091
0092 0092
0093 0093
0094 0094
0095 0095
0096 0096
0097 0097
0098 0098
0099 0099
0100 0100
0101 0101
0102 0102
0103 0103
0104 0104
0105 0105
0106 0106
0107 0107
0108 0108
0109 0109
0110 0110
0111 0111
0112 0112
0113 0113
0114 0114
0115 0115

```

FORTRAN IV G1 RELEASE 2.0 MAIN

```

0116 CRT=CRTPR
0117 CONTINUE
0118
0119 C** POSTERIOR DISTRIBUTION
0120 IF(ID.EQ.0) GO TO 12
0121 C** CA MATRIX NORMALIZATION
0122 DO 7 J=1, ID
0123 AUX=0.
0124 AUX=AUX+CA(ID,J)
0125 7 CONTINUE
0126 DO 8 J=1, ID
0127 CANLJ=CA(ID,J)/AUX
0128 8 CONTINUE
0129 C** PARAMETERS OF THE MIXTURE
0130 DO 9 J=1, ID
0131 A(SA(J))=ALPR+J
0132 B(SA(J))=BEPR+1.
0133 MP(SA(J))=APSA(J)/B(SA(J))
0134 VPSA(J)=APSA(J)/(B(SA(J))**2)
0135 9 CONTINUE
0136 C** COLLAPSING PROCEDURE
0137 M(S)=0.
0138 DO 10 J=1, ID
0139 MP=MPS+MPSA(J)*CAN(J)
0140 10 CONTINUE
0141 V(S)=0.
0142 DO 11 J=1, ID
0143 V(S)=V(S)+CAN(J)*(VPSA(J)+(MPSA(J)-MPS)**2)
0144 11 CONTINUE
0145 M(S)=M(S)/V(S)
0146 12 CONTINUE
0147 A(S)=A(S)+1.
0148 B(S)=B(S)+1.
0149 V(S)=V(S)/(B(S)**2)
0150 13 IF(ICR.EQ.1) GO TO 40.
0151 C** ESTIMACAO TIPO 2
0152 IF(ID.EQ.0) GO TO 34
0153 DO 32 J=1,NLIM
0154 AUX=MPS**J*CA(NLIM,J)
0155 PR=PR+AUX
0156 CONTINUE
0157 PR=PR*EXP(-MPS)
0158 GO TO 36
0159 PR=EXP(-MPS)
0160 CONTINUE
0161 36 PRINT *
0162 40 CONTINUE
0163 C** PRINT - OUT
0164 IF(LIKEVC.EQ.1) GO TO 14.
0165 MPR=ALPR/BEPR
0166 MOPR=(ALPR-1.)/BEPR.
0167 MOPR=(ALPS-1.)/BEPS
0168 R=(KAT-1.)/(RAT+1.)
0169 ALPD=ALPS
0170 MOPD=ALPD/BEPD
0171 VOPD=(ALPD-1.)/BEPD
0172 ER=1.-ABS(LTEV-MPD)
0173 ER=1.-ABS(LTEV-MPD)
0174 ER=1.-ABS(LTEV-MPD)
0175 ER=1.-ABS(LTEV-MPD)

```



```

FORTRAN IV G1 RELEASE 2.0          DATE = 82091          23/16/01          PAGE 0001
0001          CACAL
0002          SUBROUTINE CACAL(M,CAL,RAT)
0003          DIMENSION CA(30,30)
0004          R=(RAT-1)/(RAT+1.)
0005          DO 1 IX=1,M
0006          DO 1 IY=1,M
0007          CALL IXX(I)=0.
0008          I=IY-IX-1
0009          CALL FACT(IY,RES)
0010          CALL RES
0011          CALL FACT(I,RES)
0012          PD2=RDL/I
0013          I=IY-IX-1
0014          CALL FACT(IY+RES)
0015          RD3=RES
0016          CALL IXX(I)=(RNI/(RDI*RD2*RD3))*(R**((IX-1))*(I.-R)**I)
0017          1 CONTINUE
0018          RETURN
0019          END
00314
00315
00316
00317
00318
00319
00320
00321
00322
00323
00324
00325
00326
00327
00328
00329
00330
00331
00332

```

```

FORTRAN IV G1 RELEASE 2.0          DATE = 82091          23/16/01          PAGE 0002
*OPTIONS IN EFFECT# NOTERM,NPID,ESCDIC,SOURCE,NOLIST,MODECK,LOAD,NOMAP,NOTEST
*OPTIONS IN EFFECT# NAME=CACAL
*STATISTICS# SOURCE STATEMENTS = 70
*STATISTICS# NO DIAGNOSTICS GENERATED 19,PROGRAM SIZE = 748

```



```

FORTRAN IV G1  RELEASE 2.0          FACT          DATE = 82091          23/16/01          PAGE 0001
0001  SUBROUTINE FACT(I,RES)
0002  IF((I.EQ.0).OR.(I.EQ.1)) GO TO 2.
0003  DO 1 J=1,I
0004  RES=RES#J
0005  1 CONTINUE
0006  GO TO 3
0007  2 RES=I.
0008  3 RETURN.
0009  END
0010

```

```

00333
00334
00335
00336
00337
00338
00339
00340
00341
00342

```

```

FORTRAN IV G1  RELEASE 2.0          FACT          DATE = 82091          23/16/01          PAGE 0002
*OPTIONS IN EFFECT*  NOSTEM,NOIO, EBCDIC, SOURCE,NOLIST, NODBECK,LOAD,MONMAP,NOTEST
*OPTIONS IN EFFECT*  NAME=FACT,
*STATISTICS*        SOURCE STATEMENTS = 7  LINECHG = 89
*STATISTICS*        NO DIAGNOSTICS GENERATED  PROGRAM SIZE = 470

```

```

FORTRAN IV G1  RELEASE 2.0      GAMMA      DATE = 82091      23/16/01      PAGE 0001
0001  SUBROUTINE GAMMA(ARG,VAL)
0002  IF(ARG.EQ.1.) GO TO 1
0003  VAL=G(ARG)
0004  VAL=VAL/ARG.
0005  GO TO 4
0006  IF (ARG.LE.2.) GO TO 5
0007  AX=ARG-1
0008  VAL=G(AX)
0009  GO TO 4
0010  AX=ARG-1.
0011  VAL=AUX.
0012  GO TO 4
0013  AX=AUX-1.
0014  IF(AUX.LT.1.) GO TO 6
0015  VAL=VAL*AX
0016  IF(AUX.GT.2.) GO TO 3
0017  AX=AUX-1.
0018  GO TO 7
0019  AX=AUX
0020  VAL=VAL*G(AX)
0021  GO TO 4
0022  END
00343
00344
00345
00346
00347
00348
00349
00350
00351
00352
00353
00354
00355
00356
00357
00358
00359
00360
00361
00362
00363
00364

```

```

FORTRAN IV G1  RELEASE 2.0      GAMMA      DATE = 82091      23/16/01      PAGE 0002
*OPTIONS IN EFFECT*  NONE,N,NOID,ECCD,CYS,SOURCE,NOLIST,NODECK,LOAD,NO MAP,NO TEST
*OPTIONS IN EFFECT*  NAME=C:GAMMA  Y LINECNT=80
*STATISTICS*  SOURCE=MEMBER=  22,PROGRAM SIZE=  612
*STATISTICS*  NO DIAGNOSTICS GENERATED

```

```

FORTRAN IV GI  RELEASE 2.0          G          DATE = 82091          23/16/01          PAGE 0001
0001      REAL FUNCTION G(Z)
0002      B3 = 0.37712552
0003      B5 = 0.3897032317
0004      B7 = 0.0000000000
0005      B9 = 0.0000000000
0006      B11 = 0.0000000000
0007      B13 = 0.0000000000
0008      B15 = 0.0000000000
0009      B17 = 0.0000000000
0010      B19 = 0.0000000000
0011      RETURN
0012      END

```

```

FORTRAN IV GI  RELEASE 2.0          G          DATE = 82091          23/16/01          PAGE 0002
*OPTIONS IN EFFECT#  NO TERM,NOID,EBCDIC,SOURCE,NOLIST,NODECK,LOAD,NOMAP,NOTEST
*CLIPPING# 0
*STATISTICS# SOURCE STATEMENTS = 7 LINECNT = 590
*STATISTICS# NO DIAGNOSTICS GENERATED 12,PROGRAM SIZE =

```

0001
0002
0003
0004
0005
0006

```
SUBROUTINE PSI(ARG,RES)  
AUX=ALOG(ARG)/172*ARG-1./112*ARG**2)  
AUX=AUX+1./126.*ARG**3)-1./1252.*ARG**5)  
RETURN  
END
```

00377
00378
00379
00380
00381
00382

```
*OPTIONS IN EFFECT* NO TERM, NO ID, EBCDIC SOURCE, NO LIST, NO DECK, LOAD, NO MAP, NO TEST  
*POSITIONS IN EFFECT* NAME, PSI, LINECNT, LINECNT, LOAD, NO MAP, NO TEST  
*STATISTICS* SOURCE STATEMENT = 8, PROGRAM SIZE = 440  
*STATISTICS* NO DIAGNOSTICS GENERATED
```

FORTRAN IV G1 RELEASE 2.0 DATE = 82091 23/16/01 PAGE 0001

0001
0002 SUBROUTINE TALDS(ARG,RES,PI)
0003 AUX=(ARG-0.5)*TALOG(ARG)-ARG+0.5*ALOG(2.*PI)
0004 RES=AUX+1./((12.*ARG)-1./((360.*ARG**3)+1./((1260.*ARG**5)
0005 RETURN
0006 END

FORTRAN IV G1 RELEASE 2.0 DATE = 82091 23/16/01 PAGE 0002

OPTIONS IN EFFECT NOTERM,NOID,EBCDIC,SOURCE,NOLIST,NO
OPTIONS IN EFFECT NAME=TALOG LINECNT= NO
STATISTICS SOURCE STATEMENTS = PROGRAM SIZE = 520
STATISTICS NO DIAGNOSTICS GENERATED

```

0001 SUBROUTINE PLOT(VMIN,VMAX,X,F,NF(INT)
0002 DATA KMR,KAS,NTR,KMA,Z,F1,F2,F3,F4,F5,F6,F7,F8,F9,F10,F11,F12,F13,F14,F15,F16,F17,F18,F19,F20,F21,F22,F23,F24,F25,F26,F27,F28,F29,F30,F31,F32,F33,F34,F35,F36,F37,F38,F39,F40,F41,F42,F43,F44,F45,F46,F47,F48,F49,F50
0003 DIMENSION X(200),F(200),LINE(101),LREF(101),REF(11)
0004 DO 10 I=1,101
0005 LINE(I)=KMR
0006 LREF(I)=KME
0007 GO TO 101,10
0008 DO 20 I=1,KMA
0009 LREF(I)=KMA
0010 LINE(I)=KTR
0011 CONTINUE
0012 DO 30 I=1,VMIN*(I-1)+(VMAX-VMIN)/10.
0013 LREF(I)=I
0014 CONTINUE
0015 DO 40 I=1,100*(REF(1),I=1,11)
0016 WRITE(6,1100) (REF(I),I=1,11)
0017 FORMAT(1H1,9X,11(F9.2,1X))
0018 L=1
0019 NTAB=NPOINT/10+1
0020 WRITE(6,1000) (LREF(I),I=1,101)
0021 FORMAT(12X,101A1)
0022 DO 100 J=1,NTR
0023 IF(NPCINT-L+J)
0024 IF(L-1)GOTO 101
0025 IF(L-1)GOTO 101
0026 IF(L-1)GOTO 101
0027 WRITE(6,1000) (KAS
0028 LREF(I),I=1,101)
0029 IF(L-1)GOTO 101
0030 LREF(I)=KRR
0031 LREF(I)=KRR
0032 LREF(I)=KRR
0033 LREF(I)=KRR
0034 LREF(I)=KRR
0035 LREF(I)=KRR
0036 LREF(I)=KRR
0037 LREF(I)=KRR
0038 LREF(I)=KRR
0039 LREF(I)=KRR
0040 LREF(I)=KRR
0041 LREF(I)=KRR
0042 LREF(I)=KRR
0043 LREF(I)=KRR
0044 LREF(I)=KRR
0045 LREF(I)=KRR
0046 LREF(I)=KRR
0047 LREF(I)=KRR
0048 LREF(I)=KRR
0049 LREF(I)=KRR
0050 RETURN

```

VALORES INICIAIS:
ALPSI= 2.00000
BERSI= 2.50000
RATE= 2.00000

0001
0002
0003
0004
0005
0006
0007
0008
0009
0010
0011
0012
0013
0014
0015
0016
0017
0018
0019
0020
0021
0022
0023
0024
0025
0026
0027
0028
0029
0030
0031
0032
0033
0034
0035
0036
0037
0038
0039
0040
0041
0042
0043
0044
0045
0046
0047
0048
0049
0050

DADOS UTILIZADOS:
 ALV= 0.1247
 TEV= 0.2190
 ALE= 0.1120
 TLE= 0.1120
 CTM= 0.244
 DELT= 0.0
 CT= 0.0
 TCPR= 0
 N= 10
 NREG= 198
 ICR= 12

TIME 11	ER(TET*TR.)= 0.02778	ER(TET*ES.)= 0.02178	ER(LBD*TR.)= 0.01652
PRIOR	A= 2.000 B= 12.500	EMED= 0.13289	ER(LBD*ES.)= 0.01115
POST	A= 2.000 B= 13.500	MEAN= 0.1600	MODE= 0.0800
****POST	A= 2.000 B= 9.000	MEAN= 0.1451	MODE= 0.0741
		MEAN= 0.2222	MODE= 0.1111
TIME 12	ER(TET*TR.)= 0.04310	ER(TET*ES.)= 0.03710	ER(LBD*TR.)= 0.02874
PRIOR	A= 2.000 B= 13.500	EMED= 0.14055	ER(LBD*ES.)= 0.02207
POST	A= 2.000 B= 14.500	MEAN= 0.1481	MODE= 0.0741
****POST	A= 2.000 B= 5.667	MEAN= 0.1379	MODE= 0.0690
		MEAN= 0.2064	MODE= 0.1034
TIME 13	ER(TET*TR.)= 0.05645	ER(TET*ES.)= 0.05045	ER(LBD*TR.)= 0.03764
PRIOR	A= 2.000 B= 14.500	EMED= 0.14753	ER(LBD*ES.)= 0.03097
POST	A= 2.000 B= 15.500	MEAN= 0.1374	MODE= 0.0690
****POST	A= 2.000 B= 10.333	MEAN= 0.1290	MODE= 0.0645
		MEAN= 0.1935	MODE= 0.0968
TIME 14	ER(TET*TR.)= 0.06818	ER(TET*ES.)= 0.06218	ER(LBD*TR.)= 0.04546
PRIOR	A= 2.000 B= 15.500	EMED= 0.15309	ER(LBD*ES.)= 0.03879
POST	A= 2.000 B= 16.500	MEAN= 0.1240	MODE= 0.0645
****POST	A= 2.000 B= 11.000	MEAN= 0.1212	MODE= 0.0606
		MEAN= 0.1816	MODE= 0.0909
TIME 15	ER(TET*TR.)= 0.07857	ER(TET*ES.)= 0.07257	ER(LBD*TR.)= 0.05238
PRIOR	A= 2.000 B= 16.500	EMED= 0.15629	ER(LBD*ES.)= 0.04571
POST	A= 2.000 B= 17.500	MEAN= 0.1212	MODE= 0.0606
****POST	A= 2.000 B= 11.657	MEAN= 0.1143	MODE= 0.0571
		MEAN= 0.1714	MODE= 0.0857
TIME 16	ER(TET*TR.)= 0.08284	ER(TET*ES.)= 0.07684	ER(LBD*TR.)= 0.05856
PRIOR	A= 2.000 B= 17.500	EMED= 0.16292	ER(LBD*ES.)= 0.05189
POST	A= 2.000 B= 18.500	MEAN= 0.1143	MODE= 0.0571
****POST	A= 2.000 B= 12.333	MEAN= 0.1061	MODE= 0.0541
		MEAN= 0.1622	MODE= 0.0811
TIME 17	ER(TET*TR.)= 0.09615	ER(TET*ES.)= 0.09015	ER(LBD*TR.)= 0.06411
PRIOR	A= 2.000 B= 18.500	EMED= 0.16706	ER(LBD*ES.)= 0.05744
POST	A= 2.000 B= 19.500	MEAN= 0.1091	MODE= 0.0541
****POST	A= 2.000 B= 12.333	MEAN= 0.1019	MODE= 0.0511

POST A= 2.000 B= 19.500 MEAN= 0.1026 VAR.= 0.0053 MODE= 0.0513
 PRIOR A= 2.000 B= 13.000 MEAN= 0.1536 VAR.= 0.0118 MODE= 0.0769

TIME 18 ER(TET*TR.)= 0.10366 ER(TET*ES.)= 0.05766 ER(LBD*TR.)= 0.06511 ER(LBD*ES.)= 0.06244
 PRIOR A= 2.000 B= 19.500 EMVI= 0.17693 EMED= 0.17083
 TIME A= 2.000 B= 13.000 **OBS** A= 2.000 B= 13.000
 POST A= 2.000 B= 13.667 MEAN= 0.0976 VAR.= 0.0048 MCDE= 0.0486
 MEAN= 0.1453 VAR.= 0.0107 MCDE= 0.0732

TIME 19 ER(TET*TR.)= 0.11047 ER(TET*ES.)= 0.10447 ER(LBD*TR.)= 0.07365 ER(LBD*ES.)= 0.06698
 PRIOR A= 2.000 B= 20.500 EMVI= 0.18023 EMED= 0.17423
 TIME A= 2.000 B= 21.500 **OBS** A= 2.000 B= 21.500
 POST A= 2.000 B= 14.333 MEAN= 0.0930 VAR.= 0.0043 MODE= 0.0465
 MEAN= 0.1395 VAR.= 0.0097 MODE= 0.0698

TIME 20 ER(TET*TR.)= 0.11667 ER(TET*ES.)= 0.11067 ER(LBD*TR.)= 0.07778 ER(LBD*ES.)= 0.07111
 PRIOR A= 2.000 B= 21.500 EMVI= 0.18333 EMED= 0.17733
 TIME A= 2.000 B= 22.500 **OBS** A= 2.000 B= 22.500
 POST A= 2.000 B= 15.000 MEAN= 0.0869 VAR.= 0.0040 MODE= 0.0444
 MEAN= 0.1333 VAR.= 0.0089 MODE= 0.0667

AVERAGE ABSOLUTE ERRORS LAST 10 OBSERVATIONS

ER(TET*TR.)= 0.078607 ER(TET*ES.)= 0.072857 ER(LBD*TR.)= 0.052595 ER(LBD*ES.)= 0.045925
 EMVD= 0.164443 EMED= 0.158343

AVERAGE RELATIVE ERRORS LAST 10 OBSERVATIONS

RER(TET*TR.)= 0.315547 RER(TET*ES.)= 0.296716 RER(LBD*TR.)= 0.315561 RER(LBD*ES.)= 0.287029
 REMVD= 0.657772 REMED= 0.649357

APÊNDICE C

PROGRAMA/3

APÊNDICE C

PROGRAMA/3

Calcula os índices de performance do CAP.VI para um estoque de REVISÃO contínua e calcula o nível ótimo de armazenamento segundo o modelo da seção IV.2.1.1.

O programa imprime os índices de performance se IPER=1 e calcula o nível ótimo de armazenamento se ICUS=1.

De resto, a listagem é auto explicativa, fornecendo todas as informações necessárias para a entrada de dados.

DADOS UTILIZADOS

ESTOQUE MAXIMO.....	20.
LAMBDA.....	2.00000
TEMPO DE ENTREGA.....	0.50000
TEMPO DE PERDIDA.....	0.
CUSTO DE PEDIDO.....	1.00
CUSTO UNITARIO.....	10.00
CUSTO/UNIDADE NA FILA.....	2
CUSTO/UNIDADE ANO NA FILA.....	3.00
CUSTO/UNID.ANO EM ESTOQUE.....	0.20

INDICES DE PERFORMANCE

.....	VALOR ESPERADO DO NUMERO DE UNIDADES QUE ENTRARAO NA FILA
.....	VALOR ESPERADO DO TAMANHO MEDIO DA FILA
.....	VALOR ESPERADO DO ESTOQUE EM MAOS MEDIO
.....	TAXA DE SATISFACAO
.....	ATELIMES IMEDIATOS
.....	UNIDADES EM ATENDIMENTO

BOB DIXON

	E	B	D	R	F	S
0	4.000	1.000	0.0	0.607	0.0	0.0
1	2.787	0.607	0.607	0.756	1.213	0.393
2	1.877	0.365	1.365	0.853	2.123	0.635
3	1.233	0.218	2.218	0.911	2.767	0.782
4	0.794	0.129	3.129	0.947	3.205	0.871
5	0.503	0.076	4.076	0.969	3.497	0.924
6	0.314	0.045	5.045	0.981	3.686	0.955
7	0.194	0.026	6.026	0.989	3.806	0.974
8	0.119	0.015	7.015	0.994	3.861	0.985
9	0.072	0.009	8.009	0.996	3.928	0.991
10	0.043	0.005	9.005	0.998	3.957	0.995
11	0.026	0.003	10.003	0.999	3.974	0.997
12	0.015	0.002	11.002	0.999	3.985	0.998
13	0.009	0.001	12.001	1.000	3.991	0.999
14	0.005	0.001	13.001	1.000	3.995	0.999
15	0.003	0.000	14.000	1.000	3.997	1.000
16	0.002	0.000	15.000	1.000	3.998	1.000
17	0.001	0.000	16.000	1.000	3.999	1.000
18	0.001	0.000	17.000	1.000	3.999	1.000
19	0.000	0.000	18.000	1.000	4.000	1.000
20	0.000	0.000	19.000	1.000	4.000	1.000

COMPONENTES DA FUNCAO DE CUSTO

C1 CUSTO DE ABASTECIMENTO (INDEPENDENTE DO NIVEL DO ESTOQUE)
 C2 CUSTO DE UNIDADES QUE ENTRAM NA FILA
 C3 CUSTO DE PERMANENCIA NA FILA
 C4 CUSTO DE POSSE

NIVEL	C1	C2	C3	C4	CUSTO TOTAL
0	42.00	80.00	3.00	0.0	125.00
1	42.00	55.74	1.82	1.21	100.77
2	42.00	37.54	1.09	2.73	83.37
3	42.00	24.65	0.65	4.44	71.74
4	42.00	15.87	0.39	6.26	64.52
5	42.00	10.06	0.23	8.15	60.44
6	42.00	6.29	0.13	10.09	58.51
7	42.00	3.89	0.06	12.05	58.02
8	42.00	2.38	0.05	14.03	58.45
9	42.00	1.44	0.03	16.02	59.49
10	42.00	0.87	0.02	18.01	60.90
11	42.00	0.52	0.01	20.01	62.54
12	42.00	0.31	0.00	22.00	64.32
13	42.00	0.16	0.00	24.00	66.19
14	42.00	0.11	0.00	26.00	68.11
15	42.00	0.06	0.00	28.00	70.06
16	42.00	0.04	0.00	30.00	72.04
17	42.00	0.02	0.00	32.00	74.02
18	42.00	0.01	0.00	34.00	76.01
19	42.00	0.01	0.00	36.00	78.01
20	42.00	0.00	0.00	38.00	80.00

NIVEL OTIMO DE ARMAZANAMENTO... 7

APÊNDICE D

PROGRAMA/4

APÊNDICE D

PROGRAMA/4

Analogamente ao programa 3, calcula os índices de performance para um estoque de REVISÃO PERIÓDICA e/ou o nível ótimo de armazenamento segundo o modelo da seção IV.3.1.1.

O programa imprime os índices de performance se IPER=1 e o nível ótimo de armazenamento se ICUS=1.

De resto, o programa traz em seus comentários to das as informações necessárias à sua execução.


```

0001 FUNCTION DELT(IR,J,T,TAL,XLAM,RHO)
0002 CEXX(IR,J,RHO)
0003 IFATJ=IFAT(J)
0004 SFO.
0005 JI=J+1
0006 DO 100 I=1,J1
0007 KEI-I
0008 IFATJK=IFAT(J-K)
0009 X=(-1.)*(EXP(-XLAM*(T-TAL)))*(T+TAL)**(J-K)-EXP(-XLAM*TAL)
0010 S=S+X
0011 CONTINUE
0012 DELT=C*XLAM**(J-1)*S
0013 RETURN
0014 END

```

00165
00166
00167
00168
00169
00170
00171
00172
00173
00174
00175
00176
00177
00178

```

*OPTIONS IN EFFECT* NODIR,NODI,EBODIC,SOURCE,NOLIST,NOECHK,LOAD,NOMAP,NOTEST
*OPTIONS IN EFFECT* NAME=DELT,LINECNT=20
*STATISTICS* SOURCE STATEMENTS = 14,PROGRAM SIZE = 920
*STATISTICS* NO DIAGNOSTICS GENERATED

```

```

FORTRAN IV G1 RELEASE 2.0 IFAT PAGE 0001
0001 FUNCTION IFAT(J)
0002 IF (J.EQ.0) GO TO 2
0003 DO 10 I=1,J
0004 IFAT=IFAT*I
0005 CONTINUE
0006 RETURN
0007 END
00200
00201
00202
00203
00204
00205
00206
00207

```

```

FORTRAN IV G1 RELEASE 2.0 IFAT PAGE 0002
0001 *OPTIONS IN EFFECT* NOTERM,NOID,ELOCIC,SOURCE,NOLIST,NOCHECK,LOAD,NOHAP,NOTEST
0002 *OPTIONS IN EFFECT* NAME = IFAT LINECNT = 80
0003 *STATISTICS* SOURCE STATEMENTS = 8,PROGRAM SIZE = 370
0004 *STATISTICS* NO DIAGNOSTICS GENERATED

```

FORTRAN IV G1 RELEASE 2.0 CX DATE = 82091 23/10/34 PAGE 0001

```

0001 FUNCTION CX(IR,J,RHO)
0002 CX=1
0003 IF(IR.EQ.0.AND.J.EQ.0.) GO TO 100
0004 CX=0
0005 IF(IR.EQ.0.OR.J.EQ.0) GO TO 100
0006 K1=IFAT(IR-1)
0007 K2=IFAT(J-1)
0008 K3=IFAT(IR-J)
0009 CX=K1/K2/K3*RHQ**(IR-J)*(1.-RHO)**J
0010 RETURN
0011 END
100

```

00208
00209
00210
00211
00212
00213
00214
00215
00216
00217
00218

FORTRAN IV G1 RELEASE 2.0 CX DATE = 82091 23/10/34 PAGE 0002

```

#OPTIONS IN EFFECT* NO TERM,NO ID, EBCDIC SOURCE,NO LIST,NO CHECK,LOAD,NO MAP,NO TEST
#OPTIONS IN EFFECT* NAME = CX,LINCOUNT,GO
#STATISTICS* SOURCE STATEMENTS = 1,PROGRAM SIZE = 754
#STATISTICS* NO DIAGNOSTICS GENERATED
#STATISTICS* NO DIAGNOSTICS THIS STEP 0

```

DADOS UTILIZADOS

ESTOQUE MAXIMO.....	20.00000
LAMBDA.....	2.00000
PERIODO DE ATENDIMENTO.....	0.20000
PERIODO DE ENTREGA.....	0.10000
CUSTO DE SERVIÇO.....	1.00
CUSTO DE PERIÓ.....	10.00
CUSTO UNIDADE NA FILA.....	20.00
CUSTO/UNIDADE NA FILA.....	20.00
CUSTO/UNIDADE EM ESTOQUE.....	0.20

INDICES DE PERFORMANCE

E.....	VALOR ESPERADO DO NUMERO DE UNIDADES QUE ENTRARAM NA FILA
B.....	VALOR ESPERADO DO TAMANHO MEDIO DA FILA
D.....	VALOR ESPERADO DO ESTOQUE EM MAOS MEDIO
R.....	TAXA DE GARANTIA
F.....	ATENDIMENTOS IMEDIATOS

I	E	B	Q	R	F
0	4.000	0.900	0.0	0.644	0.0
1	2.711	0.544	0.644	0.763	1.285
2	1.791	0.327	1.427	0.868	2.209
3	1.159	0.195	2.295	0.921	2.841
4	0.738	0.116	3.216	0.953	3.422
5	0.464	0.068	4.168	0.972	3.838
6	0.288	0.040	5.140	0.983	3.712
7	0.177	0.024	6.124	0.990	3.823
8	0.108	0.014	7.114	0.994	3.892
9	0.066	0.008	8.106	0.997	3.934
10	0.040	0.005	9.105	0.998	3.960
11	0.024	0.003	10.103	0.999	3.976
12	0.014	0.002	11.102	0.999	3.986
13	0.008	0.001	12.101	1.000	3.992
14	0.005	0.000	13.100	1.000	3.995
15	0.003	0.000	14.100	1.000	3.997
16	0.002	0.000	15.100	1.000	3.998
17	0.001	0.000	16.100	1.000	3.998
18	0.001	0.001	17.099	1.000	3.999
19	0.000	0.001	18.099	1.000	4.000
20	0.000	0.001	19.099	1.000	4.000

C O M P O N E N T E S D A F U N C A O D E C U S T O

C1 CUSTO DE ABASTECIMENTO (INDEPENDENTE DO NIVEL DO ESTOQUE)
 C2 CUSTO DE REVISAO (INDEPENDENTE DO NIVEL DO ESTOQUE)
 C3 CUSTO UNIDADES NA FILA
 C4 CUSTO DE PERMANENCIA NA FILA
 C5 CUSTO DE POSSE

NIVEL	C1	C2	C3	C4	C5	CUSTO TOTAL
0	4.00	41.57	80.00	2.70	0.00	128.27
1	4.00	41.57	54.23	1.63	1.29	102.72
2	4.00	41.57	35.81	0.98	2.85	85.22
3	4.00	41.57	23.18	0.59	4.59	73.92
4	4.00	41.57	14.76	0.35	6.43	67.11
5	4.00	41.57	9.28	0.21	8.34	63.39
6	4.00	41.57	5.77	0.12	10.29	61.74
7	4.00	41.57	3.55	0.07	12.25	61.44
8	4.00	41.57	2.17	0.04	14.23	62.01
9	4.00	41.57	1.31	0.02	16.22	63.13
10	4.00	41.57	0.79	0.01	18.21	64.59
11	4.00	41.57	0.47	0.01	20.21	66.26
12	4.00	41.57	0.28	0.00	22.20	68.06
13	4.00	41.57	0.17	0.00	24.20	69.95
14	4.00	41.57	0.10	0.00	26.20	71.87
15	4.00	41.57	0.06	0.00	28.20	73.83
16	4.00	41.57	0.03	-0.00	30.20	75.81
17	4.00	41.57	0.02	-0.00	32.20	77.79
18	4.00	41.57	0.01	-0.00	34.20	79.78
19	4.00	41.57	0.01	-0.00	36.20	81.78

NIVEL OTIMO DE ESTOQUE....

REFERÊNCIAS BIBLIOGRÁFICAS

REFERÊNCIAS BIBLIOGRÁFICAS

- [1] HADLEY, WHITIN - Analysis of Inventory Systems
Prentice-Hall Inc. Englewood Clifts,
New Jersey, 1963
- [2] NADDOR, E. - Inventory Systems - John Wiley and Sons, Inc.
New York, 1966.
- [3] BROWN, R.G. - Decision Rules for Inventory Management
Holt, Rinehart, and Wilson, New York, 1967.
- [4] FELLER, W., - An Introduction to Probability Theory and
its Applications, Vol. I, John Wiley and
Sons, Inc. New York, 1950.
- [5] HOWARD, R.A. - Dynamic Programming and Markov Process
John Wiley and Sons, Inc., New York, 1960.
- [6] VALADARES, L. e ALMEIDA, L.T. - A Binary Decision Model
for Stock control of Very Slow Moving Items
Publicação interna do CESUR.
- [7] CROSTON, J.D. - Stock Levels for Slow-movint Items Opl.
Res.Q.23,123.

- [8] MUCKSTADT, J.A. e THOMAS L.J. - Are Multi-echelon
Inventory Methods Worth Implementing
In Systems with Low-Demand-Rate Items?
Management Science Vol.26, No.5, 1980.
- [9] PARZEN, E., - Stochastic Processes
Holden-Day, Inc., San Francisco, 1962.
- [10] SOUZA, R.C. - A Bayesian Entropy Approach to Forecasting
Ph.D.Thesis, University of Warwick.
Conventry, U.K, 1978.
- [11] SOUZA, R.C. - A Bayesian Entropy Approach to Forecasting
Applied to Slow Moving Items for Inventory
Decision.
Presented at the 5th ITSM, Houston, Texas,
1981.
- [12] BURGIN, T.A., WILD, A.R. - Stock Control - Experience and
Usable Theory Opl. Res.Q.Vol. 18, pag.35.
- [13] FEENEY, G.J. e C.C. Sherbrooke - The (s-l,s) Inventory
Policy Under Compound Poisson Demand: A
Theory of Recoverable Item Stockage. The
Rand Corporation, RM-4176-PR, 1965.
- [14] FEENEY, G.J. e C.C. Sherbrooke, An Objective Bayes
Approach for Inventory Decisions The Rand
Corporation, RM-4362-PR, 1965.

- [15] FEENEY, G.J. e C.C. Sherbrooke - A System Approach to
Base Stockage of Recoverable Items.
The Rand Corporation, RM-1720-PR,1965
- [16] CROSTON, J.D., - Forecasting and Stock Control for
Intermittend Demands.
Opl.Res.Q.vol.23, pag. 289.
- [17] PORTILLA, A. - Forecasting Demand of Slow Moving Items
for Inventory Decisions
M.Sc. thesis, University of Warwick, 1978.
- [18] HARRISON, P.J. e STEVENS, C.F. - A Bayesian Forecasting
(with discusion), J.Rey.Statist.Soc.
B 38,205-247, 1976.
- [19] SHANNON, C.E. e WEAVER, W. - The Mathematical Theory of
Communications
University of Illinois Press, Chicago,1948.
- [20] KULLBACK, S. - Information theory and Statistics.
Dover Publications, Inc., New York, 1968.
- [21] AKAIKE, H. - An Objective use of Bayesian Models
Ann.Inst.Statist.Math. 29,A,9-29, 1977.
- [22] PALM, C., - Analysis of the Erlang Traffic Formula for
Busy-Signal Arrangements
Ericsson technics, No.5, 1938,pp 39-58.